

გ. დგებუაძე

**ზოგადი ელექტრონიკა
მაგალითები და გაანგარიშებები**

საქართველოს ტექნიკური უნივერსიტეტი

2015

შედგენილ დამხმარე სახელმძღვანელოში მოცემულია
ნახევარგამტარულ დიოდებზე, ბიპოლარულ და ველით
მართვად ტრანზისტორებზე, ინტეგრალურ მიკროსქემებზე
აწყობილი ელექტრონული მოწოდილობების გაანგარიშების
მაგალითები.

1. ნახევარგამტარული ღიოდები

1.1. გერმანიუმის დიოდი, რომლის გაჯერების უპუდენი $I_0 = 25 \text{ მკა}$, მიერთებულია 0.1V პირდაპირ ძაბვაზე. ტემპერატურა $T = 300K$. განსაზღვრეთ დიოდის R_0 წინაღობა მუდმივი დენის მიმართ და $r_{\text{დიო}}$ წინაღობა.

ამონენა

განვსაზღვროთ დიოდის დენი $U = 0.1\text{V}$ პირდაპირი ძაბვის დროს

$$I = I_0 \left(e^{\frac{U}{\varphi_T}} - 1 \right) = 25 \times 10^{-6} \left(e^{\frac{0.1}{0.025}} - 1 \right) = 1.17 \times 10^{-3} \text{ A.}$$

$$\left(\varphi_T = \frac{KT}{e}; \quad K = 1.38 \cdot 10^{-23}; \quad e = -1.6 \cdot 10^{-19} \text{ C} \right).$$

მაშინ დიოდის წინაღობა მუდმივი დენის მიმართ

$$R_0 = \frac{U}{I} = \frac{0.1}{1.17 \times 10^{-3}} = 85 \text{ მგ.}$$

დიფერენციალურ წინაღობას ვიპოვთ შემდეგი ფორმულის დახმარებით

$$\frac{1}{r_{\text{დიო}}} = \frac{dI}{dU} = I_0 \left(\frac{e}{KT} \right) e^{\frac{eU}{KT}} = 25 \times 10^{-6} \times 38.6 \times 48 = 46 \times 10^{-3} \text{ სიმ.}$$

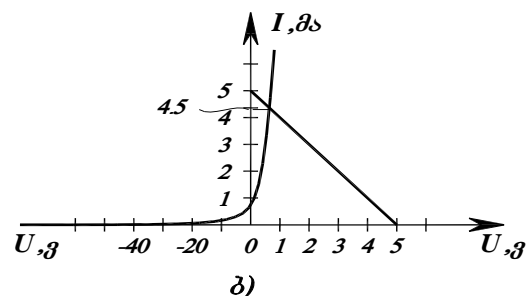
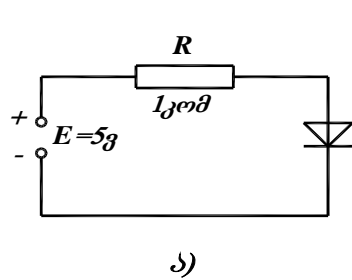
$$r_{\text{დიო}} = \frac{1}{46 \times 10^{-3}} = 21.6 \text{ მგ.}$$

შეიძლება შემდეგი მიახლოებითი გამოსახულების გამოყენება

$$\frac{1}{r_{\text{დიო}}} = \frac{dI}{dU} = \left(\frac{e}{KT} \right) (I + I_0) \approx \frac{e}{KT} I$$

1.2. განსაზღვრეთ იდეალური ვოლტ-ამპერული მახასიათებლის მქონე დიოდის დენი, რომელიც ნახ. 1.1-ზე ნაჩვენებ სქემაში გაივლის, თუ $E = 5\text{V}$, $R = 1\text{M}\Omega$, $I_0 = 10^{-12} \text{ A}$, ტემპერატურა $T = 300K$.

ამონენა



ნახ. 1.1

ამოცანა ამოვხსნათ გრაფოანალიზური მეთოდით. ამისათვის U ძაბვის მნიშვნელობების შეტანით ვოლტ-ამპერული მახასიათებლის ცნობილ ანალიზურ გამოსახულებაში

$$I = I_0 \left(e^{\frac{U}{\varphi_r}} - 1 \right).$$

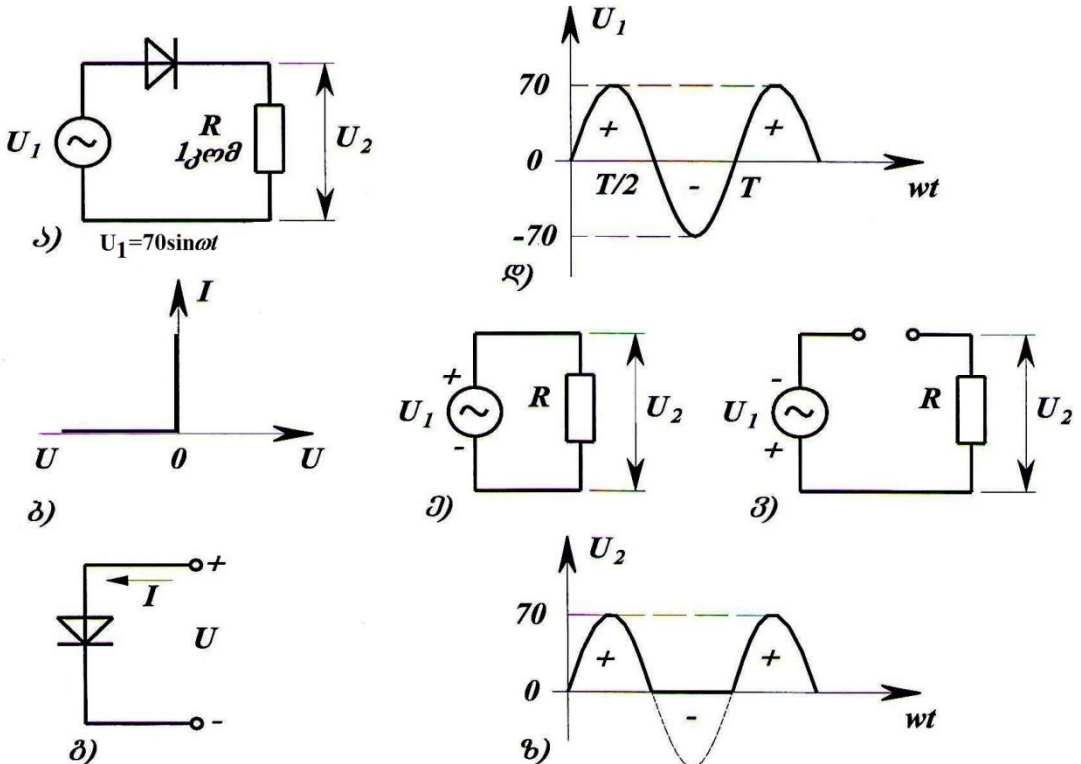
ვიპოვოთ I დენის შესაბამისი მნიშვნელობები და ავაგოთ ვოლტ-ამპერული მახასიათებელი (ნახ. 1.1, ბ). ამავე გრაფიკზე ავაგოთ დატვირთვის წრფე შემდეგი გამოსახულების მიხედვით

$$I = \frac{E - U}{R} = \frac{5 - U}{1} \quad (\text{გვ}).$$

ამისათვის საქმარისია იმ ორი წერტილის პოვნა, რომელზეც ეს წრფე გაივლის. ეს წერტილები იყოს: $U = 0$, $I = 5$ მა და $I = 0$, $U = 5$ ვ შესაბამისი კოორდინატები. დატვირთვის წრფის გადაპევთის წერტილი ვოლტ-ამპერულ მახასიათებელთან გააძლევს საძიებელი დენის სიდიდეს $I = 4.5$ მა.

1.3. მოცემულია დიოდიანი წრფე, რომელიც ნახ. 1.2. ა-ზეა ნაჩვენები. უნდა განისაზღვროს U_2 ძაბვის სიდიდე და ფორმა, როდესაც დიოდი მიჩნეულია იდეალურ კენტილად. ასეთი დიოდის ვამ და ეპივალენტური სქემა ნაჩვენებია შესაბამისად ნახ. 1.2, ბ და ნახ. 1.2 გ-ზე.

ამოხსნა



ნახ. 1.2

U_1 სინუსოიდური ცვლადი ძაბვის (ნახ. 1.2 დ) დადებითი ნეტეგარპერიოდის დროს დიოდზე მოქმედებს პირდაპირი ძაბვა (ნახ. 1.2, ე) და თუ დიოდი იდეალურია, ე.ი. მასზე ძაბვის ვარდნას ადგილი არ აქვს (დიოდის წინაღობა ნულის ტოლია), მაშინ $U_2 = U_1$. ამრიგად, ამ შემთხვევაში U_2 ძაბვა გაიმეორებს U_1 ცვლადი ძაბვის ფორმას და სიდიდეს (ამპლიტუდას). U_1 ცვლადი ძაბვის უარყოფითი ნახევარპერიოდის დროს დიოდზე მოქმედებს უკუძაბვა. დიოდი დენს ადარ გაატარებს (იდეალურ დიოდს ექნება უსასრულოდ დიდი წინაღობა), ე.ი. წრედი გაწყდება (ნახ. 1.2. ვ). ამიტომ R რეზისტორში დენი ვეღარ გაივლის და $U_2=0$ (ნახ. 1.2, ზ).

რეალურ დიოდზე პირდაპირი ძაბვის ვარდნა $0.5 \dots 1.0$ ვ-ის ფარგლებშია. ამიტომ U_2 გამოსავალი ძაბვის ამპლიტუდა დიოდის დია მდგომარეობის დროს აღმოჩნდება U_1 ცვლადი ძაბვის ამპლიტუდაზე ნაკლები ($69.5 \dots 69$ ვ).

1.4. გავიანგარიშოთ $U = 700$ ვ. მოქმედი მნიშვნელობის მქონე სინუსოიდური ძაბვის გამმართველის უმარტივესი სქემა მაგლუვებელი ფილტრის გარეშე ქ226 ტიპის დიოდების გამოყენებით.

ამონენა

განვსაზღვროთ ცვლადი სინუსოიდური ძაბვის ამპლიტუდური მნიშვნელობა $U_{\max} = \sqrt{2}U = \sqrt{2} \times 700 \approx 1000$ ვ. ასეთი იქნება დიოდზე მოქმედი უკუძაბვის მაქსიმალური მნიშვნელობა. იმის გამო, რომ ქ226 ტიპის დიოდების უკუძაბვის დასაშვები მაქსიმალური მნიშვნელობა $U_{b\max} = 300$ ვ-ს, გამმართველში გამოყენებული უნდა იქნეს მიმდევრობით შეერთებული რამდენიმე დიოდი. მიმდევრობით შესაერთებელ დიოდთა რიცხვს დავადგენთ შემდეგი ფორმულის მიხედვით

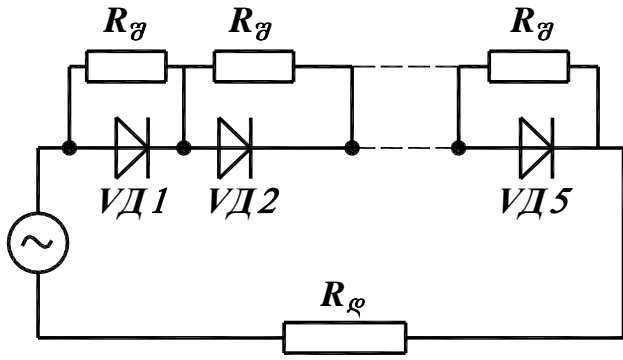
$$n = \frac{U_{\max}}{K_u U_{b\max}},$$

სადაც $K_u = 0.5 \dots 0.8$ – ძაბვის მიხედვით დატვირთვის კოეფიციენტია. ავიღოთ $K_u = 0.7$

$$n = \frac{1000}{0.7 \times 300} = 4.76.$$

ავიღოთ $n = 5$.

ერთიდაიგივე ტიპის დიოდების უკუწინაღობები შესაძლებელია მნიშვნელოვნად განსხვავდებოდეს ერთმანეთისაგან. ამიტომ საჭირო ხდება მიმდევრობით შეერთებული დიოდების პარალელურად ერთნაირი წინაღობის მქონე ე.წ. მაშუნტებელი რეზისტორების ჩართვა, როგორც ეს ნახ. 1.3-ზეა ნაჩვენები.



ნახ. 1.3

მაშუნტებელი რეზისტორების წინაღობა შეირჩევა შემდეგი ფორმულის გამოყენებით:

$$R_d \leq \frac{nU_{b\max} - 1.1 \times U_{\max}}{(n-1)I_{b\max}},$$

სადაც $I_{b\max}$ – დიოდის უძუ დენია ტემპერატურის მაქსიმალურად დასაშვები მნიშვნელობის დროს. D226 დიოდისათვის იგი არის 300მა-ის ტოლი (აიღება ცნობარიცხანი).

$$R_d \leq \frac{5 \times 300 - 1.1 \times 1000}{(5-1)300 \times 10^{-6}} = 333 \text{ გომ.}$$

ავიდებთ სტანდარტულ ნომინალს $R_d = 300$ გომ.

1.5. შევადგინოთ და გავიანგარიშოთ გამართველი წრედი, რომელიც $I = 400$ მა გამართული დენის მიღების საშუალებას მოგვცემს D226 ტიპის დიოდების შემთხვევაში.

ამონენა

მოთხოვნილი გამართული დენის მნიშვნელობა აღემატება D226 ტიპის დიოდის დენის დასაშვებ მნიშვნელობას, რომელიც 200მა-ის ტოლია. ამიტომ აუცილებელია რამდენიმე დიოდის პარალელური შეერთება. პარალელურად შესაერთებელი დიოდების რიცხვი განისაზღვრება შემდეგი ფორმულიდან

$$n = \frac{I}{I_{a\text{req},b}} \times K_T,$$

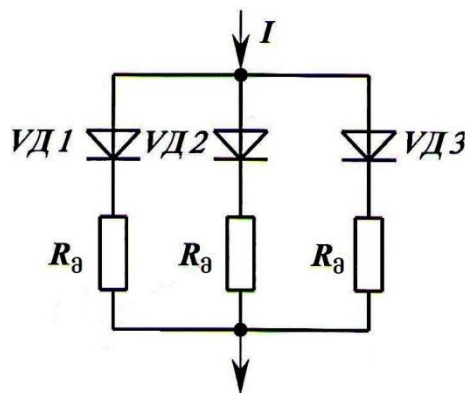
სადაც $I_{a_{\text{კიბ}}}$ – დიოდის ანოდური დენის დასაშვები მნიშვნელობა;

K_T – დიოდის დენური დატვირთვის კოეფიციენტია და აიღება 0.5.....0.8.

ავიღოთ $K_T = 0.8$. მაშინ

$$n = \frac{400}{200 \times 0.8} = 2.5.$$

ავიღოთ $n = 3$.



ნახ. 1.4

იმის გამო, რომ ერთიდაიგივე ტიპის ლია დიოდების წინაღობები შესაძლებელია მნიშვნელოვნად განსხვავდებოდნენ ერთმანეთისაგან, მოსალოდნელია პარალელურად ჩართულ დიოდებში დენის არათანაბარი განაწილება. ამის გამო, შესაძლებელია ზოგიერთი მათგანის გადატვირთვა და მწყობრიდან გამოსვლა. პარალელურ შტოებში დენების ხელოვნური გათანაბრების მიზნით თითოეული დიოდის მიმდევრობით ჩართავენ დამატებით წინაღობებს (ნახ. 1.4). დამატებითი წინაღობის სიდიდე უნდა განისაზღვროს ფორმულიდან

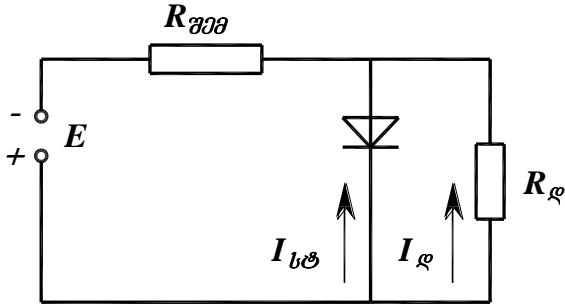
$$R_g \geq \frac{\Delta U_a (n-1)}{n I_{a_{\text{კიბ}}} - 1.1 \times I},$$

სადაც ΔU_a – დიოდის პირდაპირი ძაბვის გარდნის საშუალო მნიშვნელობაა. Δ226 ტიპის დიოდის $\Delta U_a = 13$.

$$R_g \geq \frac{1(3-1)}{3 \times 200 \times 10^{-3} - 1.1 \times 400 \times 10^{-3}} = 4.35 \text{ მჰო}$$

ავიღოთ სტანდარტული ნომინალი $R_g = 5 \text{ მჰო}$.

1.6. დატვირთვაზე გამართული ძაბვის სტაბილიზაციის მიზნით გამოყენებულია ნახევარგამტარული სტაბილიტრონი (ნახ. 1.5). სტაბილიტრონის სტაბილიზაციის ძაბვა $U_{b\beta} = 10$ ვ. უნდა განისაღვროს მკვებავი გამართული ძაბვის ცვალებადობის დასაშვები საზღვრები, თუ სტაბილიტრონის მაქსიმალური დენი $I_{b\beta \max} = 30$ მა, მინიმალური დენი $I_{b\beta \min} = 1$ მა. დატვირთვის წინადობა $R_g = 1$ კომ. შემზღვდავი რეზისტორის წინადობა $R_{\text{შ}} = 0.5$ კომ.



ნახ. 1.5

ამონიანა

კვების წყაროს ძაბვა

$$E = U_{b\beta} + R_{\beta\beta} (I_g + I_{b\beta}).$$

დატვირთვაზი გამავალი დენი

$$I_g = \frac{U_{b\beta}}{R_g}.$$

ამგვარად

$$E = U_{b\beta} \left(1 + \frac{R_{\beta\beta}}{R_g} \right) + I_{b\beta} R_{\beta\beta}.$$

თუ მიღებულ გამოსახულებაში შევიტანო სტაბილიტრონის დენის მინიმალურ და მაქსიმალურ მნიშვნელობებს მივიღებთ

$$E_{\min} = 10(1 + 0.5) + 1 \times 0.5 = 15.5 \text{ ვ},$$

$$E_{\max} = 10(1 + 0.5) + 30 \times 0.5 = 30 \text{ ვ}.$$

1.7. Δ813 ტიპის სტაბილიტონი ჩართულია ძაბვის სტაბილიზატორის სქემაში დატვირთვის რეზისტორის $R_{\text{g}} = 2.2 \text{ k}\Omega$ პარალელურად (ნახ. 1.5). სტაბილიტონის პარამეტრებია: სტაბილიზაციის ძაბვა $U_{\text{b}\beta} = 13 \text{ V}$, მაქსიმალური დენი $I_{\text{b}\beta\text{max}} = 20 \text{ mA}$, მინიმალური დენი $I_{\text{b}\beta\text{min}} = 1 \text{ mA}$. განსაზღვრეთ შემთხვევი რეზისტორის წინადობა, თუ კების წყაროს ძაბვა E იცვლება $E_{\text{min}} = 16 \text{ V}$ -დან, $E_{\text{max}} = 24 \text{ V}$ -მდე. განსაზღვრეთ უზრუნველყოფილი იქნება თუ არა ძაბვის სტაბილიზაცია E ძაბვის სრულ დიაპაზონში ცვლილების დროს.

ამონება

შემთხვევი რეზისტორის წინადობას დავადგენთ ფორმულიდან

$$R_{\text{g}\beta} = \frac{(E_{\text{b}\beta\text{a}} - U_{\text{b}\beta})}{(I_{\text{b}\beta\text{a}\text{b}\beta} + I_{\text{g}})},$$

$$\text{სადაც} \quad E_{\text{b}\beta\text{a}} = \frac{E_{\text{min}} + E_{\text{max}}}{2} = \frac{16 + 24}{2} = 20 \text{ V}.$$

დატვირთვაში გამავალი დენი

$$I_{\text{g}} = \frac{U_{\text{b}\beta}}{R_{\text{g}}} = \frac{13}{2.2 \times 10^3} = 5.9 \text{ mA}.$$

სტაბილიტონის დენის საშუალო მნიშვნელობა

$$I_{\text{b}\beta\text{b}\beta\text{a}} = \frac{I_{\text{b}\beta\text{min}} + I_{\text{b}\beta\text{max}}}{2} = \frac{1 + 20}{2} = 10.5 \text{ mA}.$$

$$\text{ამინ} \quad R_{\text{g}\beta} = \frac{20 - 13}{(10.5 + 5.9) \times 10^3} \approx 430 \text{ m}\Omega.$$

დატვირთვის ძაბვის სტაბილურობა ასეთი $R_{\text{g}\beta}$ -ის დროს უზრუნველყოფილი იქნება E კვების ძაბვის ცვალებადობის შემდეგ დიაპაზონში

$$E_{\text{min}} = U_{\text{b}\beta} + (I_{\text{b}\beta\text{min}} + I_{\text{g}})R_{\text{g}} = 13 + (1 + 5.9) \times 10^{-3} \times 430 \approx 16 \text{ V}.$$

$$E_{\text{max}} = U_{\text{b}\beta} + (I_{\text{b}\beta\text{max}} + I_{\text{g}})R_{\text{g}} = 13 + (20 + 5.9) \times 10^{-3} \times 430 = 24.1 \text{ V}.$$

ამგვარად, დატვირთვაზე სტაბილური ძაბვა შენარჩუნებული იქნება E კვების ძაბვის მთელ დიაპაზონში ცვლილების დროს.

ამოცანები საშინაო დაგალეგბისათვის:

1.1. ამოხსენით 1.1. ამოცანა სილიციუმის $p-n$ გადასასვლელისთვის მინარევების ისეთივე კონცენტრაციის შემთხვევაში, თუ $N = 5 \times 10^{22}$ და $n_i = 10^{10}$.

1.2. ამოხსენით 1.2. ამოცანა სილიციუმის $p-n$ გადასასვლელისთვის $p-$ და $n-$ უბნების ისეთივე ხვედრითი წინაღობის შემთხვევაში.

1.3. გაიანგარიშეთ და ააგეთ იდეალური $p-n$ გადასასვლელის ვამ $T = 300K$ ტემპერატურის დროს, თუ გაჯერების უკუდენი $I_0 = 10 \text{ მკა}$. გაანგარიშება შეასრულეთ ძაბვათა ინტერვალში: 0-დან – 10გ-მდე (1გ-ის ტოლი ბიჯით) და 0-დან 0.2გ-მდე (0.05გ-ის ტოლი ბიჯით).

1.4. 1.3. ამოცანაში ჩამოყალიბებული პირობისათვის, გაიანგარიშეთ და ააგეთ დიოდის ვამ იმის გათვალისწინებით, რომ p და n უბნების წინაღობა 25ომ-ის ტოლია.

1.5. დიოდის გაჯერების უკუდენი $I_0 = 10 \text{ მკა}$. დიოდზე მიერთებულია 0.5გ-ის ტოლი პირდაპირი ძაბვა. ისარგებლეთ ვამ-ის გამარტივებული განტოლებით და იპოვეთ პირდაპირი და უკუდენის შეფარდება $T = 300K$ ტემპერატურის დროს.

1.6. დიოდის რომელ უბანს (n თუ p) ექნება უფრო მეტი ხვედრითი წინაღობა, თუ ცნობილია, რომ დროის ერთეულში $p-n$ გადასასვლელზე ინიციალური ხვრელების რიცხვი რამდენიმე რიგით აღემატება ინიციალური ელექტრონების რიცხვს. პასუხი დაასაბუთეთ.

1.7. $T = 300K$ -ის დროს 0.1გ პირდაპირი ძაბვა იდეალურ $p-n$ გადასასვლელზე იწვევს მუხტის გადამტანების დენის განსაზღვრულ სიდიდეს. რა სიდიდის პირდაპირი ძაბვის დროს გაორკეცდება ეს დენი?

1.8. $p-n$ გადასასვლელის გაჯერების უკუდენი $T = 27^0C$ -ის დროს $I_0 = 1 \text{ მკა}$, ხოლო $T = 65^0C$ -ის დროს $I_0 = 10 \text{ მკა}$. ააგეთ ამ $p-n$ გადასასვლელის ვამ 27^0C და 65^0C ტემპერატურების დროს ძაბვათა ინტერვალში – 2გ-დან 0.5გ-მდე.

1.9. სილიციუმის $p-n$ გადასასვლელის გაჯერების უკუდენი $T = 300K$ -ის დროს $I_0 = 30 \text{ მკა}$. იპოვეთ $p-n$ გადასასვლელის დიფერენციალური წინაღობა 0.2გ-ის ტოლი პირდაპირი და უკუძაბვის დროს.

1.10. ნახევარგამტარული დიოდის პირდაპირი დენი 0.8ა-ის ტოლია 0.3გ პირდაპირი ძაბვისა $T = 35^0C$ -ის დროს. უნდა განისაზღვროს: ა) გაჯერების უკუდენი; ბ) დიფერენციალური წინაღობა 0.2გ პირდაპირი ძაბვის დროს; გ) დიოდის დიფერენციალური წინაღობა 1გ უკუძაბვის დროს.

1.11. განვსაზღვროთ დიოდის წინადობა მუდმივი დენის მიმართ პირდაპირი და უკუძაბების დროს, თუ 1კ პირდაპირი ძაბვის დროს დენი 4მა-ის ტოლია, ხოლო 100კ უკუძაბების დროს დენი 0.2მა-ია.

1.12. ისარგებლეთ ცნობარით და შეარჩიეთ დიოდი, რომელიც გამოდგება 400კ ამპლიტუდის მქონე სინუსოიდური ცვლადი ძაბვის გასამართავად, თუ დატვირთვა მოითხოვს 250მა გამართულ დენს. გამმართველის სქემა ერთფაზა სრულპერიოდიანია.

1.13. 1კ პირდაპირი ძაბვის დროს დიოდის დასაშვები დენი 50მა-ის ტოლია. როგორი შეიძლება იყოს კვების წყაროს ძაბვის მაქსიმალური სიდიდე, რომლის დროსაც დიოდი იმუშავებს უსაფრთხო რეჟიმში, თუ ამ დიოდის მიმდევრობით ჩავრთავთ 100 ომის ტოლ დატვირთვის წინადობას?

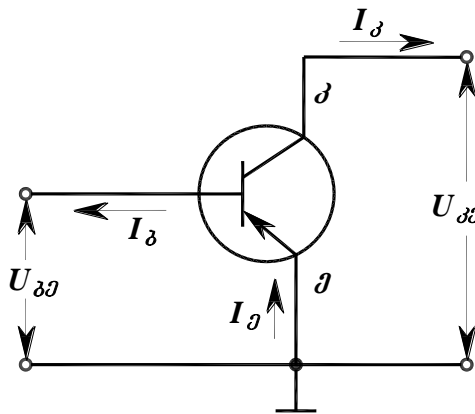
1.14. ძაბვის სტაბილიზაციის მიზნით ცნობარის საშუალებით შეირჩიეთ სტაბილიტრონის ტიპი და გაიანგარიშეთ შემზღვედი რეზისტორის წინადობა, თუ დატვირთვის რეზისტორის წინადობა $R_x = 500$ ომ. სტაბილიზაციის ძაბვის მოთხოვნილი სიდიდე $U_{\text{ref}} = 10$ ვ, კვების წყაროს ძაბვა $E = 16$ ვ.

1.15. ცნობარის დახმარებით შეირჩიეთ სტაბილიტრონის ტიპი, რომელიც უზრუნველყოფს $R_x = 1.1$ კომ. დატვირთვაზე 10ვ-ის ტოლ სტაბილურ ძაბვას და გაიანგარიშეთ შემზღვედი რეზისტორის წინადობა, თუ კვების წყაროს ძაბვა იცვლება ფარგლებში: 12ვ-დან 23ვ-მდე.

2. ტრანზისტორული სქემები

2.1. $p-n-p$ ტიპის ტრანზისტორი ჩართულია საერთო ემიტერით. რომელ რეჟიმში იმუშავებს ტრანზისტორი, თუ: а) $U_{\delta\delta} = -0.4$ ვ; $U_{\text{ж}} = -0.3$ ვ; ბ) $U_{\delta\delta} = -0.4$ ვ; $U_{\text{ж}} = -10$ ვ;
გ) $U_{\delta\delta} = 0.4$ ვ; $U_{\text{ж}} = -10$ ვ?

ამონა



ნახ. 2.1

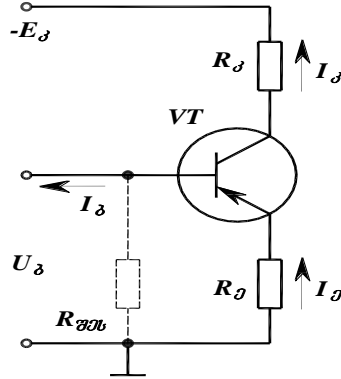
ა) ემიტერულ გადასასვლელზე მოქმედებს პირდაპირი ძაბვა, რადგან $U_{\delta\delta} = -U_{\delta\delta} = -(-0.4) = 0.4$ ვ. კოლექტორულ გადასასვლელზე მოქმედი ძაბვა $U_{\delta\delta} = U_{\text{ж}} - U_{\delta\delta} = -0.3 - (-0.4) = 0.1$ ვ. ამრიგად ორივე გადასასვლელზე მოქმედებს პირდაპირი ძაბვა. ამიტომ ტრანზისტორი იმუშავებს გაჯერების რეჟიმში.

ბ) ემიტერულ გადასასვლელზე ისევ პირდაპირი ძაბვა მოქმედებს. კოლექტორულ გადასასვლელზე კი ამ შემთხვევაში იმოქმედებს უკუძაბვა, რადგან $U_{\delta\delta} = U_{\text{ж}} - U_{\delta\delta} = -10 - (-0.4) = -9.6$ ვ. ამის გამო, ტრანზისტორი იმუშავებს აქტიურ რეჟიმში.

გ) ამ შემთხვევაში ემიტერულ გადასასვლელზე იმოქმედებს უკუძაბვა. კოლექტორულ გადასასვლელზე ამ შემთხვევაშიც უკუძაბვა მოქმედებს, რადგან $U_{\delta\delta} = U_{\text{ж}} - U_{\delta\delta} = -10 - 0.4 = -10.4$ ვ. მაშასადამე, ტრანზისტორი აღმოჩნდება მოკვეთის რეჟიმში.

2.3. 2.2. ნახაზზე ნაჩვენებ სქემაში $E_{\delta} = -10$ ვ, $R_{\delta} = 2$ კომ, $R_{\text{ж}} = 1$ კომ. განსაზღვრეთ სქემის შესავალის წინადობა, თუ ბაზის დენის გადაცემის კოეფიციენტი $\beta = 50$.

ამონესნა



ნახ. 2.2

სქემის შესავალის წინადობა

$$R_{\text{grid}} = \frac{U_d}{I_d}.$$

თუ სიმცირის გამო უგულვებელყოფთ ძაბვის ვარდნას ემიტერულ გადასასვლელზე, შეგვიძლია დაგწეროთ $U_d \approx I_d R_d$, სადაც $I_d = I_\delta(\beta + 1)$.

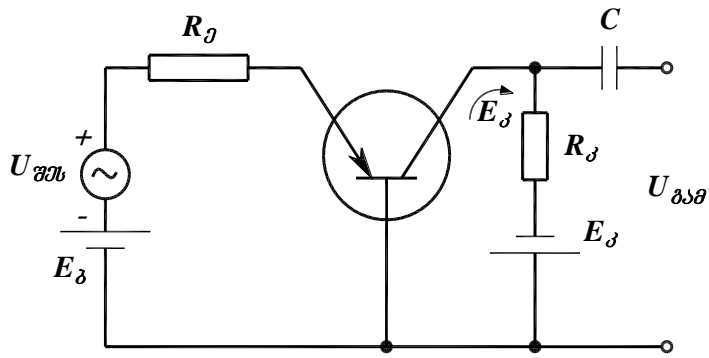
მაშინ

$$R_{\text{grid}} = \frac{I_\delta(1+\beta)R_d}{I_d} = 51 \times 1 = 51 \Omega.$$

თუ გავითვალისწინებდით ბაზისა და ემიტერის შრეების მოცულობით წინადობებს, მაშინ $R_{\text{grid}} = (r_g + R_d)(\beta + 1) + r_d$. პრაქტიკულად $r_g \ll R_d$ და $r_d \ll R_d(\beta + 1)$. ამიტომ $R_{\text{grid}} \cong R_d(\beta + 1)$.

2.4. 2.3. ნახაზე წარმოდგენილ სქემაში გრანზისტორი აქტიურ რეჟიმში მუშაობს. ჩავთვალოთ, რომ ემიტერული გადასასვლელის წინადობა საკმაოდ მცირეა R_d რეზისტორის წინადობასთან შედარებით, ხოლო კოლექტორული გადასასვლელის დიფერენციალური წინადობა $r_d > R_d$. ვიპოვოთ ძაბვის გაძლიერების K_U კოეფიციენტი.

ამონისნა



63b. 2.3.

გამოსავალი ძაბვა

$$U_{\delta\delta} = I_{\delta} R_{\delta}.$$

თუ უგულვებელვყოფთ ემიტერული გადასასვლელის ძაბვას, შეგვიძლია ჩავწეროთ

$$I_{\delta} = \frac{U_{ab}}{R_{\delta}}.$$

თუ უგულვებელვყოფთ კოლექტორული გადასასვლელის უკუდენს, გვექნება

$$I_{\delta} = \alpha I_{\delta}.$$

მაშასადამე,

$$U_{\delta\delta} = \alpha I_{\delta} R_{\delta} = \alpha \frac{U_{ab} R_{\delta}}{R_{\delta}}.$$

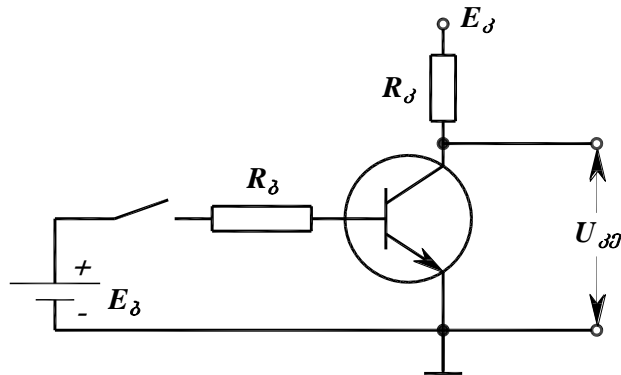
მაშინ

$$K_U = \frac{U_{\delta\delta}}{U_{ab}} = \frac{\alpha R_{\delta}}{R_{\delta}};$$

2.5. 2.4. ნახაზე ნაჩვენებ სქემაში გამოყენებულია $\beta = 50$ გადაცემის კოეფიციენტიანი ტრანზისტორი. ტრანზისტორის კოლექტორის საწყისი ტემპერატურული დენი $I_{\delta0} = 10 \mu\text{A}$. ცნობილია, რომ $R_{\delta} = 10 \Omega$, $E_{\delta} = 1 \text{ V}$, $R_{\delta} = 5 \Omega$, $E_{\delta} = 20 \text{ V}$. განსაზღვრეთ ძაბვა კოლექტორსა და ემიტერს შორის ჩაკვეტილი და დია

ტრანზისტორული გასაღების შემთხვევაში. ჩავთვალოთ, რომ β გადაცემის პოვნიციენტი არ იცვლება.

ამონია



სა. 2.4.

ჩავტორო გასაღების შემთხვევაში $I_d = 0$ და ტრანზისტორის კოლექტორის დენი

$$I_d = \beta I_{\text{b}} + (1 + \beta) I_{\text{b}0} = 10 \times 10^{-6} \times 51 = 0.51 \text{ A.}$$

ამონია

$$U_o = E_d - I_d R_d = 20 - 0.51 \times 5 = 17.5 \text{ V.}$$

თუ არ მივიღებთ მხედველობაში ძაბვის ვარდნას ემიტერულ გადასასვლელზე, მაშინ დია გასაღებში გამავალი ბაზის დენი ტოლი იქნება

$$I_d \approx \frac{E_d}{R_d} = \frac{1}{10 \times 10^3} = 100 \text{ mA.}$$

თუ ჩავთვლით, რომ დია გასაღების პირობებში შენარჩუნებულია (გაჯერების ხდვარზე) აქტიური რეჟიმი, მაშინ კოლექტორის დენი იქნება:

$$I_d = \beta I_{\text{b}} + I_{\text{b}0} (1 + \beta) = 50 \times 10^{-4} + 51 \times 10^{-5} \times 51 = 5.51 \text{ A.}$$

ამიტომ ძაბვა კოლექტორსა და ემიტერს შორის იქნება

$$U_o = E_d - I_d R_d = 20 - 5.51 \times 10^{-3} \times 5 \times 10^3 = -7.5 \text{ V.}$$

მივიღეთ, რომ ტრანზისტორის კოლექტორულ გადასასვლელზე იმოქმედებს

$$U_{\text{b}} = U_o - U_{\text{b}0} \approx -7.5 \text{ V.}$$

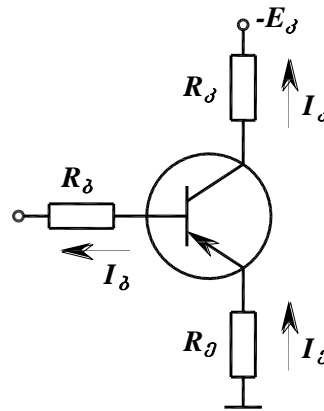
ე.ი. ტრანზისტორი იმუშავებს გაჯერების რეჟიმში, რადგან ტრანზისტორის ორივე გადასასვლელზე პირდაპირი ძაბვა მოქმედებს. მაგრამ გაჯერების რეჟიმის დენი არ შეიძლება აღემატებოდეს დენს

$$I_{\delta} \approx \frac{E_{\delta}}{R_{\delta}} = \frac{20}{5 \times 10^3} = 4 \text{ მა.}$$

ამ შემთხვევაში ძაბვა კოლექტორსა და ემიტერს შორის $U_{\delta} \approx 0$. ამგვარად, დია გასაღების შემთხვევაში $U_{\delta} \approx 0$.

2.6. ტრანზისტორი ჩართულია 2.5 ნახაზზე ნაჩვენებ სქემაში. სქემაში ჩართული ელემენტების მონაცემებია: $E_{\delta} = -28 \text{ ვ}$, $R_{\delta} = 15 \text{ გომ}$, $R_{\beta} = 1 \text{ გომ}$, $R_{\epsilon} = 2 \text{ გომ}$. განსაზღვრულ შესავალი ძაბვის მინიმალური მნიშვნელობა, რომლის დროსაც ტრანზისტორი იმუშავებს გაჯერების რეჟიმში. ჩავთვალოთ, რომ გაჯერების რეჟიმის საზღვარზე $\beta = 9$

ამონენა



ნახ. 2.5

გაჯერების რეჟიმში $U_{\delta} \approx 0$.

შესავალის ძაბვა $U_{\beta\beta} = -I_{\beta}R_{\beta} - I_{\delta}R_{\delta}$.

კოლექტორის კვების წყაროს ძაბვა $E_{\delta} = -I_{\beta}R_{\beta} - I_{\delta}R_{\delta}$.

ემიტერის დენი $I_{\beta} \approx I_{\delta}(1 + \beta)$

კოლექტორის დენი $I_{\beta} \approx \beta I_{\delta}$.

მაშასადამე, შესავალის ძაბვა

$$U_{\text{збл}} = -[I_{\delta}(1+\beta)R_{\text{з}} + I_{\delta}R_{\delta}] = -I_{\delta}[R_{\text{з}}(1+\beta) + R_{\delta}].$$

$$E_{\delta} = -[I_{\delta}(1+\beta)R_{\text{з}} + I_{\delta}R_{\delta}] = -I_{\delta}[R_{\text{з}}(1+\beta) + \beta R_{\delta}].$$

ამ გამოსახულებიდან ვპოულობთ

$$I_{\delta} = \frac{-E_{\delta}}{R_{\text{з}}(1+\beta) + \beta R_{\delta}} = \frac{28}{10^3(9+1) + 9 \times 2 \times 10^3} = 1 \text{ ბ.}$$

ამრიგად

$$U_{\text{збл}} = -1[(9+1)+15] = -25 \text{ კ.}$$

2.7. ნახ.2.6-ზე წარმოდგენილ სქემაში ტრანზისტორის პარამეტრებია $r_{\text{в}}' = 0,5 \text{ მგომი; } \beta = 100; r_{\delta} = 100 \text{ ომი; } r_{\text{з}} = 20 \text{ ომი, ხოლო სქემაში ჩართული წინაღობებია } R_{\text{l}} = 51 \text{ ომი; } R_2 = 10 \text{ კომი; } R_{\text{з}} = 4,7 \text{ კომი; } R_{\text{в}} = 300 \text{ ომი; } R_{\text{b}} = 3 \text{ კომი; } R_{\text{g}} = 2 \text{ კომი. განვხაზდვროთ მაძლიერებელი კასკადის სქემური პარამეტრები შეა სიხშირეებისათვის:}$

I. შესასვლელი წინაღობა $R_{\text{збл}}$ სამი შემთხვევისათვის: а) როცა არ ვითვალისწინებთ R_{l}, R_2 ძაბვის დამყოფის გავლენას; ბ) ხსენებული ძაბვის დამყოფის გავლენას მხედველობაში ვიღებთ; გ) როცა სქემაში არ არის ჩართული $C_{\text{з}}$ ტეპადობა.

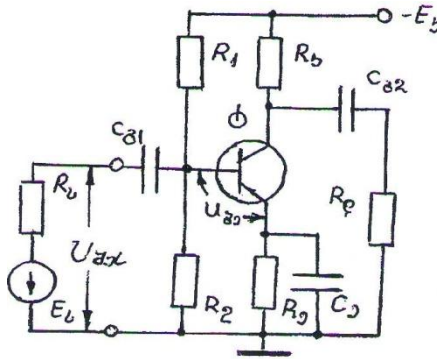
II. გამოსასვლელი წინაღობა $R_{\text{збл}}$;

III. დენის მიხედვით გაძლიერების კოეფიციენტები K_i და $K_{i_{\text{g}}}$;

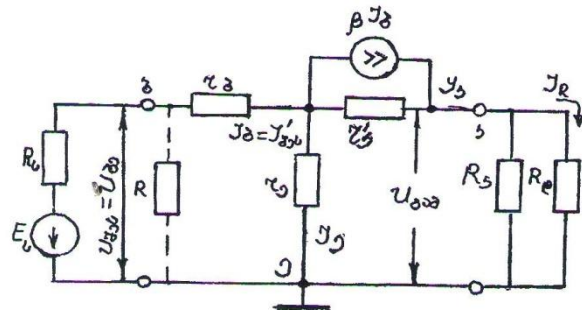
IV. ძაბვის მიხედვით გაძლიერების კოეფიციენტები K და K_{b} ;

V. სიმძლავრის მიხედვით გაძლიერების კოეფიციენტი K_p .

ჩავთვალოთ, რომ შეა სიხშირეებზე კონდენსატორთა წინაღობების გავლენის უგულვებელყოფა შეგვიძლია და სქემა წმინდა აქტიური ბუნებისაა.



6a6.2.6



6a6.2.7

ამონიანა

I. შევა სისტორეთა დიაპაზონის შესაბამისი ექვივალენტური სქემა წარმოდგენილია 6a6.2.7-ზე, რომელშიც r'_d კოლექტორული გადასასვლელის წინაღობაა საერთო ემიტერიან სქემაში.

ავდიოშენოთ კასკადის ექვივალენტური დატვირთვის წინაღობა R_{j2} -თი.

$$R_{j2} = R_d \parallel R_{\text{q}} = R_d R_{\text{q}} / (R_d + R_{\text{q}}). \quad (1)$$

ხსენებულ ექვივალენტურ სქემაში R_1 და R_2 წინაღობები პარალელურადაა შეერთებული

$$R = R_1 \parallel R_2 = R_1 R_2 / (R_1 + R_2). \quad (2)$$

გაანგარიშებას ვაწარმოებთ შემდეგი შემთხვევებისთვის: ა) არ ვითვალისწინებთ R_1 , R_2 ძაბვის დამყოფის გავლენას. მაშინ βI_d გენერატორის დენი განშტოვდება r'_d და $R_{j2} + r_d$ პარალელურ შტოებში. ამიტომ კოლექტორული დენი იმის გათვალისწინებით, რომ $R_{j2} >> r_d$, იქნება

$$I_d = \beta I_{d2} r'_d / (r'_d + R_{j2}). \quad (3)$$

ბაზის r_d წინაღობაში გადის I_d დენი, ხოლო ემიტერული გადასასვლელის r_d წინაღობაში – I_d და I_{d2} დენების ჯამი. ამიტომ შესასვლელი წინაღობა

$$R_{\text{obj}} = \frac{U_{\text{obj}}}{I_{\text{obj}}} = \frac{U_{\delta}}{I_{\delta}} = r_{\delta} + r_{\delta} \left[1 + \beta \frac{r_{\delta}^{\perp}}{(r_{\delta}^{\perp} + R_{\text{obj}})} \right]. \quad (4)$$

ხშირ შემთხვევაში კმაყოფილდება პირობა $r_{\delta}' >> R_{\text{obj}}$. მაშინ (4) მიიღებს სახეს

$$R_{\text{obj}} \approx r_{\delta} + r_{\delta} (1 + \beta), \quad (5)$$

$$\text{ანუ} \quad R_{\text{obj}} = 100 + 20(100 + 1) = 2120 \text{ომი} = 2,12 \text{კომი}. \quad (6)$$

ბ) თუ მხედველობაში მივიღებთ R_1, R_2 ძაბვის დამყოფის გავლენას, მაშინ კასკადის სრული შესასვლელი წინადობა

$$R_{\text{obj,bus}} = R \parallel R_{\text{obj}} = R \cdot R_{\text{obj}} / (R + R_{\text{obj}}). \quad (7)$$

(2) -ის თანახმად $R = 51 \cdot 10 / (51 + 10) = 8,36 \text{ კომი}$ და

$$R_{\text{obj,bus}} = 8,36 \cdot 2,12 / (8,36 + 2,12) = 1,69 \text{ კომი}. \quad (8)$$

გ) როცა სქემაში არ არის ჩართული C_{δ} მაშუნტებელი კონდენსატორი, მაშინ კასკადის შესასვლელი წინადობა განისაზღვრება (5) ფორმულით, რომელშიც r_{δ} წინადობის ნაცვლად უნდა ჩაისვას $r_{\delta} + R_{\delta}$ წინადობა ე.ი. ამ შემთხვევაში

$$R_{\text{obj}} = r_{\delta} + (r_{\delta} + R_{\delta})(1 + \beta), \quad (9)$$

$$\text{ანუ} \quad R_{\text{obj}} = 100 + (20 + 300)(1 + 100) = 32420 \text{ომი} = 32,42 \text{კომი}. \quad (10)$$

ე.ო. ცვლადი დენის მიხედვით უარყოფითი უკუკავშირის შეყვანა მნიშვნელოვნად ზრდის შესასვლელ წინადობას.

თუ R_1, R_2 ძაბვის დამყოფის გავლენას გავითვალისწინებთ, მაშინ

$$R_{\text{obj,bus}} = R \cdot R_{\text{obj,bus}} / (R + R_{\text{obj,bus}}) = 8,36 \cdot 32,42 / (8,36 + 32,42) = 6,65 \text{ კომი} \quad (11)$$

მაშასადამე, ძაბვის დამყოფი მნიშვნელოვნად ამცირებს შესასვლელ წინადობას.

II. გამოსავალი წინადობა ჩვეულებრივ განისაზღვრება გათიშული დატვირთვისა და ნულოგანი შესასვლელი სიგნალის დროს. თუ გავითვალისწინებთ, რომ $r_{\delta}' >> R_{\delta}$, მაშინ გამოსასვლელის წინადობა

$$R_{\text{out}} = R_{\delta} = 4,7 \text{ კომ}. \quad (12)$$

III. დენის მიხედვით გაძლიერების კოეფიციენტი განისაზღვრება (3) ფორმულიდან.

$$K_i = I_{\delta} / I_{\delta} = \beta r'_{\delta} / (r'_{\delta} + R_{\delta\delta}), \quad (13)$$

$$R_{\delta\delta} = 4,7 \cdot 2 / (4,7 + 2) = 1,4 \text{ ჰმ.}$$

$$\text{კ.ო. } K_i = 100 \cdot 500 / (500 + \frac{4,7 \cdot 2}{4,7 + 2}) = 99,72 \approx 100, \quad (14)$$

$$\text{ანუ } K_i \approx \beta. \quad (15)$$

ვინაიდან $R_{\delta\delta}$ დატვირთვაში გამავალი დენი I_{δ} კოლექტორული დენის ნაწილს შეადგენს, ანუ $I_{\delta} = I_{\delta} R_{\delta} / (R_{\delta} + R_{\delta\delta})$, დატვირთვის დენის გაძლიერების კოეფიციენტი $K_{i\delta}$ ნაკლები გამოდის, ვიდრე K_i .

$$K_{i\delta} = I_{\delta} / I_{\delta} = \beta \frac{r'_{\delta}}{r'_{\delta} + R_{\delta\delta}} \cdot \frac{R_{\delta}}{R_{\delta} + R_{\delta\delta}}. \quad (16)$$

ჩვენს შემთხვევაში

$$K_{i\delta} = 99,72 \cdot \frac{4,7}{4,7 + 2} = 99,72 \cdot 0,7 = 69,9 \approx 70. \quad (17)$$

IV. ძაბვის მიხედვით გაძლიერების კოეფიციენტი (3) –ის თანახმად

$$K_u = U_{\delta\delta} / U_{\delta\delta} = \frac{I_{\delta} \cdot R_{\delta\delta}}{I_{\delta} \cdot R_{\delta\delta}} = - \frac{\beta R_{\delta\delta} [r'_{\delta} / (r'_{\delta} + R_{\delta\delta})]}{r_{\delta} + r_{\delta} [1 + \beta r'_{\delta} / (r'_{\delta} + R_{\delta\delta})]}. \quad (18)$$

$r'_{\delta} \gg R_{\delta\delta}$ უტოლობის გათვალისწინებით

$$K_u = -\beta R_{\delta\delta} / [r_{\delta} + r_{\delta} (1 + \beta)], \quad (19)$$

$$\text{ანუ } K_u = -100 \cdot \frac{4,7 \cdot 10^3 \cdot 2 \cdot 10^3}{4,7 \cdot 10^3 + 2 \cdot 10^3} / [100 + 20(1 + 100)] = 66,2. \quad (20)$$

როცა $R_{\delta\delta}$ თანაზომადია სიგნალის წყაროს შიგა R_b წინადობისა, მაშინ უფრო ლოგიკურია ძაბვის მიხედვით გაძლიერების კოეფიციენტი განისაზღვროს არა $U_{\delta\delta} / U_{\delta\delta}$ ფარდობით, არამედ $U_{\delta\delta} / E_b$ სიდიდით. ამ შემთხვევაში გსარგებლობო ტოლობებით

$$U_{\delta^{\text{ad}}} = I_{\delta} R_{\delta^{\text{ad}}} = -[\beta I_{\delta} r'_{\delta} / (r'_{\delta} + R_{\delta^{\text{ad}}})] R_{\delta^{\text{ad}}}, \quad (21)$$

$$I_{\delta} = E_{\delta} / (R_b + R_{\delta b}), \quad (22)$$

რომელთა საფუძველზე გდებულობთ

$$K_{ub} = \frac{U_{\delta^{\text{ad}}}}{E_b} = -\frac{R_{\delta^{\text{ad}}} [\beta r'_{\delta} / (r'_{\delta} + R_{\delta^{\text{ad}}})]}{R_b + R_{\delta b}}, \quad (23)$$

ჩვენ შემთხვევაში

$$K_{ub} = -\frac{1,4 \cdot 10^3 [100 \cdot 500 \cdot 10^3 / (500 \cdot 10^3 + 1,4 \cdot 10^3)]}{3 \cdot 10^3 + 2,12 \cdot 10^3} = -27,3 \quad (24)$$

V. სიმძლავრის მიხედვით გაძლიერების კოეფიციენტი

$$K_p = (U_{\delta^{\text{ad}}} \cdot I_{\delta^{\text{ad}}}) / (U_{\delta b} \cdot I_{\delta b}) = K_u \cdot K_i, \quad (25)$$

მაშასადამე

$$K_p = 66,2 \cdot 99,72 = 6601,5. \quad (26)$$

2.8. 6ას.2.8-ზე ნაჩვენებ სქემაში $E_{\delta} = -30 \text{ ვ}, R_{\text{g}} = 2 \text{ ვმ}, R_{\delta} = 1 \text{ ვმ}, R_{\delta} = 20 \text{ ვმ}$, ხოლო ტრანზისტორის ბაზის დენის გადაცემის კოეფიციენტი $\beta = 19$. დავადგინოთ აქტიურ თუ გაჯერების რეჟიმში იმყოფება ტრანზისტორი, როცა შესასვლელს მიეწოდება ძაბვა $U_{\delta b} = -15 \text{ ვ}$.

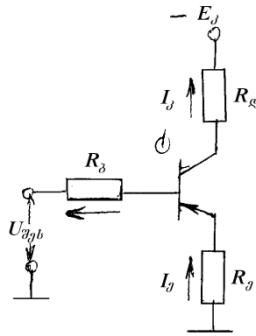
პროცენტი

უპირველეს ყოვლისა გავარკვიოთ, თუ რა სიდიდის მინიმალური $U_{\delta b, \min}$ ძაბვა უნდა მივაწოდოთ შესასვლელს, რომ ტრანზისტორი აღმოჩნდეს გაჯერებული.

გაჯერების რეჟიმში კოლექტორსა და ემიტერს შორის ძაბვა $U_{\delta} \approx 0$. გაშინ შესასვლელი ძაბვა $U_{\delta b} = -I_{\delta} R_{\delta} - I_{\delta} R_{\delta}$.

მეორეს მხრივ, $E_{\delta} = -I_{\delta} R_{\delta} - I_{\delta} R_{\text{g}}$. ემიტერის დენი $I_{\delta} \approx I_{\delta}(\beta + 1)$, ხოლო კოლექტორის დენი $I_{\delta} \approx \beta I_{\delta}$. ამიტომ შესასვლელი ძაბვა

$$U_{\delta b} = -[I_{\delta}(\beta + 1)R_{\delta} + I_{\delta}R_{\delta}] = -I_{\delta}[R_{\delta}(\beta + 1) + R_{\delta}]. \quad (1)$$



6a.b.2.8

ბაზის დენის მინიმალური მნიშვნელობა, რომლის დროსაც ტრანზისტორი გაჯერებული აღმოჩნდება, გამოითვლება განტოლებიდან

$$E_d = -I_d(\beta + 1)R_d - I_d \cdot \beta R_g = -I_d[R_d(\beta + 1) + \beta R_g],$$

საიდანაც გვოულობთ გაჯერების ბაზის დენს

$$I_{d_0} = \frac{-E_d}{R_d(\beta + 1) + \beta R_g} = \frac{30}{(20 + 19 \cdot 2) \cdot 10^3} = 0,52 \text{ A}$$

შესავალი ძაბვის მინიმალური მნიშვნელობა, რომლის დროსაც ტრანზისტორი იქნება გაჯერებული ეტოლება

$$U_{\text{qbl,min}} = -I_{d_0}[R_d(\beta + 1) + R_g] = -0,52(1 \cdot 20 + 20) = -20,8 \text{ V}$$

ტრანზისტორი იქნება გაჯერებული, თუ კმაყოფილდება პირობა $|U_{\text{qbl}}| \geq |U_{\text{qbl,min}}|$. წინაამდევნობი შემთხვევაში ტრანზისტორი აღმოჩნდება აქტიურ რეჟიმში. ჩვენ შემთხვევაში $U_{\text{qbl}} = -15 \text{ V}$, ე.ი. ადგილი აქვს უტოლობას $|U_{\text{qbl}}| < |U_{\text{qbl,min}}|$ და ამიტომ ტრანზისტორი იმყოფება აქტიურ რეჟიმში.

2.9. მმართველი $p-n$ გადასასვლელიანი ტრანზისტორის $I_{\text{fbol,max}} = 1 \text{ A}$ და $U_{\text{fbol}} = 4 \text{ V}$. განსაზღვრეთ: ა) როგორი სიდიდის დენი გაივლის ტრანზისტორში, როდესაც საპეტსა და სათავეს შორის მოქმედებს 2ვ-ის ტოლი უკუძაბვა; ბ) როგორი

იქნება ამ შემთხვევაში გადაცემის მახასიათებლის დახრილობა და მაქსიმალური დახრილობა.

ამონენა

ა) ჩასადინარის დენს ვიპოვით გამოსახულებიდან

$$I_{\text{fb}} = I_{\text{fb max}} \left(1 - \frac{U_{\text{b,b}}}{U_{\text{v}}^{\text{fb}}} \right)^2 = 1 \times 10^{-3} \left(1 - \frac{2}{4} \right) = 0.25 \text{ A}$$

ბ) მახასიათებლის დახრილობა

$$S = \frac{\Delta I_{\text{fb}}}{\Delta U_{\text{b,b}}} = \frac{2I_{\text{fb max}}}{U_{\text{v}}^{\text{fb}}} \left(1 - \frac{U_{\text{b,b}}}{U_{\text{v}}^{\text{fb}}} \right) = \frac{2 \times 10^{-3}}{4} \left(1 - \frac{2}{4} \right) = 0.25 \text{ A/3}$$

$$S_{\text{max}} = \frac{2I_{\text{fb max}}}{U_{\text{v}}^{\text{fb}}} = 2 \times 10^{-3} / 4 = 0.5 \text{ A/3}$$

2.10. მმართველი $p-n$ გადასასვლელიანი ველით მართული ტრანზისტორის მონაცემებია: $I_{\text{fb max}} = 2 \text{ A}$; $S_{\text{max}} = 2 \text{ A/3}$. ტრანზისტორი ჩართულია საერთო სათავით მაძლიერებელი კასკადის სქემაში. დატვირთვის რეზისტორის წინაღობა $R_{\text{fb}} = 10 \text{ k}\Omega$. განსაზღვრეთ ძაბვის გაძლიერების კოეფიციენტი, თუ: ა) $U_{\text{b,b}} = -1 \text{ V}$; ბ) $U_{\text{b,b}} = -0.5 \text{ V}$; გ) $U_{\text{b,b}} = 0$.

ამონენა

ძაბვის გაძლიერების კოეფიციენტი იანგარიშება ფორმულით

$$K_u = SR_{\text{fb}},$$

სადაც – $S = S_{\text{max}} \left(1 - \frac{U_{\text{b,b}}}{U_{\text{v}}^{\text{fb}}} \right)$ – გადაცემის მახასიათებლის დახრილობა;

$$U_{\text{v}}^{\text{fb}} = \frac{2I_{\text{fb max}}}{S_{\text{max}}} = \frac{2 \times 2 \times 10^{-3}}{2 \times 10^{-3}} = 2 \text{ V}$$

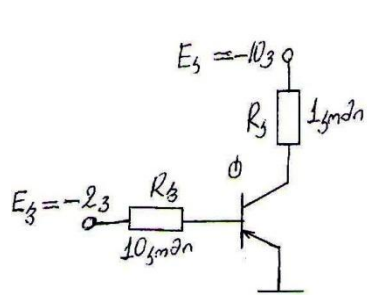
$$\text{ა) } S = 2 \left(1 - \frac{1}{2} \right) = 1 \text{ A/3}; \quad \text{ბ) } S = 2 \left(1 - \frac{0.5}{2} \right) = 1.5 \text{ A/3}; \quad \text{გ) } S = 2 \left(1 - \frac{0}{2} \right) = 2 \text{ A/3}$$

$$\text{ა) } K_u = 1 \times 10^{-3} \times 10 \times 10^3 = 10; \quad \text{ბ) } K_u = 1.5 \times 10^{-3} \times 10 \times 10^3 = 15;$$

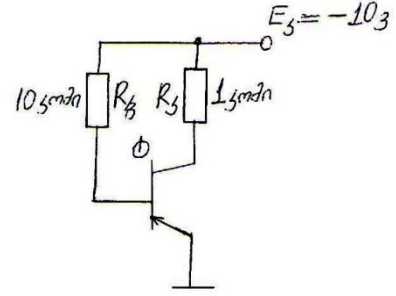
$$g) K_u = 2 \times 10^{-3} \times 10 \times 10^3 = 20.$$

2.11. 2.9-სა და სურ. 2.10-ზე ნაჩვენები სქემებში გამოყენებულია ერთნაირი ტრანზისტორები პარამეტრებით: $\beta = 20$ და $I_{\delta 0} = 5 \text{ mA}$. სქემის დანარჩენი მონაცემები მითითებულია უშუალოდ სურათებზე.

განვსაზღვროთ თითოეული სქემისათვის ტრანზისტორის მდგომარეობა (ჩაკეტილია, გაჯერებულია თუ იმყოფება აქტიურ რეჟიმში).



სურ.2.9



სურ.2.10

ამონსნა

სურ. 2.9-ზე წარმოდგენილ სქემაში ბაზის დენი

$$I_\delta \approx \frac{E_\delta}{R_\delta} = \frac{2}{10 \cdot 10^3} = 0,2 \text{ mA.}$$

გაჯერების კოლექტორული დენი

$$I_{\delta 0} \approx \frac{E_\delta}{R_\delta} = \frac{10}{1 \cdot 10^3} = 10 \text{ mA.}$$

გაჯერების ბაზური დენი

$$I_{\delta \delta} = \frac{I_{\delta 0} - (\beta + 1)I_{\delta 0}}{\beta} = \frac{10 \cdot 10^{-3} - 21 \cdot 5 \cdot 10^{-6}}{20} = \frac{10 - 105 \cdot 10^{-3}}{20} = \frac{0,9}{20} \approx 0,5 \text{ mA.}$$

ვინაიდან $I_\delta < I_{\delta \delta}$ ($0,2 \text{ mA} < 0,5 \text{ mA}$), ტრანზისტორი აქტიურ რეჟიმშია.

სურ. 2.10-ზე წარმოდგენილ სქემაში

$$I_\delta \cong E_\delta / R_\delta = 10 / (10 \cdot 10^3) = 1 \text{ mA.}$$

გაჯერების ბაზის დენი

$$I_{\delta\delta} \approx \frac{I_{\delta}}{\beta} = \frac{E_{\delta}/R_{\delta}}{\beta} = \frac{10/10^3}{20} = 0,5 \text{ მა}$$

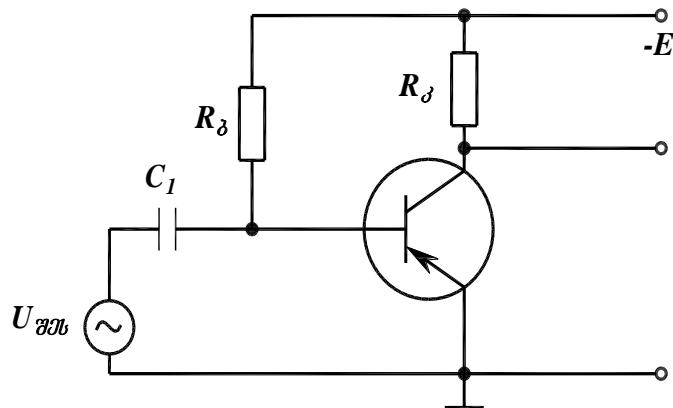
როგორც ვხედავთ, ადგილი აქვს უტოლობას

$$I_{\delta\delta} = 0,5 \text{ მა} < I_b = 1 \text{ მა.}$$

ამიტომ, ამ შემთხვევაში, ტრანზისტორი გაჯერებულია.

2.12. *MP42* ტიპის ტრანზისტორი ჩართულია მაძლიერებულ კასკადში საერთო ემიტერით. კასკადი იკვებება $E = 10 \text{ ვ}$ ძაბვის კვების წყაროდან. წანაცვლება ბაზას მიეწოდება R_{δ} რეზისტორით (იხ. ნახ. 2.11). მოახდინეთ კასკადის გრაფო-ანალიზური გაანგარიშება, თუ მოცემულია: შესავალი სიგნალის ამპლიტუდა $U_{\text{შე max}} = 45 \text{ მანგ}$; ბაზის დენი სიმშვიდის რეჟიმში $I_{\delta A} = 0,3 \text{ მა}$; დატვირთვის რეზისტორის წინადობა $R_{\delta} = 500 \text{ მა}$; გასაძლიერებელი სიგნალის სიხშრული დიაპაზონი $f_{\min} = 80 \text{ გც}$, $f_{\max} = 5 \text{ გც}$.

ამონენა



ნახ. 2.11

გაანგარიშებას ვიწყებთ ტრანზისტორის გამოსავალის მახასიათებელთა ოჯახში მაქსიმალურად დასაშვები სიმძლავრის P_{δ} წირის აგებით. ამ წირს ავაგებთ შემდეგი გამოსახულების მიხედვით:

$$I_{s\max} = \frac{P_{\delta\max}}{U_{\delta\delta}},$$

სადაც $P_{\beta \max}$ -მოცემული ტიპის ტრანზისტორის კოლექტორზე გამოყოფილი სიმძლავრის მაქსიმალურად დასაშვები სიდიდეა. $P_{\beta \max}$ -ს ავიდებთ ცნობარიდან. $MP42$ ტიპის ტრანზისტორისთვის $P_{\beta \max} = 150 \text{dB}$ -ს.

$U_{\beta \beta} - \text{კოლექტორული}$ ძაბვის აბსოლუტური მნიშვნელობაა. მისი მაქსიმალურად დასაშვები სიდიდე მითითებულია ცნობარში. $MP42$ ტიპის ტრანზისტორისთვის იგი 20-ის ტოლია.

შევადგინოთ ცხრილი

$ U_{\beta \beta} $ (3)	7.5	10	15	20
$I_{s \max} = 150 / U_{\beta \beta} $	20	15	10	7.5

ტრანზისტორის გამოსავალის (კოლექტორის) მახასიათებელთა ოჯახში $U_{\beta \beta}$, $I_{\beta \max}$ მნიშვნელობების მიხედვით ვიპოვით რა შესაბამის წერტილებს, მათი უწყვეტი წირით შეერთების შედეგად მივიღებთ P_{β} სიმძლავრის წირს (ნახ.12,ბ). იგი წარმოადგენს ტრანზისტორის ნორმალური და გადატვირთვების რეჟიმების საზღვარს. იმისათვის, რომ მუშაობის პროცესში ტრანზისტორი არ გადაიტვირთოს და არ გადახურდეს, საჭიროა კოლექტორული დატვირთვის წრფემ არ გადაკვეთოს P_{β} წირი. იგი უნდა მოთავსდეს ამ წირის ქვევით.

ამის შემდეგ ვიყენებთ რა კოლექტორული დატვირთვის წრფის განტოლებას

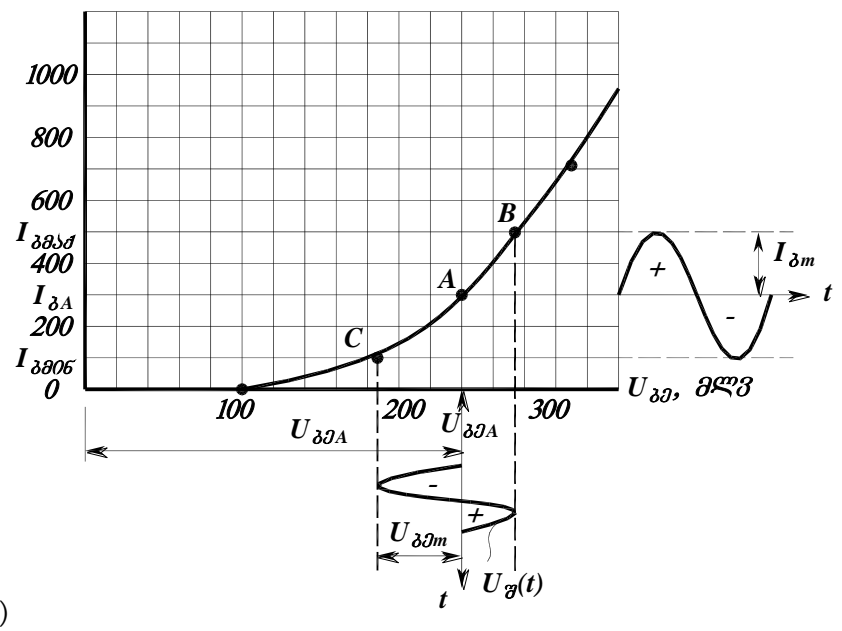
$$U_{\beta \beta} = E_{\beta} - I_{\beta} R_{\beta}$$

ვიპოვით ძაბვისა და დენის დერივაციან დატვირთვის წრფის გადაკვეთის წერტილებს. ამ წერტილების კორდინატებია:

$$I_{\beta} = 0; U_{\beta \beta} = E_{\beta} = -10 \text{ V} \text{ და } U_{\beta \beta} = 0, I_{\beta} = \frac{E_{\beta}}{R_{\beta}} = \frac{10}{0,5 \cdot 10^3} = 2 \text{ mA.}$$

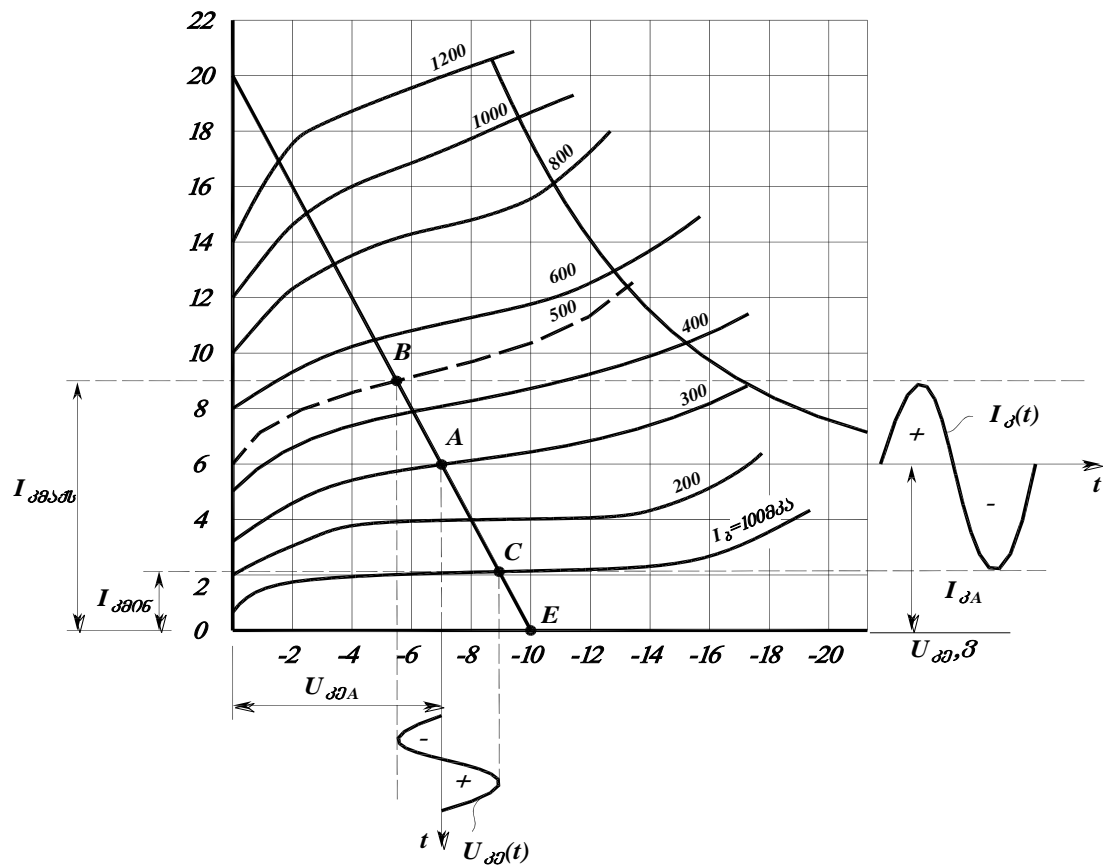
ამ წერტილების წრფის მონაკვეთით შეერთების შედეგად მივიღებთ კოლექტორული დატვირთვის წრფეს.

$I_{\delta}, \partial\delta$



s)

$I_{\delta}, \partial\delta$



d)

68b. 2.12

მოვინიშნოთ დატვირთვის წრფის გადაკვეთის წერტილები $I_{\delta_A} = 0,3$ მა ბაზის დენის შესაბამის კოლექტორული მახასიათებელთან (A წერტილი). ამ წერტილის შესაბამისი დენი და ძაბვა წარმოადგენს სიმშვიდის რეჟიმში კოლექტორის დენს და კოლექტორ-ემიტერს შორის ძაბვას, კერძოდ $I_{\delta_A} = 6$ მა, $U_{\delta\vartheta_A} = -73$

სიმშვიდის რეჟიმში დენისა და ძაბვის სიდიდეების განსაზღვრის შემდეგ კოლექტორული დენის ცვლადი შემდგენის ამპლიტუდას. იგი განისაზღვრება შემდეგი გამოსახულებიდან:

$$I_{\delta_m} = \frac{I_{\delta_{\max}} - I_{\delta_{\min}}}{2}.$$

$I_{\delta_{\max}}$ და $I_{\delta_{\min}}$ დენების სიდიდეებს ვიპოვით შემდეგნაირად: წინასწარ შესავალი მახასიათებლის $I_{\delta} = f(U_{\delta\vartheta})$ გამოყენებით (ნახ.2.12,ა), სიმშვიდის რეჟიმში ბაზის დენის $I_{\delta_A} = 0,3$ მა მიხედვით, დაგადგენთ, რომ $U_{\delta A} = 240$ მვ. ვინაიდან გასაძლიერებელი სიგნალის ამპლიტუდა $U_{\delta m} = 45$ მვ, მივიღებთ:

$$U_{\delta\vartheta_{\max}} = U_{\delta A} + U_{\delta m} = 240 + 45 = 285\text{მვ}$$

$$U_{\delta\vartheta_{\min}} = U_{\delta A} - U_{\delta m} = 240 - 45 = 195\text{მვ}$$

შესავლის მახასიათებელზე $U_{\delta\vartheta_{\max}} = 285$ მვ-ის მიხევით ვიპოვით $I_{\delta_{\max}} = 500$ მა და $U_{\delta\vartheta_{\min}} = 195$ მვ-ის მიხევით – $I_{\delta_{\min}} = 0,1$ მა=100მკა.

მას შემდეგ, რაც დავადგენთ $I_{\delta_{\max}}$ და $I_{\delta_{\min}}$ მოვძებნით ამ დნების შესაბამის კოლექტორის მახასიათებლებთან დატვირთვის წრფის გადაკვეთის B და C წერტილებს და კოლექტორის დენების მაქსიმალურ და მინიმალურ მნიშვნელობებს.

$$I_{\delta_{\max}} = 9 \text{ ma}; I_{\delta_{\min}} = 2 \text{ ma},$$

მაშინ

$$I_{\delta m} = \frac{9 - 2}{2} = 3.5 \text{ ma.}$$

განვსაზღვროთ R_{ϑ} დატვირთვის წინაღობაზე ცვლადი ძაბვის ვარდნის ამპლიტუდა:

$$U_{mR\vartheta} = U_{m\delta\vartheta} = I_{\delta m} \times R_{\vartheta} = 3.5 \times 10^{-3} \times 0.5 \times 10^3 = 1.75 \text{ v.}$$

გპოულობთ დენის გაძლიერების კოეფიციენტს: $K_I = \frac{I_{\delta m}}{I_{\delta m}}$,

$$\text{სადაც } I_{\delta m} = \frac{I_{\delta \max} - I_{\delta \min}}{2} = \frac{500 - 100}{2} = 0.2 \text{ ას}$$

$$K_I = \frac{3.5}{0.2} = 17.5.$$

მაბვის გაძლიერების კოეფიციენტი იქნება

$$K_u = \frac{U_{mR_Q}}{U_{\delta m}} = \frac{17.5}{45 \times 10^{-3}} = 3.9.$$

$$\text{სიმძლავრის გაძლიერების კოეფიციენტი } K_p = K_u \times K_I = \frac{1.75}{4.5 \times 10^{-3}} = 690.$$

გავნსაზღვროთ მაძლიერებელი კასკადის გამოსავალზე მიღებული ცვლადი სიგნალის სიმძლავრე

$$P_{\delta \alpha \delta} = \frac{I_{\delta m}}{\sqrt{2}} \cdot \frac{U_{mR_Q}}{\sqrt{2}} = \frac{1}{2} I_{\delta m} U_{mR_Q} = \frac{1}{2} \cdot 3.5 \cdot 10^{-3} \cdot 1.75 = 3 \cdot 10^{-3} \text{ ვტ}=3\text{ვტ}.$$

მაძლიერებელი კასკადის კოლექტორული წრედის მიერ კვების წყაროდან მოთხოვნილი სრული სიმძლავრე ეტოლება

$$P_0 = E_\beta \cdot I_{\beta A} = 10.6 \cdot 10^{-3} = 60 \cdot 10^{-3} \text{ ვტ}=60\text{ვტ}.$$

$$\text{მაშინ მაძლიერებელი კასკადის კოლექტორული წრედის მარგი ქმედების კოეფიციენტი ტოლი იქნება } \eta = \frac{P_{\delta \alpha \delta}}{P_0} = \frac{3 \cdot 10^{-3}}{60 \cdot 10^{-3}} = 0,05, \text{ ანუ } \eta = 0,05 \cdot 100 = 5\%$$

$$\text{დენის მუდმივი შემდგენის მიერ კოლექტორზე გამოყოფილი სიმძლავრე } P_{\beta A} = I_{\beta A} U_{\beta A} = 6 \cdot 10^{-3} \cdot 7 = 42 \cdot 10^{-3} \text{ ვტ}=42\text{ვტ}.$$

რადგან $P_{\beta A} = 42 \text{ ვტ} < P_{\beta \max} = 150 \text{ ვტ}$ ტრანზისტორი იმუშავებს ნორმალურად, გადახურების გარეშე.

განვსაზღვროთ მაძლიერებელი კასკადის შესავალი წრედის პარამეტრები:

მაძლიერებელის შესავალი სიმძლავრე:

$$P_{\delta} = \frac{I_{\delta m}}{\sqrt{2}} \cdot \frac{U_{\delta m}}{\sqrt{2}} = \frac{1}{2} I_{\delta m} \cdot U_{\delta m} = \frac{1}{2} \cdot 0,02 \cdot 10^{-3} \cdot 45 \cdot 10^{-3} = 4,5 \cdot 10^{-6} \text{ Вт} = 4,5 \text{ мВт}$$

თუ წანაცვლება განხორციელებულია დაფიქსირებული ბაზის დენიო, მაშინ მაძლიერებელი კასკადის შესავლის წინაღობა

$$R_{\delta} = \frac{U_{\delta m}}{I_{\delta m}} = \frac{45 \times 10^{-3}}{0,2 \times 10^{-3}} = 225 \text{ Ом.}$$

ასეთი წანაცვლების დროს ბაზის დენის სიდიდის განმსაზღვრელი R_{δ} წინაღობა

$$R_{\delta} = \frac{E_{\delta} - U_{\delta A}}{I_{\delta A}} = \frac{10 - 0,24}{0,3 \cdot 10^{-3}} = 32,5 \text{ Ом.}$$

თუ წანაცვლებას განხორციელებთ დაფიქსირებული ბაზის პოტენციალი, მაშინ R_1, R_2 ძაბვის გამყოფი რეზისტორების წინაღობების სიდიდეებს შევარჩევთ შემდეგი გამოსახულების მიხედვით.

$$R_1 = \frac{E_{\delta} - U_{\delta A}}{I_{\delta \text{ამ}} + I_{\delta A}}, \quad R_2 = \frac{U_{\delta A}}{I_{\delta \text{ამ}}},$$

სადაც $I_{\delta \text{ამ}} - \text{ძაბვის გამყოფის მიერ კვების } \frac{U_{\delta A}}{R_1}$ მოთხოვნილი დენია. ჩვეულებრივ აიღება $I_{\delta \text{ამ}} = (0,5 \div 2)I_{\delta \text{ამ}},$

$I_{\delta \text{ამ}} - \text{აიღება} \quad \text{ცნობარიდან} \quad \text{კონკრეტული} \quad \text{ტიპის} \quad \text{ტრანზისტორის. MP42}$
 $\text{ტიპის} \quad \text{ტრანზისტორის} \quad I_{\delta \text{ამ}} = 0,8 \text{ мА.}$

ავიღოთ $I_{\delta \text{ამ}} \approx I_{\delta \text{ამ}} \approx 0,8$. მაშინ

$$R_1 = \frac{10 - 0,24}{0,3 \cdot 10^{-3} + 0,8 \cdot 10^{-3}} = \frac{9,76}{1,1 \cdot 10^{-3}} = 8,8 \cdot 10^3 \text{ Ом} = 8,8 \text{ кОм},$$

$$R_2 = \frac{0,24}{0,8 \cdot 10^{-3}} = 0,3 \cdot 10^3 \text{ Ом} = 0,3 \text{ кОм}$$

ასეთი სახის წანაცვლების შემთხვევაში მაძლიერებელი კასკადის შესავლის წინაღობა

$$R'_{\delta} \approx R_{\delta} // R_2 = \frac{R_{\delta} \cdot R_2}{R_{\delta} + R_2} = \frac{225 \cdot 300}{225 + 300} \approx 130 \text{ Ом}$$

მაძლიერებელი ელემენტის სიგნალის წყაროსთან მაკავშირებელი C_1 გამყოფი კონდენსატორის ტევადობა განისაზღვრება შემდეგი პირობის გათვალისწინებით

$$\frac{1}{\omega_{\min} \cdot C_1} \approx \frac{R_{\text{კბ}}}{10}.$$

ძებულის

$$C_1 = \frac{10}{\omega_{\min} \cdot R_{\text{კბ}}} \approx \frac{1}{2\pi f_{\min} R_{\text{კბ}}}.$$

თუ წანაცვლება განხორციელებულია დაფიქსირებული ბაზის დენიო, მაშინ

$$C_1 = \frac{10}{6,28 \times 80 \times 225} = 90 \cdot 10^{-6} \Omega \approx 90 \text{ pF}$$

როდესაც წანაცვლება განხორციელებულია დაფიქსირებული ბაზის პოტენციალით, მივიღებთ

$$C_1 = \frac{10}{6,28 \times 80 \times 130} = 150 \cdot 10^{-6} \Omega \approx 150 \text{ pF}$$

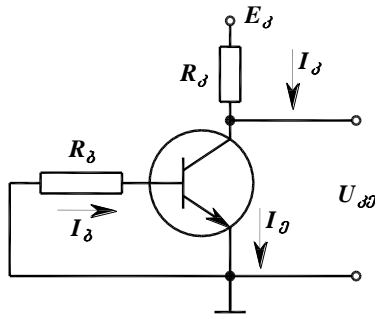
ამოცანები საშინაო დაგალებისათვის:

2.1 შეადგინეთ $p-n-p$ და $n-p-n$ ტიპის ტრანზისტორების საერთო ბაზით ჩართვის სქემები. აჩვენეთ მიერთებული ძაბვების პოლარობები ტრანზისტორის მუშაობის შემდეგი რეჟიმების უზრუნველსაყოფად: а) აქტიური რეჟიმი; б) გაჯერების რეჟიმი; გ) მოკვეთის რეჟიმი. აჩვენეთ თითოეული რეჟიმისთვის ემიტერის, კოლექტორის და ბაზის დენების მიმართულებები.

2.2 $n-p-n$ ტიპის ტრანზისტორი ჩართულია საერთო ბაზით. ძაბვა ემიტერსა და ბაზას შორის $U_{\text{გ}} = -0,5$, ძაბვა კოლექტორსა და ბაზას შორის $U_{\text{კ}} = 12$, განსაზღვრეთ ძაბვა კოლექტორსა და ემიტერს შორის.

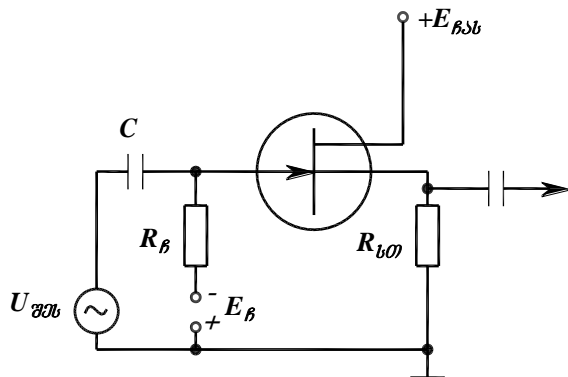
2.3 $p-n-p$ ტიპის ტრანზისტორი ჩართულია საერთო ემიტერით. ძაბვა ბაზასა და ემიტერს შორის $U_{\text{გ}} = -0,8$, ძაბვა კოლექტორსა და ემიტერს შორის $U_{\text{კ}} = -10$. განსაზღვრეთ ძაბვა კოლექტორსა და ბაზას შორის.

2.4 წარმოდგენილ სქემაში გამოყენებულია ტრანზისტორი დენის გადაცემის კოეფიციენტით $\beta = 19$. სქემის ელემენტების მონაცემებია: $R_{\text{გ}} = 50$ კომ; $R_{\text{კ}} = 10$ კომ;

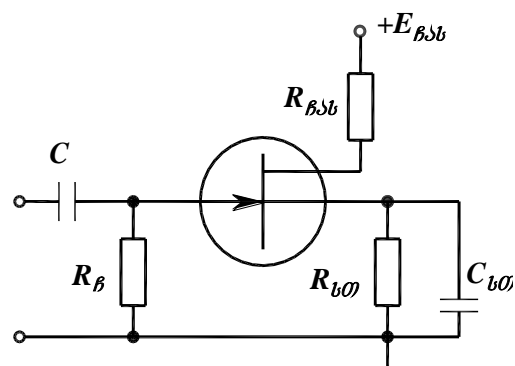


$E_b = 24\text{V}$. განსაზღვრეთ ძაბვა კოლექტორსა და ემიტერს შორის.

2.5 საერთო სათავიანი მამეორებელის ჩასადინარის დენი $I_b = 5\text{mA}$, გადაცემის მახასიათებლის დახრილობა $S = 2\text{dB/g}$; $R_{b0} = 500\text{m}\Omega$; $U_{Rb0} = U_{b0b0}$, განსაზღვრეთ შემდეგი სიდიდეები: K_u, R_{dss}, E_{bss} .

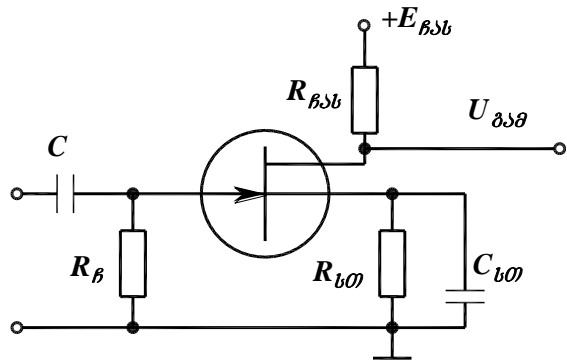


2.6 მაძლიერებელში, რომლის სქემაც ნახაზზეა ნაჩვენები $|U_{b0b0}|=2\text{V}$ დროს ჩასადინარის დენი $I_{bss} = 1\text{mA}$, განსაზღვრეთ: а) R_{bss} რეზისტორის წინაღობა, თუ ძაბვის გარდნას $I_b R_b$ უგულვებელვეოფთ; б) E_b ძაბვა, თუ $R_{b0}=10\text{k}\Omega$ და $U_{b0b0}=4\text{V}$



2.7 n -არხიანი და მმართველი $p-n$ გადასასვლელიანი ველით მართული ტრანზიტორი ჩართულია მაძლიერებელ პასკადში. ტრანზისტორის მოკვეთის ძაბვა

$U_{\text{вт}} = -2 \text{ В}$, ჩასადინარის დენის მაქსიმალური მნიშვნელობა $I_{\text{вт max}} = 1,8 \text{ А}$. ცნობილია, რომ $E_{\text{бат}} = 20 \text{ В}$, $I_{\text{бат}} = 1 \text{ А}$. ძაბვის გაძლიერების კოეფიციენტის მოდული $K_u = 10$. უნდა განისაზღვროს: а) საკეტი – სათავის წანაცვლების ძაბვა $U_{\text{бтв}}$; б) გადაცემის მახასიათებლის S დახრილობა მუშა წერტილში; г) დატვირთვის წინაღობა ჩასადინარის წრედში $R_{\text{бат}}$; იგულისხმეთ რომ ტრანზისტორის შიგა წინაღობა $R_i >> R_{\text{бат}}$ და C კონდენსატორის წინაღობა მუშა სიხშირეზე სიმცირის გამო შეიძლება უგულვებელვყოთ.



2.8. მოახდინეთ საერთო ემიტერით ჩართული ტრანზისტორული მაძლიერებელი კასკადის გრაფო-ანალიზური გაანგარიშება №1 ცხრილის მონაცემების მიხედვით.

Ծրանիկներուն Ծովո	Ցածրաց. եթաք. յուղաց. β	յուղային քասան. լցին I_{δ}	քասային ծածկ լցին U_{δ}	ծածկի մայե. լցին $I_{\delta \max}$	յուղային քաս. խօժացրաց $P_{\delta \max}$
1	2	3	4	5	6
KT301 Բ, Դ	20-60	10δ	20 ₃	0.5δ	150δ ₃ Ը
KT301 Ա, Ե	40-120	10δ	20 ₃	0.25δ	150δ ₃ Ը
KT301 Բ, Շ	10-32	10δ	20 ₃	1δ	150δ ₃ Ը
KT301 Ջ	80-300	10δ	20 ₃	0.125δ	150δ ₃ Ը
KT312 Ա	10-100	30δ	20 ₃	3δ	225δ ₃ Ը
KT312 Բ	25-100	30δ	35 ₃	1δ	225δ ₃ Ը
KT312 Վ	50-280	30δ	20 ₃	1,2δ	225δ ₃ Ը
ГТ308 Ա	20-75	50δ	15 ₃	2,5δ	150δ ₃ Ը
ГТ308 Բ	50-120	50δ	15 ₃	1,0δ	150δ ₃ Ը
ГТ308 Վ	80-200	50δ	15 ₃	0,6δ	150δ ₃ Ը
ГТ309 Ա, Վ, Դ	20-70	10δ	10 ₃	0,5δ	50δ ₃ Ը
ГТ309 Բ, Շ, Ե	60-180	10δ	10 ₃	0,16δ	50δ ₃ Ը
ГТ310 Ա, Վ, Դ	20-70	10δ	6 ₃	0,5δ	20δ ₃ Ը
ГТ310 Բ, Շ, Ե	60-180	10δ	6 ₃	0,16δ	20δ ₃ Ը
ГТ320 Ա	20-80	150δ	15 ₃	7,5δ	200δ ₃ Ը
ГТ320 Բ	50-160	150δ	15 ₃	3δ	200δ ₃ Ը
KT601 Ա	16	30δ	100 ₃	2δ	500δ ₃ Ը
KT802 Ա	15-35	5 ամպերո	60 ₃	0.35 ամպերո	50Ը
KT805 Ա	15	5 ամպերո	100 ₃	0,35աթ	30Ը
KT902 Ա	15	5 ամպերո	100 ₃	0,35աթ	30Ը
KT807 Ա	15-45	0,5 ամպերո	100 ₃	35δ	10Ը
Պ16	20	50δ	12 ₃	2,5δ	200δ ₃ Ը
Պ16 Ա	35	50δ	12 ₃	1,5δ	200δ ₃ Ը
Պ27	20	6δ	5 ₃	0,3δ	30δ ₃ Ը
Պ210	10	12 ամպերո	50 ₃	1,2 ամպերո	45Ը
Պ104	9	10δ	50 ₃	1,1δ	150δ ₃ Ը
Պ105	9	10δ	30 ₃	1,1δ	150δ ₃ Ը
ГТ322 Ա	30-100	10δ	10 ₃	0,35δ	50δ ₃ Ը
ГТ322 Վ	50-120	10δ	10 ₃	0,16δ	50δ ₃ Ը

3. მართვის (საინფორმაციო) ელექტრონიკის ფუნქციური პგანები ინტებრალურ მიკროსემაზე

შესავალი

ყოველი ავტომატური მართვის მოწყობილობა შედგება ურთიერთზემომქმედი ნაწილებისაგან, რომლებიც ანხორციელებენ ინფორმაციის მოპოვებას, გარდაქმნას, გადაცემას, ლოგიკურ დამუშავებასა და გამოყენებას სამართავ ობიექტებზე სათანადო რეაგირების მოსახლენად. ავტომატური მართვის მოწყობილობის შემადგენელ ნაწილებს, რომლებიც ასრულებენ ზემოთ აღნიშნულ ფუნქციებს, ხშირად მოიხსენიებენ ფუნქციური კვანძების სახელწოდებით.

შესავალი და გამოსავალი სიგნალების ხასიათიდან გამომდინარე ავტომატური მართვის მოწყობილობის ფუნქციური კვანძები იყოფა ორ ჯგუფად: ანალოგურ და დისკრეტულ კვანძებად. ეს ფუნქციური კვანძები შეიცავენ რამდენიმე ტიპურ ელექტრონულ ელემენტს. კერძოდ, ანალოგური ფუნქციური კვანძების აწყობა ძირითადად ხორციელდება ინტეგრალური მიკროსქემური შესრულების ოპერაციულ მაძლიერებელის გამოყენებით, ხოლო ლოგიკური ალგორითმის მიხედვით ინფორმაციის დამუშავების დისკრეტული ფუნქციური ელემენტები შესრულებულია ინტეგრალურ ლოგიკურ მიკროსქემებზე.

საკურსო სამუშაო ითვალისწინებს ოპერაციული მაძლიერებლისა და ლოგიკური მიკროსქემების გამოყენებით ზოგიერთი ფუნქციური ელემენტის აგებისა და გაანგარიშების ჩვევების დაუფლებას.

3.1. ოპერაციული მაძლიერებლები და მათი გამოყენების მაგალითები

ოპერაციულ მაძლიერებლებს (**ომ**) უწოდებენ ელექტრული სიგნალების ისეთ მაძლიერებლებს, რომელთა დანიშნულებაა ანალოგურ ელექტრულ სიდიდეებზე სხვადასხვა ოპერაციების შესრულება. თავდაპირველად ოპერაციულ მაძლიერებლებს იყენებდნენ ანალოგურ გამომთვლელ მანქანებში მათემატიკური ოპერაციების შესასრულებლად (შეკრება, გამოკლება, ინტეგრება, დიფერენცირება და სხვა). ისე როგორც ჩვეულებრივი მაძლიერებლები, ოპერაციული მაძლიერებლებიც ახდენდნენ შესავალი სიგნალის ძაბვის, დენის ან სიმძლავრის გაძლიერებას. განსხვავება კი იმაშია, რომ თუ ჩვეულებრივი მაძლიერებლების თვისებები და მაჩვენებლები მთლიანად

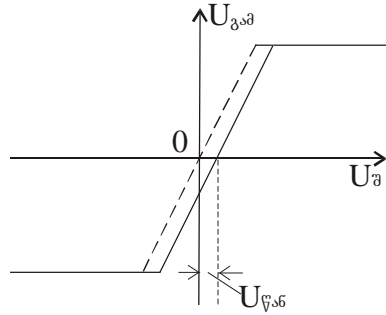
მათ სქემურ შესრულებაზეა დამოკიდებული, ოპერაციულ მაძლიერებლების თვისებები დამოკიდებულია იმ უკუგაგშირის წრედის მახასიათებელზე, რომლითაც ოპერაციული მაძლიერებელია აღჭურვილი ყოველ კონკრეტულ შემთხვევაში. ამიტომ ტრადიციული მათემატიკური ოპერაციების შესრულების გარდა, ოპერაციული მაძლიერებლების გამოყენებით შესაძლებელია მუდმივი და ცვლადი დენის მაძლიერებლების, აქტიური ფილტრების, ჰარმონიული და მართკუთხა რხევების გენერატორების, კომპარატორების და მრავალი სხვა ელექტრონული მოწყობილობის რეალიზაცია.

თანამედროვე ოპერაციული მაძლიერებლები შესრულებულნი არიან ინტეგრალური მიკროსქემის (**იმს**) სახით. მათი ხარისხობრივი მაჩვენებლები მნიშვნელოვნად ჯობნის დისკრეტული ტექნოლოგიის მიხედვით შესრულებული ანალოგის მაჩვენებლებს. ინტეგრალური შესრულების ოპერაციულ მაძლიერებლებს ხშირად განიხილავენ, როგორც მოწყობილობას, რომელიც თავისი თვისებებით უახლოვდება წარმოსახვით იდეალურ მაძლიერებელს.

ინტეგრალური მიკროსქემური შესრულების ოპერაციული მაძლიერებლის მიერ ამა თუ იმ ფუნქციის შესრულების სიზუსტე (ან ცდომილება) დამოკიდებულია გამოყენებული ოპერაციული მაძლიერებლების პარამეტრებზე.

ოპერაციული მაძლიერებლების **იმს** გააჩნია პარამეტრთა დიდი რაოდენობა, რომელთა დაჯგუფება შესაძლებელია მოვახდინოთ შემდეგნაირად: შესავალის პარამეტრები, გამოსავალის პარამეტრები, გადაცემის პარამეტრები, გარდამავალი პარამეტრები და კვების წრედის პარამეტრები.

შესაგალის პარამეტრები. ამ ჯგუფის პარამეტრები დამოკიდებულია **ომ-ის** შესავალი დიფერენციალური კასკადის თვისებებზე. იმის გამო, რომ იდეალურად დაბალანსებული (სიმეტრიული) დიფერენციალური კასკადის მიღება შეუძლებელია, კასკადის ტრანზისტორების ბაზა-ემიტერის გადასასვლელთა საწყისი სიმშვიდის რეჟიმის ძაბვები ერთნაირი სიდიდის არ არის. ამიტომ, შესავალი სიგნალის ნულთან ტოლობის მიუხედავად, ძაბვა კასკადის გამოსავალზე ნულისაგან განსხვავებულია. ეს იმას ნიშნავს, რომ **ომ-ის** ამპლიტუდური (გადაცემის) მახასიათებელი წანაცვლებულია კოორდინატთა სათავის მიმართ (იხ. სურ). აქედან გამომდინარე, **ომ-ის** ერთ-ერთ მნიშვნელოვან პარამეტრს წარმოადგენს ნულის წანაცვლების ძაბვა $U_{\text{წან}} = 0$. ეს არის ძაბვის ის მნიშვნელობა, რომელიც უნდა მიეწოდოს **ომ-ის** შესავალს (ნიშნის გათვალისწინებით), რათა გამოსავალზე ძაბვა გახდეს ნულის ტოლი, როდესაც $U_{\text{წ}} = 0$. ცხადია, იდეალურ ვარიანტში $U_{\text{წან}} = 0$. რეალურ **ომ-ში** $U_{\text{წან}}$ სიდიდე შეიძლება შეადგენდეს რამდენიმე ათეულ მილივოლტს.



U_{βα}. ძაბვა დამოკიდებილია ტემპერატურაზე. ამიტომ შესავალის შემდეგ პარამეტრად მიჩნეულია წანცვლების ძაბვის ტემპერატურული დრეიფი $\frac{\Delta U_{\beta}}{\Delta T}$ $^{\circ}\text{C}$.

იდეალურ თბ-ში $\frac{\Delta U_{\beta}}{\Delta T} = 0$, ხოლო რეალური თბ-ების $\frac{\Delta U_{\beta}}{\Delta T}$ შეიძლება შეადგენდეს

(1÷60) მკგ/გელ.

$$U_{\beta\alpha} \text{ ძაბვა } \text{შესავალ } \text{წრედში } \text{წარმოშობს } \text{დენს } I_{\beta} = \frac{|I_{\beta 1}| + |I_{\beta 2}|}{2}, \text{ რომელსაც}$$

შესავალის დენი ეწოდება.

I_{β} დენთან ერთად პარამეტრად გამოიყენება $\Delta I_{\beta} = I_{\beta 1} - I_{\beta 2}$ დენი, რომელსაც სხვაობის შესავალი დენი ეწოდება. იდეალურ თბ-ში $I_{\beta} = 0$ და $\Delta I_{\beta} = 0$, ხოლო რეალური თბ-ების I_{β} და ΔI_{β} დენები შეიძლება აღწევდეს რამდენიმე ასეულ ნაწილებს (ნა).

ΔI_{β} დენი ტემპერატურაზე დამოკიდებული, ამიტომ თბ-ის შესავალი წრედის პარამეტრად გამოიყენება სხვაობის შესავალი დენის ტემპერატურული დრეიფი

$$\frac{\Delta I_{\beta}}{\Delta T} \text{ } \text{მკ/}^{\circ}\text{C}.$$

თბ-ის შესავალი წრედის მნიშვნელოვანი პარამეტრებია შესავალის წინაღობა დიფერენციალური სიგნალის მიმართ $R_{\beta} = \left| \frac{\Delta U_{\beta\alpha}}{\Delta I_{\beta}} \right|$ (წინაღობა შესასვლელებს შორის მოდებული სიგნალის მიმართ) და შესავლის წინაღობა სინფაზური სიგნალის მიმართ R_{β} ს იდეალური თბ-ის $R_{\beta} = \infty$. რეალური თბ-ის R_{β} შეიძლება შეადგენდეს (0.01 . . . 1000) მგომ.

თბ-ის შესავალის პარამეტრთა ჯგუფს მიეკუთვნება აგრეთვე დიფერენციალური და სინფაზური შესავალი ძაბვები.

გამოსავალის პარამეტრები. ამ ჯგუფის პარამეტრები დამოკიდებულია თბ-ის გამოსავალი კასკადის თვისებებზე.

გამოსავალის ერთ-ერთ ძირითად პარამეტრს წარმოადგენს გამოსავალი დენის მაქსიმალური მნიშვნელობა. ეს არის გამოსავალი დენის დასაშეგი სიდიდე, ძაბვის მაქსიმალური მნიშვნელობისთვის ან დატვირთვის წინაღობის მინიმალური მნიშვნელობის დროს. გამოსავალის პარამეტრთა ჯგუფიდან მეორე მნიშვნელოვან პარამეტრს წარმოადგენს გამოსავალის წინაღობა R_d. იდეალური ომ-ის გამოსავალის წინაღობა R_d=0. თანამედროვე ომ-ების გამოსავალის წინაღობა არ აღემატება რამდენიმე ასეულ ომ-ს.

ომ-ის გამოსავალი წრედის მესამე მნიშვნელოვანი პარამეტრია გამოსავალი ძაბვის მაქსიმალური მნიშვნელობა წრფივი გაძლიერების დიაპაზონში – U_{გამ.მაქ.} თანამედროვე ომ-თა უმრავლესობის $U_{გამ.მაქ.} = (10 \div 11) \text{ ვ}$.

გადაცემის პარამეტრები. ამ ჯგუფში შედის: ა) ძაბვის გაძლიერების კოეფიციენტი $K_{მმ} = \Delta U_{გამ.} / \Delta U_{შდ}$ იდეალური ომ-ის გაძლიერების კოეფიციენტი უსასრულოდ დიდი სიდიდისაა. თანამედროვე ომ-ების გაძლიერების კოეფიციენტი მოთავსებულია ფარგლებში $10^3 \div 10^7$.

ბ) სინფაზური შესავალი ძაბვის შესუსტების კოეფიციენტი, რომელიც ეტოლება დიფერენციალური შესავალი სიგნალის გაძლიერების კოეფიციენტის შეფარდებას სინფაზური სიგნალის გაძლიერების კოეფიციენტთან: $K_{შხინ} = K_{დიფ.} / K_{ხინ}$ იდეალური ომ-ის $K_{ხინ} = \infty$, ხოლო რეალური ომ-ების $K_{ხინ} = (60 \div 120)$ დბ (დბ-დეციბელი).

გ) ერთეული გაძლიერების შესაბამისი სიხშირე. ეს არის გასაძლიერებელი სიგნალის სიხშირის ის კრიტიკული მნიშვნელობა, რომლის დროსაც ომ-ის გაძლიერების კოეფიციენტი მცირდება ერთამდე.

გარდამავალი პარამეტრები. ამ ჯგუფის პარამეტრები ახასიათებენ ომ-ის დინამიკურ თვისებებს. ეს პარამეტრებია: ა) გამოსავალი ძაბვის ზრდის მაქსიმალური სიჩქარე V_{\max} . ეს არის ომ-ის გამოსავალი ძაბვის ცვლილების უდიდესი სიჩქარე შესავალზე მართკუთხა ფორმის სიგნალის მოქმედების დროს. სხვადასხვა ტიპის თანამედროვე ომ-ების V_{\max} შეადგენს $(0.1 \div 100) \text{ ვ/მგვ}$.

ბ) გამოსავალი ძაბვის დამყარების დრო - t დამყ. იგი განისაზღვრება დროის იმ ინტერვალით, რომელიც ესაჭიროება გამოსავალი ძაბვის დამყარებას $0.1 U_{გამ.მაქ.} - \text{დან } 0.9 U_{გამ.მაქ.} - \text{მდე}$, შესასვლელზე ძაბვის ნახტომის დროს.

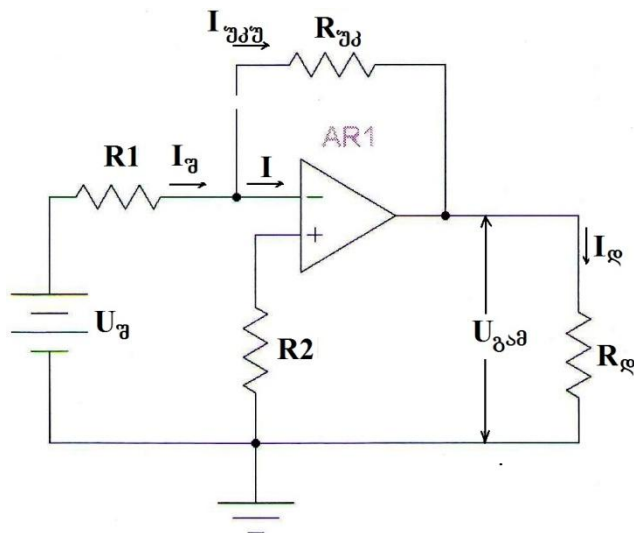
კვების წრედის პარამეტრები. ა) კვების წყარის ძაბვა $\pm E$. ბ) კვების წყაროდან მოთხოვნილი დენი I_o.

ფუნქციური შესაძლებლობების უნივერსალობის გამო, ინტეგრალურ თმ-ებს აქვთ უაღრესად ფართო გამოყენება თანამედროვე ელექტრონიკის მოწყობილობებში. განსაკუთრებით ფართო თმ-ების გამოყენება მაინვერსირებელ, არამაინვერსირებელ მაძლიერებელ და მართვულხა იმპულსთა მიმდევრობის მაფორმირებელ რგოლებად სხვადასხვა დანიშნულების მოწყობილობებში. ქვემოთ მოცემულია ასეთი ფუნქციური დანიშნულებების მქონე ოპერაციულ- მაძლიერებლიანი რგოლების გაანგარიშების მეთოდიკა.

3.1.1. მაინვერსირებელი მაძლიერებელი

მაინვერსირებელი მაძლიერებელი, რომლის სქემაც 3.1 ნახაზე ნაჩვენები, წარმოადგენს უარყოფითი უკუკავშირით აღჭურვილ ოპერაციულ მაძლიერებელს. უარყოფითი უკუკავშირი განხორციელებულია $R_{\text{უპ}}$, R_1 ძაბვის დამყოფით, რომელიც გამოსავალი ძაბვის ნაწილს აწვდის მაინვერსირებელ შესასვლელს. ნულის დაყენებისა და სიხშირული კორექციის წრედები ნახაზე ნაჩვენები არ არის. U_{g} სიგნალი მიერთებულია საერთო სალტესა (ნული) და მაინვერსირებელ შესავალს შორის. არამაინვერსირებელი შესავალი R_2 რეზისტორის საშუალებით მიერთებულია საერთო სალტესთან. დენის დრეიფის შემცირების მიზნით R_2 რეზისტორის წინაღობა უნდა

$$\text{შეირჩეს } \text{შემდეგი \text{პირობის} გათვალისწინებით: } R_2=R_1 \parallel R_{\text{უპ}} = \frac{R_1 \cdot R_{\text{უპ}}}{R_1 + R_{\text{უპ}}}.$$



ნაზ3.1

მაინვერსირებელი მაძლიერებელის გაძლიერების კოეფიციენტი

$$K_{u.o} \approx -\frac{R_{\beta\beta}}{R_{\delta} + R_1} \quad , \quad (3.1)$$

სადაც R_{δ} – სიგნალის წყაროს შიგა წინაღობაა.

დატვირთვა $R_{\beta\beta}$ ჩაირთვება **ომ-ის** გამოსავლის გამომყვანსა და საერთო სალტეს შორის. **ომ-ის** გამოსავალ წრედში გამავალი დენი

$$I_{\beta\beta} = I_{\beta} + I_{\beta\beta} = \frac{U_{\beta\beta}}{R_{\beta}} + \frac{U_{\beta\beta}}{R_{\beta\beta}} . \quad (3.2)$$

გამოსავალი დენის დასაშვები მნიშვნელობა (მითითებულია ყველა ტიპი **ომ-ის** ცნობარში) არ აღემატება რამდენიმე ათეულ მილიამპერს.

იდეალური **ომ-ის** გაძლიერების კოეფიციენტი $K_{u.m} = \infty$, შესავალის წინაღობა $R_{\beta\beta.m} = \infty$, გამოსავალის წნაღობა $R_{\beta\beta.m} = 0$. ამიტომ, თუ ვიგულისხმებთ, რომ გამოყენებული **ომ-ი** იდეალურია, მაშინ მაინვერსირებელი მაძლიერებლის შესავალი წინაღობა იქნება $R_{\beta\beta} = R_1$, ხოლო გამოსავალის წინაღობა $R_{\beta\beta.m} = 0$.

რეალური **ომ-ის** პარამეტრების გათვალისწინებით მაინვერსირებელი მაძლიერებლის შესავლის წინაღობა

$$R_{\beta\beta} = R_1 + \frac{R_{\beta\beta.m} R_{\beta\beta}}{R_{\beta\beta.m} (1 + K_{u.m}) + R_{\beta\beta}} , \quad (3.3)$$

სადაც $R_{\beta\beta.m}$ – **ომ-ის** შესავალის რეალური წინაღობაა;

$K_{u.m}$ – **ომ-ის** გაძლიერების კოეფიციენტის რეალური მნიშვნელობაა.

მაინვერსირებელი მაძლიერებლის გამოსავლის წინაღობა

$$R_{\beta\beta.m} = \frac{K_{\beta\beta}}{K_{\beta\beta.m}} R_{\beta\beta.m} . \quad (3.4)$$

მაინვერსირებელი მაძლიერებლის გაძლიერების კოეფიციენტის დაზუსტებული სიდიდე

$$K_{u.m} = \frac{-\frac{R_{\beta\beta}}{R_1 + R_{\beta}}}{1 + \frac{1}{K_{u.m}} \left(1 + \frac{R_{\beta\beta}}{R_1 + R_{\beta}} + \frac{R_{\beta\beta}}{R_{\beta\beta.m}} \right)} . \quad (3.5)$$

(3.5) გამოსახულება საშუალებას იძლევა დავადგინოთ ერთიდაიგივე ტიპის **ომ-ის** სხვადასხვა ეგზემპლარის $K_{u.m}$ და $R_{\beta\beta.m}$ პარამეტრების გაბნევადობით გამოწვეული $K_{u.m}$ სიდიდის ცდომილება, რომელიც აისახება გამოსავალი ძაბვის სიდიდეზე.

ცდომილებას, გამოსავალი ძაბვის სიდიდის დაფიქსირებისას, იწვევს აგრეთვე ნულის წანაცვლების ძაბვა – $U_{\beta\beta}$. მაინვერსირებელი მაძლიერებლის სტატიკური ცდომილების ძაბვა გაინისაზღვრება გამოსახულებიდან

$$U_{\text{заг.}} = U_{\text{в}} \left(1 + \frac{R_{\text{в}}}{R_1} \right) + I_{\delta 01} \left(1 + \frac{R_{\text{в}}}{R_1} \right) R_2 - I_{\delta 02} R_{\text{в}}, \quad (3.6)$$

სადაც $I_{\delta 01}$, $I_{\delta 02}$ – ინტეგრალური მიკროსქემის შესავალი დიფერენციალური კასკადის ტრანზისტორების ბაზის დენებია სიმშვიდის რეჟიმში.

$$\text{თუ } \text{შესრულებული } \text{იქნება } \text{პირობა } R_2 \left(1 + \frac{R_{\text{в}}}{R_1} \right) = R_{\text{в}}, \text{ ე.ნ. } R_2 = R_1 || R_{\text{в}}, \text{ მაშინ}$$

$$U_{\text{заг.}} = U_{\text{в}} (1 + |K_{\text{в}}|) + \Delta I_{\text{в}} R_{\text{в}}.$$

მაინვერსიორებული მაძლიერებლის სტატიკური ცდომილების ძაბვა დამოკიდებულია ტემპერატურაზე, რის გამოც ადგილი აქვს მაძლიერებლის გამოსავალი ძაბვის დრეიფს. გამოსავალი ძაბვის დრეიფი, ტემპერატურის ^{10}C -ით შეცვლის დროს, შეიძლება განისაზღვროს გამოსახულებიდან

$$\frac{\Delta U_{\text{заг.}}}{\Delta T} = \frac{\Delta U_{\text{в}}}{\Delta T} (1 + |K_{\text{в}}|) + \frac{\Delta I_{\text{в}}}{\Delta T} R_{\text{в}}, \quad (3.7)$$

სადაც $\frac{\Delta U_{\text{в}}}{\Delta T}$ – წანაცვლების ძაბვის დრეიფია;

$$\frac{\Delta I_{\text{в}}}{\Delta T} – \text{სხვაობითი დენის დრეიფი.}$$

ეს სიდიდეები თბ-ის პარამეტრებია და მოცემულია ცნობარებში

მაინვერსიორებული მაძლიერებლის დამატებითი ცდომილება წარმოიქმნება სქემის კვების წყაროს ძაბვის ცვლილების გამო. კვების წყაროს გავლენის შესაფასებლად შემოაქვთ კვების ძაბვის გავლენის შესუსტების კოეფიციენტი $K_{\text{жг}}$, რომელიც თბ-ის პარამეტრია და მოცემულია ცნობარებში. $K_{\text{жг}}$ კოეფიციენტი წარმოადგენს კვების ძაბვის ნაზრდის შეფარდებას მის მიერ გამოწვეულ წანაცვლების ძაბვის ნაზრდთან, ე.ი.

$$K_{\text{жг}} = 20 \ell g \frac{\Delta E_{\text{в}}}{\Delta U_{\text{в}}}.$$

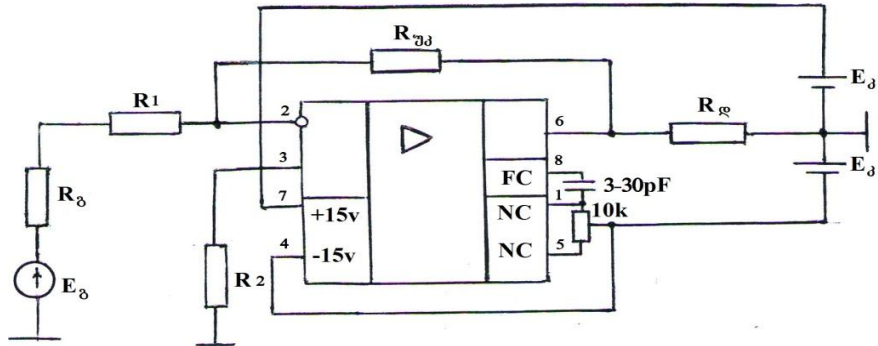
მაგალითი

გავიანგარიშოთ მაინვერსიორებული მაძლიერებლი მაკრული **KP140UD7** ტიპის თკერაციული მაძლიერებლის გამოყენებით. გადაცემის კოეფიციენტი $K_{\text{в}}=10$. დატვირთვის წინადობა $R_{\text{д}}=5$ კომ. შესავალის წინადობა არაა ნაკლები 10 კომ. – უ. მაძლიერებლი მუშაობს სიგნალის წყაროზე, რომლის ემდ $E_{\text{д}}=0,2$ ვ და შიგაწინადობა $R_{\text{д}}=1$ კომ.

განვსაზღვროთ მაძლიერებლის შესავალზე დაყვანილი ფარდობითი სტატიკური ცდომილება და დრეიფი, თუ $\Delta T = 20^\circ\text{C}$ და კვების წყაროს არასტაბილობა არის $\pm 10\%$.

ამონანა

პირველ რიგში შევადგინოთ მაინვერსირებელი მაძლიერებლის პრინციპული სქემა KP140UD7 ტიპის ინტეგრალური მიკროსქემის პაზაზე.



გავიანგარიშოთ მიკროსქემაზე დამატებული გარეშე ელემენტების (კიდული ელემენტების) პარამეტრები. ეს ელემენტებია: $R1$, $R2$ და R_{3d} რეზისტორები. როგორც ცნობილია მაინვერსირებელი ოპერაციული მაძლიერებლის ძაბვის გაძლიერების კოეფიციენტი $K_{uo} = -\frac{R_{3d}}{R1 + R_{3d}}$. მოცემულობის თანახმად $R_{3d} = R1 = 10$

$$\text{კომ. მაშინ } R_{3d} = |K_{uo}|(R1 + R_{3d}) = 10(10 + 1) = 110 \text{ კომ.}$$

გამოსავალი ძაბვის დრეიფის შემცირების მიზნით $R2$ რეზისტორის წინაღობის სიდიდეს შევირჩევთ შემდეგი გამოსახულების გამოყენებით

$$R_2 = (R1 + R_{3d}) \parallel R_{3d} = \frac{(R1 + R_{3d})R_{3d}}{R1 + R_{3d} + R_{3d}} = \frac{(10 + 1)110}{10 + 1 + 110} = 10 \text{ კომ.}$$

კიდული ელემენტების მოცემული პარამეტრების დროს თბილი გამოსავალი დენის სიდიდე იქნება

$$I_{3d} = \frac{U_{3d}}{R_{3d}} + \frac{U_{3d}}{R_{3d}} = |K_{uo}| \cdot E_{3d} \left(\frac{1}{R_{3d}} + \frac{1}{R_{3d}} \right) = 10 \cdot 0,2 \left(\frac{1}{5 \cdot 10^3} + \frac{1}{110 \cdot 10^3} \right) = 0,42 \cdot 10^{-3} \text{ A} = 0,42 \text{ მაზ.}$$

ვინაიდან მოცემული ოპერაციული მაძლიერებლის გამოსავალი დენის მაქსიმალური მნიშვნელობა 20 მაზ. ტოლია, იგი იმუშავებს ნორმალურ თერმულ რეჟიმში.

შეგაფასოთ მაძლიერებლის შესავალზე დაყვანილი გამოსავალი ძაბვის დრეიფი. ვიყენებოთ გამოსახულებას

$$e_{\text{ღღ}}^{\beta} = \frac{\Delta U_{\text{გამცვლ}}}{\Delta T K_{uo}} = \frac{\Delta U_{\text{v}}}{\Delta T} + \frac{\Delta \Delta I_{\beta}}{\Delta T} (R_1 + R_{\beta}),$$

სადაც $\frac{\Delta U_{\text{v}}}{\Delta T}$ – წანაცვლების ძაბვის ტემპერატურული დრეიფისა და $\frac{\Delta I_{\beta}}{\Delta T}$ – შესავალი დენების სხაობის დენის ტემპერატურული დრეიფის მნიშვნელობებს ავიდებო ცნობარიდან (ცხრილი 2, დანართი 3).

$$\frac{\Delta U_{\text{v}}}{\Delta T} = 6 \partial \beta \delta /^0 C, \quad \frac{\Delta \Delta I_{\beta}}{\Delta T} = 0,4 \delta \delta /^0 C = 0,4 \cdot 10^{-3} \partial \beta \delta /^0 C.$$

$$\text{მაშინ } e_{\text{ღღ}}^{\beta} = 6 + 0,4 \cdot 10^{-3} \cdot (1+10) \cdot 10^3 = 10,4 \partial \beta \delta /^0 C.$$

ვანგარიშობთ მაძლიერებლის ფარდობით სტატიკურ ცდომილებას შემდეგი გამოსახულებიდან

$$\delta_{\text{ხხ}} = \frac{\Delta K_{uo}}{K_{uo}} + \frac{\Delta U_{\text{გამცვლ}}}{K_{uo} U_{\text{გვლ}} \max},$$

სადაც ΔK_{uo} – გაძლიერების კოეფიციენტის (ΔK_{uo}) ცვლილებაა გარემოს ტემპერატურის შეცვლის დროს.

მაძლიერებლის გამოსავალზე მიღებული ცდომილების ძაბვის სიდიდე

$$\Delta U_{\text{გამცვლ}} \approx \Delta U_{\text{გამცვლ}}^{\Delta T} + \Delta U_{\text{გამცვლ}}^{\Delta E_{\beta}},$$

სადაც $\Delta U_{\text{გამცვლ}}^{\Delta T}$ – გამოსავალი ძაბვის ცვლილებაა გარემოს ტემპერატურის ΔT სიდიდით შეცვლის დროს;

$\Delta U_{\text{გამცვლ}}^{\Delta E_{\beta}}$ – გამოსავალი ძაბვის ცვლილებაა კვების წყაროს ძაბვის შეცვლისას.

$$\Delta U_{\text{გამცვლ}}^{\Delta T} = e_{\text{ღღ}}^{\beta} \cdot \Delta T = 10,4 \cdot 20 \cdot 10 = 2080 \partial \beta \delta /^0 C = 2,08 \partial \beta \delta /^0 C.$$

გამოსავალ ძაბვაზე კვების წყაროს ძაბვის ცვლილების გავლენის განსაზღვრას

გახდენთ კვების ძაბვის გავლენის შესუსტების კოეფიციენტის $K_{\text{გვლ}} = 20 \ell g \frac{\Delta E_{\beta}}{\Delta U_{\text{v}}}$

გამოყენებით, რომელიც მოცემულია თბ-ის ინტეგრალური მიკროსქემის ცნობარებში და მოთავსებულია $(60 \div 80)$ დეციბელის ფარგლებში. მოცემული ტიპის მიკროსქემის

$$K_{\text{გვლ}} = 60 \text{ ღბ}, \text{ რაც იმას ნიშნავს, რომ } \frac{\Delta E_{\beta}}{\Delta U_{\text{v}}} = 10^3. \text{ აქედან } \Delta U_{\text{v}} = \frac{\Delta E_{\beta}}{10^3}.$$

მოცემულობის თანახმად კვების წყაროს ძაბვა იცვლება $\pm 10\%$ – ის ფარგლებში. მაშინ კვების წყაროს ძაბვის ცვლილების სრული დიაპაზონი იქნება

$$\Delta E_{\text{v}} = \frac{E_{\text{v}} \cdot 2 \cdot 10}{100} = \frac{15 \cdot 20}{100} = 3 \text{ J.}$$

მაშინ

$$\Delta U_{\text{v}} = \frac{3}{10^3} = 3 \text{ дж.}$$

მაშასადამე, კვების წყაროს ძაბვის $\pm 10\%$ – ით ცვლილება გამოიწვევს გამოსავალი ძაბვის

$$\Delta U_{\text{გამცვლი}}^{\Delta E_{\text{v}}} = \Delta U_{\text{v}} | K_{uo} | = 3 \cdot 10 = 30 \text{ дж}$$

შეცვლას.

ამრიგად, მაძლიერებლის გამოსავალზე მიღებული ცდომილების ძაბვის სიდიდე იქნება

$$\Delta U_{\text{გამცვლი}} = 2,08 + 30 = 32,08 \text{ дж},$$

მაძლიერებლის ფარდობითი სტატიკური ცდომილების გამოსახულებში შემავალი პირველი შესაკრები განისაზრვობა ომ-ის გაძლიერების კოეფიციენტის ტემპერატურული გრადიენტით, რომელიც სხვადასხვა ტიპის მიკროსქემებისათვის შეადგენს:

$$\frac{\Delta K_{uo}}{K_{uo} \Delta T} = (0,2 \div 0,4) \cdot 10^{-2} \text{ } 1/^\circ C.$$

შევირჩოთ

$$\frac{\Delta K_{uo}}{K_{uo} \cdot \Delta T} = 0,4 \cdot 10^{-2} \text{ } 1/^\circ C.$$

ობის უპარაგმირის წრედით აღჭურვისას, მაინვერსირებელი მაძლიერებლის სქემაში $\Delta T = 20^\circ C$ დროს გვექნება

$$\frac{\Delta K_{uo}}{K_{uo}} = \frac{\Delta K_{uo}}{K_{uo} \cdot \Delta T} \cdot \frac{\Delta T}{K_{uo}/K_{uo}} = \frac{0,4 \cdot 10^2 \cdot 20 \cdot 10}{50 \cdot 10^3} = 0,16 \cdot 10^{-4}$$

მაშასადამე, საერთო სტატიკური ცდომილება ეტოლება

$$\delta_{b_0} = 0,16 \cdot 10^{-4} + \frac{32,08 \cdot 10^{-3}}{10 \cdot 0,2} = 0,16 \cdot 10^{-4} + 16,04 \cdot 10^{-3} = 16,056 \cdot 10^{-3}.$$

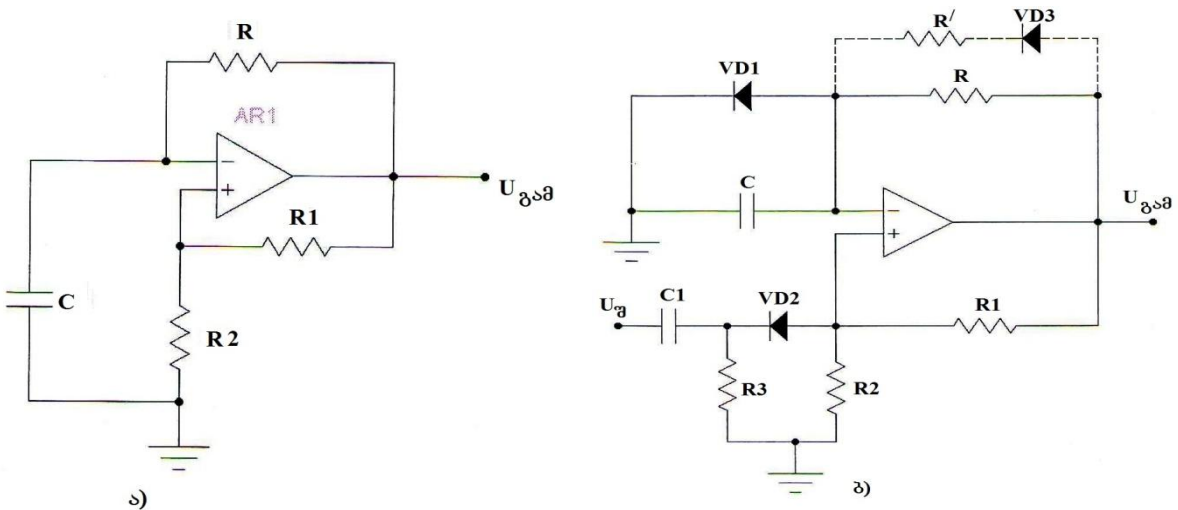
$$\delta\% = 1,6.$$

3.1.2. მართვულისა იმპულსობრივი მიმღებრობის მაფორმირებელი რბოლი (მულტიპლიკატორი)

მულტიპლიბრატორი არის ელექტრონული გენერატორი, რომელიც მუდმივი ძაბვის მქონებაზე წყაროს ენერგიის ხარჯზე გამოიმუშავებს მართვულის ფორმასთან მიახლოებულ რხეებს. არსებობს თვითაღგზნებადი და მომლოდინე რეჟიმში მომუშავე მულტიპლიბრატორები.

პირველი სახის მულტიპლიბრატორი მუდმივი ძაბვის წყაროსთან მიერთებისთანავე გამოიმუშავებს რხეებს მართვულის ფორმის იმპულსთა მიმდევრობის სახით. მეორე სახის მულტიპლიბრატორში გამოსავალზე მართვულის იმპულსური ხასიათის სიგნალი გამომუშავდება სხვა წყაროდან მოსული იმპულსური სიგნალის ზემოქმედების შედეგად. ამ სახის მულტიპლიბრატორი ელოდება გარეშე სიგნალს და ყოველი ასეთი სიგნალის მოსვლის შედეგად მის გამოსავალზე წარმოიქმნება ერთი, მართვულის ფორმის, იმპულსური სიგნალი. ამიტომ ამ სახის მულტიპლიბრატორს ერთვიბრატორსაც უწოდებენ.

მულტიპლიბრატორები ადვილად რეალიზებადია ოპერაციული მაძლიერებლის ბაზაზე. ამისათვის საჭმარისია **თბ-ის** მიკროსქემაზე რამდენიმე გარეშე კომპონენტის დამატება. 3.2 ნახაზზე ნაჩვენებია თვითაღგზნებადი და მომლოდინე რეჟიმში მომუშავე



ნახ.3.2

მულტიპლიბრატორების სქემური აგების პრინციპი თანამდებობს მაძლიერებლის გამოყენებით.

მაინვერსიორებელი მაძლიერებლისგან განსხვავებით, სადაც **ობ-ს** მუშაობა უხდება წრფივი გაძლიერების რეჟიმში, მულტივიბრატორებში **ობ** მუშაობს გადართვების, კერძოდ, კომპარატორის რეჟიმში. **ობ-ის** მაინვერსიორებელ და არამაინვერსიორებელ შესასვლელებზე პოტენციალთა გატოლების მომენტში იგი გადაირთვება დადებითი ან უარყოფითი გაჯერების მდგომარეობაში და გამოსასვლელზე აღმოჩნდება ან +Uგამთაx, ანდა -Uგამთაx.

თვითაღგზნებად მულტივიბრატორში (ნახ3.2,ა) **ობ-ის** არამაინვერსიორებელ შესასვლელზე R1, R2 ძაბვის დამყოფით მიეწოდება უკუკავშირის ძაბვა

$$U_{\text{ვ}} = \pm \frac{R_2}{R_1 + R_2} U_{\text{გამ.მაx}},$$

და განხორციელებულია დადებითი უკუკავშირი. მაინვერსიორებელ შესასვლელზე კი მოქმედებს C კონდენსატორის დამუხტვა – განმუხტვის პროცესში არსებული ძაბვა. C კონდენსატორის ძაბვის უკა-ის ძაბვასთან ყოველი გატოლების დროს მულტივიბრატორი გადაირთვება ერთი კვაზიტონასწორული მდგომარეობიდან მეორე კვაზიტონასწორული მდგომარეობაში და გამოსავალზე ჩამოყალიბდება მართკუთხა ფორმის რხევითი ძაბვა. ამ ძაბვის სიხშირე პირველ რიგში განისაზღვრება $\tau=RC$ დროის მუდმივათი. სიმეტრიული მულტივიბრატორის გამოსავალი ძაბვის სიხშირე

$$f = \frac{1}{2RC\ln(1+2R_2/R_1)}. \quad (3.8)$$

თვითაღგზნებად მულტივიბრატორისაგან განსხვავებით, მომლოდინე მულტივიბრატორის (ნახ3.2,ბ) გამოსავალზე მართკუთხა ფორმის იმპულსი ჩამოყალიბდება მხოლოდ იმ შემთხვევაში, თუ შესავალზე მოქმედებს ე.წ. გამშვები იმპულსი. ამ იმპულსის მოქმედებამდე სქემა იმყოფება მდგრადი წონასწორობის მდგომარეობაში და გამოსავალზე არსებობს +Uგამთაx ძაბვა. **VD1** დიოდი და მდგომარეობაშია და მაინვერსიორებელ შესასვლელზე მოქმედებს რამდენიმე მეათედი ვოლტის ტოლი ძაბვა (დია დიოდზე პირდაპირი ძაბვის ვარდნა). უარყოფითი გამშვები იმპულსის ზემოქმედების შემდეგ გაიღება **VD2** დიოდი და **ობ-ის** გამოსავალზე აღმოჩნდება $-U_{\text{გამ.მაx}}$ ძაბვა. ამის გამო, ჩაიკეტება **VD1** დიოდი, ხოლო C კონდენსატორი იწყებს დამუხტვას ექსპონენციალური კანონით $\tau=RC$ დროის მუდმივას შესაბამისი სიჩქარით. როდესაც კონდენსატორის ძაბვა (ე.ი. ძაბვა მაინვერსიორებელ შესავალზე) აბსოლიტური სიდიდით გადააჭარბებს არამაინვერსიორებელ შესავალზე მოქმედი უკუკავშირის ძაბვის აბსოლუტურ სიდიდეს, სქემა უბრუნდება საწყის მდგომარეობას (ე.ი. **ობ-ის** გამოსავალზე კვლავ აღმოჩნდება $+U_{\text{გამ.მაx}}$ ძაბვა). მაშასადამე, გამშვები იმპულსის ზემოქმედებისას სქემა ახალ მდგომარეობას ინარჩუნებს მხოლოდ გარკვეული დროის მანძილზე, რის შემდეგაც იგი

უბრუნდება საწყის მდგომარეობას. ამიტომ გამშვები იმპულსის ზემოქმედებისას წარმოქმნილ ახალ მდგომარეობას კვაზი მდგრადი მდგომარეობა ეწოდება. კვაზიმდგრადი მდგომარეობის დროს სქემის გამოსავალზე ჩამოყალიბდება მართკუთხა ფორმის იმპულსი, რომლის ხანგძლიობა $\tau=RC$ დროის მუდმივას პროპორციულია. გამოსავალი იმპულსის ხანგძლივობა

$$t_{\text{obj}} \approx RC \left(1 + \frac{R_2}{R_1} \right). \quad (3.9)$$

კვაზიმდგრადი მდგომარეობის შემდეგ სქემა ბრუნდება საწყის მდგრად მდგომარეობაში (აღიდგენს საწყის მდგომარეობას). საწყისი მდგომარეობის აღდგენის დრო

$$t_{\text{reg}} \approx RC \ln \left(1 + \frac{R_2}{R_1 + R_2} \right). \quad (3.10)$$

ნახაზზე ნაჩვენები **VD1** დიოდის ჩართვის მიმართულების შემთხვევაში სქემის გაშვება ხდება უარყოფითი პოლარულობის შესავალი იმპულსით. თუ **VD1** დიოდი საწინააღმდეგო მიმართულებით ჩაირთვება, მაშინ საჭირო იქნება დადებითი პოლარულობის გამშვები იმპულსის მიწოდება, რასაც შეესაბამება გამოსავალზე მიღებული იმპულსის პოლარულობის შეცვლა.

სქემის ნორმალური ფუნქციონირებისათვის აუცილებელია t აღდ ნაკლები იყოს $\left(\frac{1}{f_{\text{max}}} - t_{\text{obj}} \right)$ სიდიდეზე, სადაც f_{max} გამშვები იმპულსების მაქსიმალური სიხშირეა. იმ შემთხვევაში როდესაც t_{obj} ტოლია ან აღემატება გამშვები იმპულსების პერიოდს, აუცილებელია (3.10) გამოსახულებაში $\tau=RC$ დროის მუდმივას შემცირება. ამ მიზნით R რეზისტორის პარალელურად რთავენ R' რეზისტორსა და **VD3** დიოდს, რომელიც დიად მხოლოდ აღდგენის ეტაპზე. ამ შემთხვევაში $\tau = C(R \parallel R')$. რაც შეეხება t_{obj} -ს ის უცვლელი რჩება.

მაგალითი 1

გავიანგარიშოთ თვითაღგზნებადი მულტივიბრატორი ოპერაციულ მაძლიერებელზე, რომელიც გამოიმუშავებს ნიშანცვლად მართკუთხა იმპულსურ ძაბვას: ამპლიტუდით $U_{\text{g}} \geq 3$ და სიხშირით $f = 10 \text{ kHz}$. დატვირთვის წინაღობა $R_{\text{f}} = 10 \text{ k}\Omega$.

ამონენა

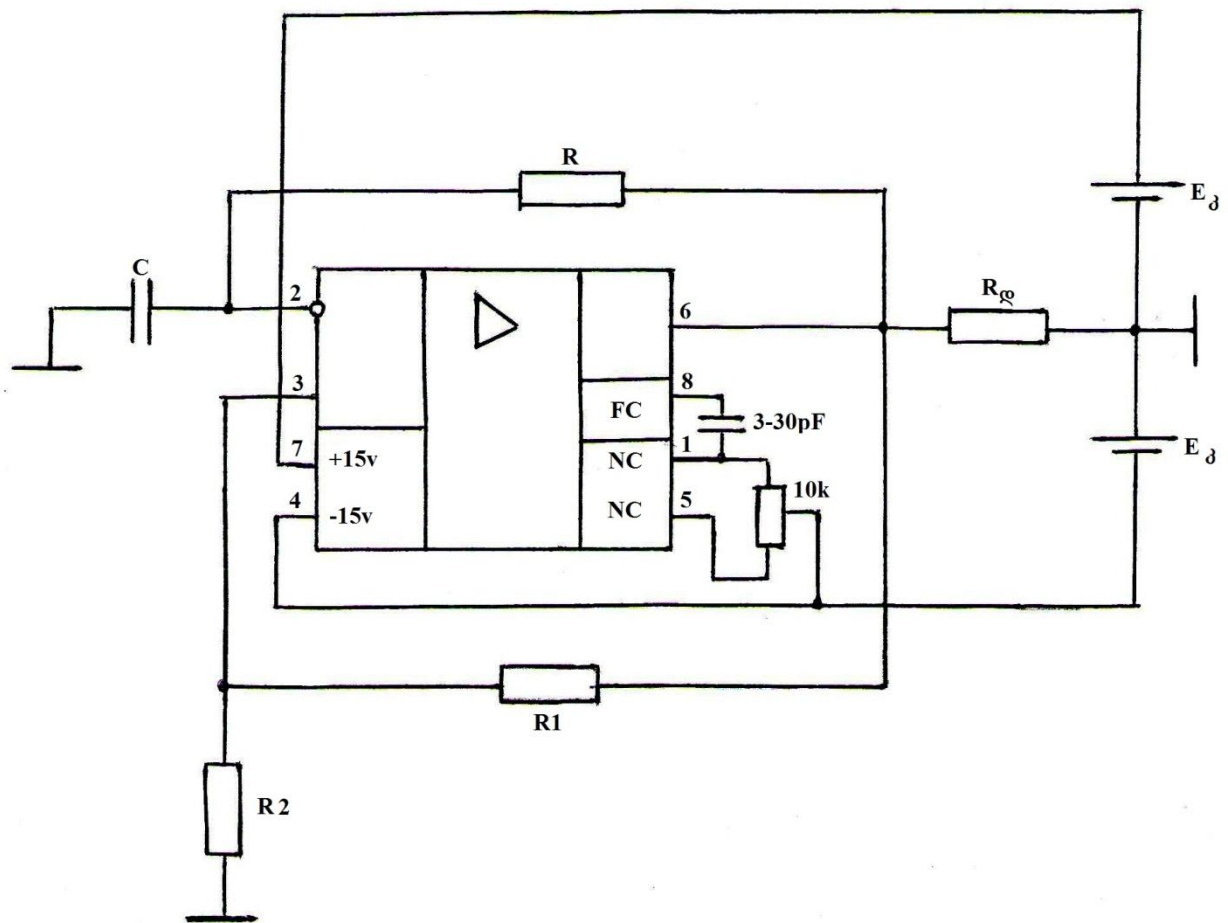
პირველ რიგში უნდა შევარჩიოთ ოპერაციული მაძლიერებლის ტიპი. ოპერაციული მაძლიერებლის ტიპის შერჩევისას უნდა ვიხელდებოდეთ შემდეგი ორი პირობით:

$$1) U_{\text{გამ}} > U \text{ გამ}; \quad 2) 2U_{\text{გამ, max}} / 0.1 \frac{T}{2} < V_{u \text{ max}}$$

მოცემულობის თანახმად: $U \text{ გამ} = 8\text{V}$; $T=1/f=1/10^4=0.0001\text{V}^2=100\text{გვ}\text{V}^2$.

მაშინ, თუ შევირჩევთ K140УД7 ტიპის ოპერაციულ მაძლიერებელს, რომლის გამოსავალი ძაბვის მაქსიმალური მნიშვნელობა $U_{\text{გამ, max}}=11.5\text{V}$, ხოლო $V_{\text{გამ, max}}=10\text{V}/\text{გვ}\text{V}$, ორივე პირობა შესრულდება, რადგან $2U_{\text{გამ, max}} / 0.1 \cdot (T/2)=(2 \cdot 11)/(0.1 \cdot 50) = 4.4 \text{ V}/\text{გვ}\text{V} < V_{\text{გამ, max}}=10\text{V}/\text{გვ}\text{V}$.

ოპერაციული მაძლიერებლის ტიპის შერჩევის შემდეგ საჭიროა მულტივიბრატორის სქემის შედგენა და თმის მიკროსქემაზე დამატებული სქემური კომპონენტების პარამეტრების განსაზღვრა.



R , $R1, R2$ კიდული რეზისტორების წინადობებს ვირჩევთ შემდეგი პირობის გათვალისწინებით: $R_{\text{მო}} >> R$; $\frac{R_2}{R_2 + R_1} \ll 1$ და $R_2 >> R_{\text{გამო}}$. რადგან $R_{\text{მო}} = 400 \text{ } \Omega$,

ავიდოთ $R = 10 \text{ } \Omega$. რადგან $R_{\text{გამო}} = 700 \text{ } \Omega$, ავიდოთ $R_2 = 10 \text{ } \Omega$, ხოლო $\frac{R_2}{R_2 + R_1} \ll 1$

პირობიდან გამომდინარე, ავიდოთ $R1 = 10 \text{ } \Omega$ $R2 = 100 \text{ } \Omega$.

ვიპოვოთ ოპერაციული მაძლიერებლის გამოსავალის დენი $I_{\text{გამო}} = I_{\text{cmax}} + I_{\text{f}} + I_{\text{d}}$. კონდენსატორის გადამუხტვის დენის მაქსიმალური მნიშვნელობა

$$I_{\text{cmax}} = \frac{\left(1 + \frac{R_2}{R_1 + R_2}\right) U_{\text{გამ. max}}}{R} = \frac{\left(1 + \frac{10}{110}\right) 11,5}{10} = 1.25 \text{ A}$$

$R1, R2$ რეზისტორებში გამავალი წანაცვლების დენი

$$I_{\text{წან}} = \frac{U_{\text{გამ. max}}}{R_1 + R_2} = \frac{11,5}{100 + 10} = 0.104 \text{ A}.$$

დატვირთვაში გამავალი დენი

$$I_{\text{ღ}} = \frac{U_{\text{გამ. max}}}{R_{\text{ღ}}} = \frac{11,5}{10} = 1.15 \text{ A}.$$

მაშასადამე, $I_{\text{გამ.ომ}} = 1.25 + 0.104 + 1.15 = 2.504 \text{ A}$

რადგან შერჩეული თბ-ის გამოსავალის დენის დასაშვები სიდიდე 20 მა-ის ტოლია, კიდული ელემენტების პარამეტრები სწორადაა შერჩეული. იმ შემთხვევაში, თუ $I_{\text{გამ.ომ}} = 1.25 \text{ A}$ და $I_{\text{წან}} = 0.104 \text{ A}$ და $I_{\text{ღ}} = 1.15 \text{ A}$ არის დაბალი, მაშინ უნდა გაიზარდოს $R, R1, R2$ რეზისტორების წინადობები ან შეირჩეს სხვა თბ-ი.

ახლა ვიპოვოთ გამოსავალი ძაბვის სიხშირის განმსაზღვრელი C კონდენსატორის ტემპერატურული ცვლილება

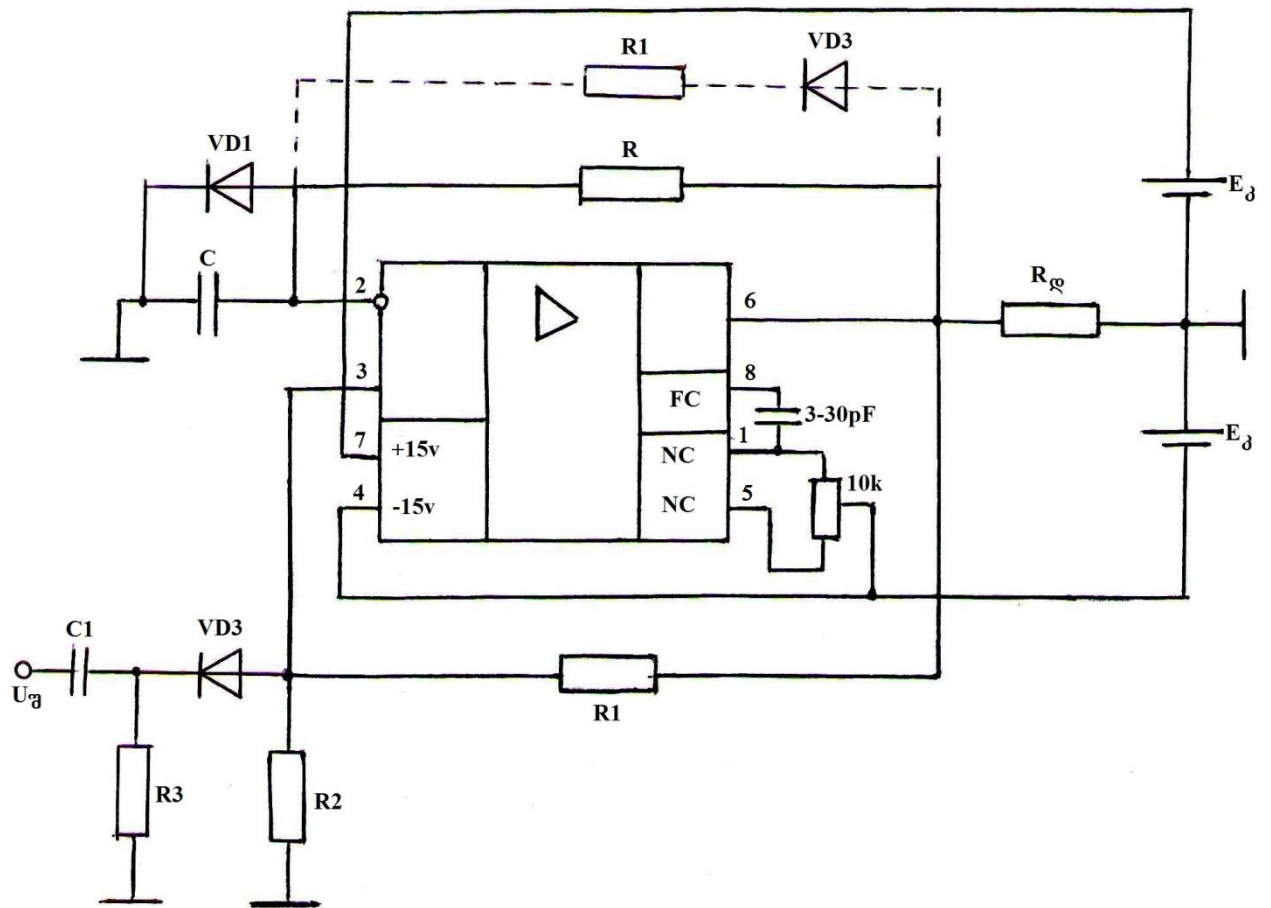
$$C = \frac{1}{2fR \ln(1 + 2R_2 / R_1)} = \frac{1}{2 \cdot 10 \cdot 10^3 \cdot 10 \cdot 10^3 \ln(1 + \frac{2 \cdot 10}{100})} = 27 \text{ pF}.$$

მაბალითი 2

გავიანგარიშოთ მომლოდინე მულტივიბრატორი ოპერაციული მაძლიერებლის გამოყენებით, რომელიც გამოსავალზე იძლევა 20 ვ ამპლიტუდის და $t_{\text{დ}} = 25 \text{ } \mu\text{s}$ ხანგძლივობის უარყოფითი ნიშნის იმპულსურ ძაბვას, თუ შესავალზე მოქმედებს $f_{\text{max}} = 33 \text{ } \text{kHz}$ სიხშირის ხანმოკლე გამშვები იმპულსური სიგნალი. დროის დამკვეთი C

კონდენსატორის მაშუნტებელ VD1 დიოდზე და მდგომარეობის დროს ძაბვა 0.6 ვ-ს გოლია.

ამონია



პირველ რიგში უნდა შეირჩეს ოპერაციული მაძლიერებლის ტიპი. შერჩეულმა ოპერაციულმა მაძლიერებელმა უნდა დააკმაყოფილოს შემდეგი ორი პირობა :

- 1) $U_{\text{გამ.ომ}} \geq U_{\text{გამ}} / 2$;
- 2) $2U_{\text{გამmax}} / 0.1t_{\text{ომ}} < V_{\text{უგამ.ომ}}$.

შევირჩიოთ K140УД7 ტიპის ოპერაციული მაძლიერებელი, რომლის $U_{\text{გამmax}} = \pm 11.5$ ვ, ე.ი. სრულდება პირველი პირობა $11.5 > 20/2$. ასევე სრულდება მეორე პირობაც, რადგან

$$\frac{2U_{\text{გამmax}}}{0.1 \cdot t_{\text{ომ}}} = \frac{2 \cdot 11.5}{0.1 \cdot 25} = 9.2 \text{ ვ/მ}^2 \text{ მ}, \quad \text{ხოლო } \text{შერჩეული } \text{ომ} = \text{ის}$$

გამოსავალი ძაბვის ზრდის სიჩქარე $V_{\text{უგამ.ომ}} = 10$ ვ/მ² მ. შევირჩიოთ R_2 , $R1$, $R2$ კიდული რეზისტორის წინაღობები, რომლებიც უნდა აკმაყოფილებდნენ პირობებს: $R_{\text{შომ}} >> R$,

$$R_2 > R_{\text{გამ.ომ}}, \quad \frac{R_2}{R_2 + R_1} \ll 1. \quad \text{ცნობარიდან} \quad \text{დავადგენთ, რომ} \quad R_{\text{შომ}} = 400 \text{ მ} \text{მ},$$

$R_{\text{გამ.ომ}} = 700$ მ. მაშინ, შეგვიძლია ავიდოთ

$$R=R_2=10\text{Ω}; R_1=100\text{Ω}.$$

ვიპოვოთ რეზისტორების შერჩეული პარამეტრების მიხედვით **ობ-ის** გამოსავალი დენი. იგი ნაკლები უნდა იყოს **ობ-ის** გამოსავალი დენის მაქსიმალურად დასაშვებ მნიშვნელობაზე, რომელიც ცნობარის მიხედვით 20 მა-ის ტოლია.

თუ ვიგულისხმებთ, რომ დატვირთვის წრედი გაწყვეტილია ($R_{\infty}=\infty$), მაშინ $I_{\text{გამ}}=I_{\text{cmax}}+I_{\text{წ}}$.

გადამუხტვის პროცესში კონდენსატორის დენი იცვლება. მას მაქსიმალური მნიშვნელობა აქვს მულტიპლიკატორის გადართვის მომენტში, როდესაც მაინვერსირებელ შესასვლელზე ძაბვა გაუტოლდება $\frac{R_2}{R_1 + R_2} U_{\text{გამ max}}$ სიდიდეს. ამიტომ კონდენსატორის დენის მაქსიმალური მნიშვნელობა

$$I_{\text{cmax}} = \frac{\left(1 + \frac{R_2}{R_1 + R_2}\right) U_{\text{გამ max}}}{R} = \left(1 + \frac{11,5}{10 + 100}\right) \bullet 11,5 / 10 = 1,1 \text{ მა.}$$

წანაცვლების დენი ეტოლება

$$I_{\text{წ}} = \frac{|U_{\text{გამ max}}|}{R_1 + R_2} = \frac{11,5}{110} = 0,01 \text{ მა.}$$

მაშინ I გამ=1,1+0,01=1,2მა. როგორც ვხედავთ, შესრულდა პირობა I გამ. < I გამ.max ობ. გამოსავალი იმპულსის ხანგძლივობის დამკვეთი კონდენსატორის ტევადობა

$$C = \frac{t_{\text{გამ}}}{R \ln\left(1 + \frac{R_2}{R_1}\right)} = \frac{25 \bullet 10^{-6}}{10 \bullet 10^3 \ln\left(1 + \frac{10}{100}\right)} = 27,5 \text{ ნფ.}$$

ვპოულობთ საწყისი მდგომარეობის აღდგენის დროს, რომელიც აუცილებელია $t_{\text{გამ}}=25\text{მწმ}$ ხანგძლივობის გამოსავალი იმპულსების მისაღებად

$$t_{\text{გამ}} = \frac{1}{f_{\text{max}}} - t_{\text{გამ}} = \frac{1}{33 \bullet 10^3} - 25 \bullet 10^{-6} = 30 \bullet 10^{-6} - 25 \bullet 10^{-6} = 5 \bullet 10^{-6} \text{ წმ} = 5 \text{ მწმ}$$

უარყოფითი უგუკავშირის წრედში ჩართული R წინადობის სიდიდე, რომელიც უზრუნველყოფს $t_{\text{გამ}}=5$ მწმ სიდიდეს, იანგარიშება გამოსახულებიდან

$$R = \frac{t_{\text{გამ}}}{C \ln\left(1 + \frac{R_2}{R_1 + R_2}\right)} = \frac{5 \bullet 10^{-6}}{27,5 \bullet 10^{-9} \ln\left(1 + \frac{10}{110}\right)} = \frac{5 \bullet 10^3}{27,5 \bullet 0,086} = 2,1 \text{ კომ.}$$

ე.ო. აღდგენის სტადიაზე $R=10\text{კომ}-ის$ ნაცვლად აღნიშნული უგუკავშირის წრედში უნდა დარჩეს 2,1 კომის ტოლი წინადობა. ამისათვის VD3 დიოდის დახმარებით, რომელიც

დია იქნება მხოლოდ აღდგენის სტადიაზე, R-ის პარალელურად უნდა მიერთდეს 2,7 კომ წინადობა, რათა აღდგენის სტადიაზე უკუკავშირის წრედში აღმოჩნდეს 2,1 კომ-ის ტოლი წინადობა.

3.2. ციფრული ინტებრალური მიპროსემები და მათი გამოყენების მაბალითები

თანამედროვე ლოგიკური ელემენტები შესრულებულია სხვადასხვა სირთულის ინტეგრალური მიკროსქემების სახით, რომელთა შესაფასებლად გამოყენებულია პარამეტრთა საკმაოდ დიდი ჯგუფი. ეს პარამეტრებია:

- ლოგიკური ერთის შესაბამისი შესავალი ($U_{\text{აქ}}^+$) და გამოსავალი ($U_{\text{გა}}$) ძაბვები – მიკროსქემის შესავალზე და გამოსავალზე ძაბვის მაღალი დონე;
- ლოგიკური ნულის შესაბამისი შესავალი ($U_{\text{აქ}}^0$) და გამოსავალი ($U_{\text{გა}}^0$) ძაბვები – მიკროსქემის შესავალზე და გამოსავალზე ძაბვის დაბალი დონე;
- ლოგიკური ერთის შესაბამისი შესავალი ($I_{\text{აქ}}^+$) და გამოსავალი ($I_{\text{გა}}^+$) დენები, აგრეთვე ლოგიკური ნულის შესაბამისი შესავალი ($I_{\text{აქ}}^0$) და გამოსავალი ($I_{\text{გა}}^0$) დენები;
- ზღურბლური ძაბვა $U_{\text{ყლ}}$ -ძაბვა შესავალზე, რომლის დროსაც მიკროსქემის მდგომარეობა იცვლება საწინააღმდეგოთი;
- ინტეგრალური მიკროსქემის შესავალის წინადობა – შესავალი ძაბვის ნაზრის ფარდობა შესავალი დენის ნაზრდთან (განასხვავებენ $R_{\text{აქ}}^0$ და $R_{\text{აქ}}^1$) და გამოსავალი წინადობა – გამოსავალი ძაბვის ნაზრდის შეფარდება გამოსავალი დენის ნაზრდთან (განასხვავებენ $R_{\text{გა}}^0$ და $R_{\text{გა}}^1$);
- სტატიკური ხელშეშლებისადმი მდგრადობა – სტატიკური ხელშეშლების მაქსიმალურად დასაშვები ძაბვა შესავალი ძაბვის მაღალი U_b^+ და დაბალი U_b^0 დონეების მიხედვით, რომლის დროსაც ჯერ კიდევ არ ხდება მიკროსქემის გამოსავალი ძაბვის დონის შეცვლა;
- საშუალო მოხმარებული სიმძლავრე $P_{0\text{სა}}$ = $(P_0^0 + P_0^1)/2$, სადაც P_0^0 , P_0^1 – მიკროსქემის მიერ მოხმარებული სიმძლავრეებია შესაბამისად ლოგიკური „0“ და ლოგიკური „1“ მდგომარეობის დროს გამოსავალზე;
- შესასვლელის მიხედვით გაერთიანების კოეფიციენტი $K_{\text{გა}}$, რომელიც გვიჩვენებს რამდენი ანალოგიური მიკროსქემის მიერთებაა შესაძლებელი

მოცემული მიკროსქემის შესასვლელზე და განსაზღვრავს ლოგიკური მიკროსქემის შესასვლელების რიცხვს;

- გამოსასვლელის მიხედვით განშტოების პოლიციენტი K_{aa} , რომელიც გვიჩვენებს რამდენი ანალოგიური მიკროსქემის მიერთებაა შესაძლებელი მოცემული მიკროსქემის გამოსასვლელთან და განსაზღვრავს ლოგიკური ინტეგრალური მიკროსქემის დატვირთვის უნარიანობას;
- ინტეგრალური მიკროსქემის ლოგიკური „0“-დან ლოგიკურ „1“-ში გადართვის დაყოვნების დრო $t_{\text{q}}^{0,1}$ და ლოგიკური „1“-დან ლოგიკურ „0“-ში გადართვის დაყოვნების დრო $t_{\text{q}}^{1,0}$;
- გადართვის სიხშირე f ;
- კვების ძაბვის მაქსიმალური მნიშვნელობა E_s .

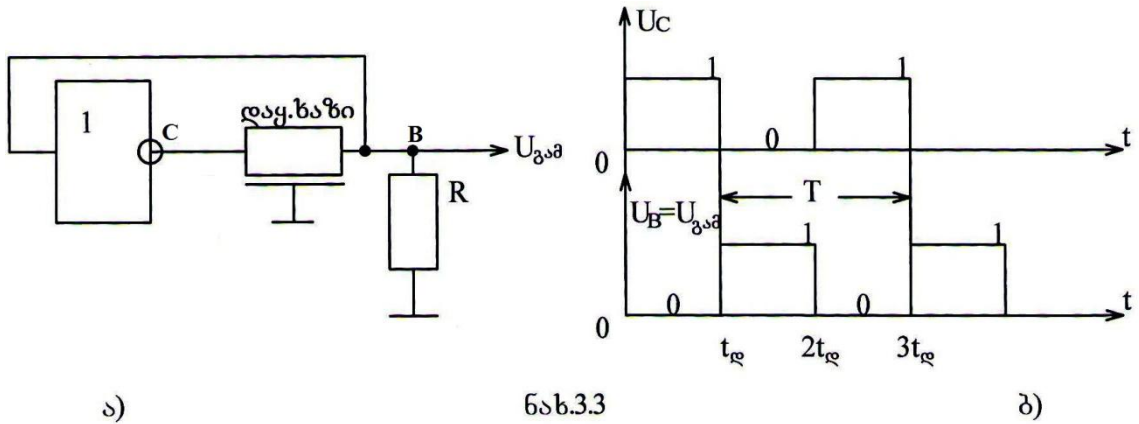
პრაქტიკაში ყველაზე ფართოდაა გავრცელებული ტრანზისტორულ-ტრანზისტორული ლოგიკიანი (**ტტლ**) ინტეგრალური მიკროსქემები. გამოშვებულია რამდენიმე ერთმანეთთან სრულად თავსებადი (**ტტლ**) მიკროსქემის სერია: უნივერსალური (133,155), მაღალი სწრაფქმედების (130,131), მცირე სიმძლავრის (134), შოტკის დიოდებით (530, KP531) და სხვა.

დანართში მოცემულია ზოგიერთი **ტტლ** ინტეგრალური მიკროსქემის სტრუქტურული აღნაგობა და მათი გრაფიკული წარმოდგენა. აქვე მოცემულია ამ ინტეგრალური მიკროსქემების პარამეტრების ცხრილი.

3.2.1. გულტივიბრატორები ციფრულ ინტებრალურ მიკროსემაზე

ანალოგური ინტეგრალური მიკროსქემის გარდა მულტივიბრატორებს აგებენ ლოგიკურ (**ციფრულ**) ინტეგრალურ მიკროსქემებზეც. ინფორმაციის გარდაქმნისა და დამუშავების ციფრული აპარატურის მულტივიბრატორის სქემებში გამოიყენება ციფრული ინტეგრალური მიკროსქემები, ერთის მხრივ, ელემენტური ბაზის უნიფიკაციის მიზნით, მეორეს მხრივ, იმის გამო, რომ აღარ არის საჭირო ასეთი გენერატორის სიგნალის დონის შეთანხმება აპარატურის სხვა მოწყობილობების პოტენციალურ დონეებთან.

უმარტივეს შემთხვევაში მართკუთხა ფორმის ავტორხევების მიღება შეიძლება, თუ **არა** – ლოგიკური ელემენტის (ე.ი. ინვერტორის) გამოსასვლელს მისივე შესასვლელთან შევაერთებთ დაყოვნების დამატებითი წრედის გაგლიო (ნახ.3.3,ა)

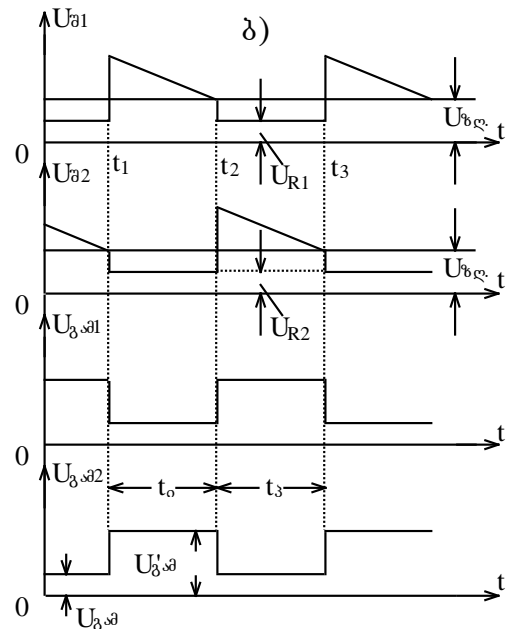
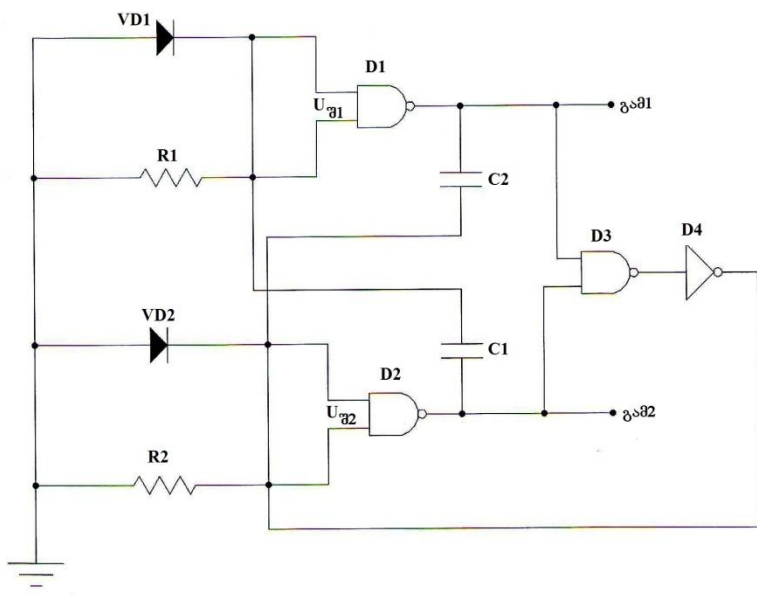


საწყის მომენტში ინვერტორის გამოსავალზე არის ლოგიკური “1” ($U_C=1$). ტერტილის მაღალი პოტენციალი, თე დაყოვნების დროის შემდეგ, მიეწოდება სქემის გამოსავალს, რომელიც ინვერტორის გამოსავალს ჩააყენებს ლოგიკურ ნულში ($U_C=0$). ტე დაყოვნების დროის შემდეგ ნული გადის სქემის გამოსავალზე და ამის გამო, ინვერტორის გამოსავალზე კვლავ აღმოჩნდება ლოგიკური “1” და ა.შ. სქემის გამოსავალზე ჩამოყალიბდება მართვულობა იმპულსთა მიმდევრობა, რომლის განმეორებადობის პერიოდი $T=2t_0$.

ავტორხევით რეჟიმში მომუშავე მულტივიბრატორის რეალურ სქემაში გამოყენებულია ორი, ჯვარედინ უპკავშირებში ჩართული, ინვერტორი. დაყოვნების ხაზის ფუნქციას კი ასრულებს უპკავშირის წრედში ჩართული კონდენსატორი (ნახ.3.4,ა).

სქემაში გამოყენებულია $D1$ და $D2$ და-არა ლოგიკური ელემენტები. მათი ინვერტორული ჩართვა მიღწეულია შესასვლელების გაერთიანებით. $R1, R2$ და $C1, C2$ სქემური კომპონენტები წარმოადგენენ ლოგიკური ელემენტების გადართვების დროის დამკვეთ და, მაშასადამე, გამოსავალზე მიღებული მართვულობა იმპულსების სიხშირის განმსაზღვრელ ელემენტებს. $D3$ და $D4$ ლოგიკური ელემენტები ასრულებენ დამხმარე ფუნქციას. მათი დანიშნულებაა სქემის რბილი თვითაღგზნების რეჟიმის შექმნა. სქემას შეუძლია ფუნქციონირება ამ ელემენტების გარეშე.

5)



ნახ.3.4

იმის გამო, რომ $D1$ და $D2$ ლოგიკური ელემენტები დადებით უპუპავშირიან ჩაკეტილ მარყუჟს წარმოქმნიან, სქემას არ შეიძლება გააჩნდეს მდგრადი მდგომარეობა. ჩაკეტილ მარყუჟში ერთ-ერთ მთავარ ფუნქციას ასრულებს კონდენსატორი. კერძოდ, კონდენსატორის დამუხტვა-განმუხტვის პროცესის ხანგძლივობა განაპირობებს ცალკეული ლოგიკური ელემენტის “1” და “0”-ში ყოფნის ხანგძლივობას. ძაბვა კონდენსატორზე, რომელიც ჩართულია ლოგიკურ “0”-ში მყოფი ელემენტის გამოსავალსა და ლოგიკურ “1”-ში მყოფი ელემენტის შესავალს შორის ($U_c = U_{\theta}^0 - U_{\theta}^1$), ახლოსაა ნულთან. ამ ელემენტის გადართვის შემდეგ, იგივე კონდენსატორი იწყებს დამუხტვას მეორე ლოგიკური ელემენტის შესავალის მიმდევრობით ჩართული რეზისტორის გავლით, რის გამოც ეს ლოგიკური ელემენტი გადაირთვება “0”-ში. ასე, მაგალითად, თუ t_1 მომენტამდე (ნახ. 3.4,δ) $D2$ ლოგიკური ელემენტი იმყოფება “0” მდგომარეობაში, მაშინ $D1$ ელემენტი იქნება “1” მდგომარეობაში, რადგან მის შესასვლელზე ძაბვა “0”-თანაა ახლოს. t_1 მომენტში კი მოხდება $D2$ -ის “1” მდგომარეობაში გადართვა, რადგან $C2$ კონდენსატორის განმუხტვის შედეგად $D2$ ელემენტის შესავალის ძაბვა ($U_{\theta2}$) გაუტოლდება ამ ელემენტის ამოქმედების ძაბვის ზღურბლურ მნიშვნელობას. ამის გამო, იწყება $C1$ კონდენსატორის დამუხტვა $R1$ რეზისტორის გავლით. დამუხტვის საწყის პერიოდში დენი მაქსიმალური მნიშვნელობისაა, ამიტომ $D1$ -ის შესავალზე იმოქმედებს მაღალი დონის ძაბვა და გამოსავალზე იარსებებს ლოგიკური “0”. t_1 მომენტიდან დაწყებული $U_{\theta1}$ იწყებს კლებას $\tau_1 = R1C1$ დროის მუდმივის მიხედვით. t_2 მომენტში $U_{\theta1}$ გაუტოლდება $D1$ ინვერტორის ამოქმედების ძაბვის ზღურბლურ მნიშვნელობას და გადაირთვება “1” მდგომარეობაში.

ამჯერად C_2 კონდენსატორი იწყებს დამუხტვას. C_2 -ის დამუხტვის პროცესში $U_{\text{გა}}$ მაბვა იწყებს კლებას $\tau_2 = R_2 C_2$ დროის მუდმივის მიხედვით. t_3 მომენტში მულტივიბრატორი კვლავ გადაირთვება ახალ მდგომარეობაში, რომლის დროსაც კვლავ იწყებს დამუხტვას C_1 კონდენსატორი, ე.ი. ციკლი იწყებს განმეორებას.

გამოსავალზე მიღებული იმპულსის ხანგრძლივობა

$$t_{\text{გა}} \approx R_1 C_1 \ln \frac{U_{\text{გა}}^1 - U_{\text{გა}}^0 + U_{R1}}{U_{\text{გა}}}, \quad (3.11)$$

იმპულსთა შორის პაუზის ხანგრძლივობა

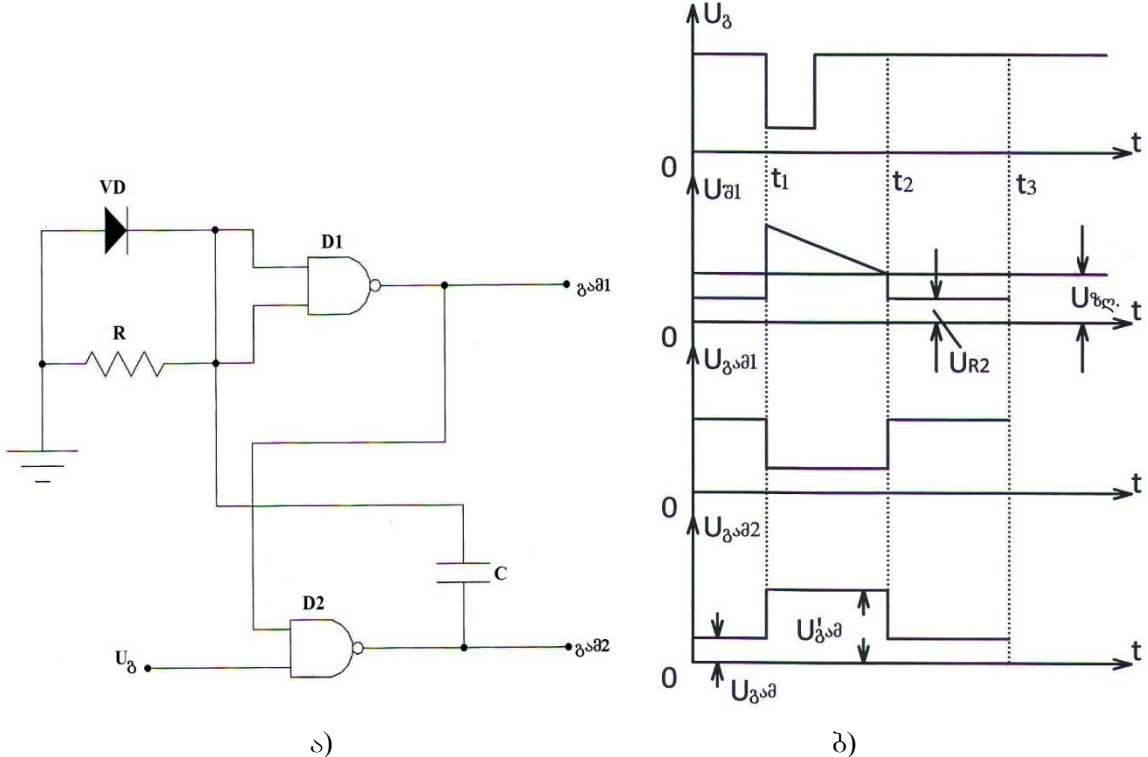
$$t_3 \approx R_2 C_2 \ln \frac{U_{\text{გა}}^1 - U_{\text{გა}}^0 + U_{R2}}{U_{\text{გა}}}, \quad (3.12)$$

სადაც $U_{R1}, U_{R2} = R_1 \cdot R_2$ რეზისტორებზე მაბვის ვარდნებია: $U_{R1} = I^0 \bullet R_1$, $U_{R2} = I^0 \bullet R_2$. I^0 – მიკროსქემის შესავალი დენია შესავალი მაბვის დაბალი დონის დროს.

გამოსავალი იმპულსური ძაბვის განმეორებადობის პერიოდი

$$T = t_{\text{გა}} + t_3 = \frac{1}{f} = (C_1 R_1 + C_2 R_2) \left[\ln \frac{U_{\text{გა}}^1 - U_{\text{გა}}^0 + U_{R1}}{U_{\text{გა}}} + \ln \frac{U_{\text{გა}}^1 - U_{\text{გა}}^0 + U_{R2}}{U_{\text{გა}}} \right]. \quad (3.13)$$

3.5.ა ნახაზზე ნაჩვენებია ლოგიკურ ელემენტებზე აგებული მომლოდინე რეჟიმში მომუშავე მულტივიბრატორის სქემა.



ნახ.3.5

სქემაში გამოყენებულია ორი და – **არა** ლოგიკური ელემენტი , რომელთაგან D_1 – ის შესასვლელები გაერთიანებულია და მუშაობს ინვერტორად. მეორე ლოგიკური ელემენტის ერთი შესასვლელი მიერთებულია D_1 –ის გამოსავალთან , ხოლო მეორე შესავალზე მოქმედებს გამშვები იმპულსური სიგნალი U_g . საწყისი t_0 მდგომარეობის დროს D_1 ლოგიკური ელემენტის შესავალზე მოქმედებს $U_{\text{შ}}=U_R=I^0$. R ძაბვა, რომელიც ამოქმედების ზღურბლურ მნიშვნელობაზე ნაკლებია (ნულთან ახლოსაა). ამიტომ, D_1 -ის გამოსავალი ძაბვა $U_{\text{გამ}}=U_{\text{გამ}}$. (ე.ი. გამოსავალზე არის მაღალი დონე). მაშასადამე, t_0-t_1 შეალებდები D_2 ლოგიკური ელემენტის ორივე შესასვლელზე მოქმედებს პოტენციალის მაღალი დონე (ლოგიკური “1”). **და-არა** ლოგიკური ელემენტის მუშაობის ჭეშმარიტების ცხრილის თანახმად $U_{\text{გამ2}}=U^0$ გამ (ამ გამოსავალზე არის ლოგიკური “0”)

t_1 მომენტში D_2 ლოგიკური ელემენტის ერთ შესასვლელს მიეწოდება გამშვები იმპულსი (ლოგიკური “0”), რის გამოც იგი გადაირთვება ლოგიკურ “1”-ში. ძაბვის ნახტომი $\Delta U_{\text{ლოგ}}=U^1_{\text{გამ}}-U^0_{\text{გამ}}$ C კონდენსატორით მიეწოდება D_1 ინვერტორის შესავალს და გადართავს მას ლოგიკურ “0”-ში.

t_1 მომენტიდან დაწყებული C კონდენსატორი იმუხტება. მისი დამუხტვის დროის მუდმივა $\tau=RC$. ასეთივე კანონით იწყებს $U_{\text{შ}}_1$ ძაბვა კლებას. t_2 მომენტამდე სქემა იმყოფება ე.წ. კვაზიმდგრად მდგომარეობაში. t_2 მომენტში ადგილი აქვს სქემის გადართვას საწყის მდგრად მდგომარეობაში, რადგან ამ დროს $U_{\text{შ}}_1$ შემცირდება $U_{\text{ზღ}}$ ძაბვამდე, რის გამოც D_1 გადაირთვება ლოგიკურ “1”-ში. ეს კი, თავის მხრივ, გამოიწვევს D_2 -ის დაბრუნებას ლოგიკურ “0”-ში. მდგრად მდგომარეობაში დაბრუნების შემდეგ, სქემა ელოდება ახალი გამშვები იმპულსის მოსვლას, ამიტომ ასეთი სახის გენერატორს მომლოდინე რეჟიმში მოუშავე მულტივიბრატორი ეწოდება. ასეთი მულტივიბრატორი ყოველი გამშვები იმპულსის საპასუხოდ გამოიმუშავებს ერთ იმპულსს. ამის გამო, მას ხშირად ერთვიბრატორსაც უწოდებენ. ერთვიბრატორის მიერ გამომუშავებული იმპულსის ხანგძლივობა განისაზღვრება შემდეგი გამოსახულების მიხედვით

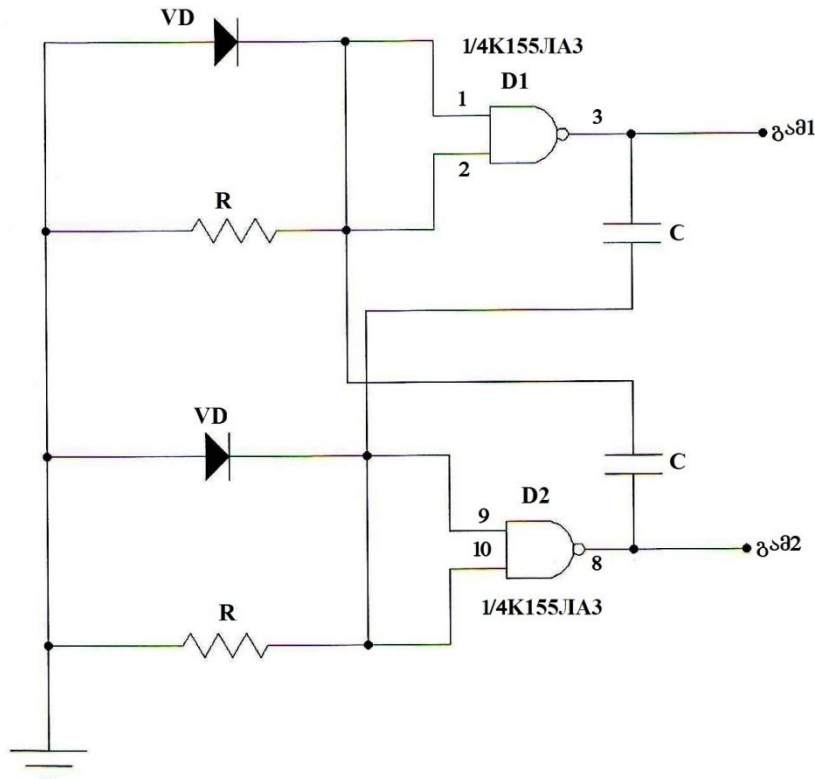
$$t_{\text{გამ}} \approx RC \ln \frac{U_{\text{გამ}}^1 - U_{\text{გამ}}^0 + U_R}{U_{\text{ზღ}}} \quad (3.14)$$

გაგალითი 1

დავაპროექტოთ ავტორხევითი მულტივიბრატორი 155 სერიის ინტეგრირებული მიკროსქემაზე, რომლის მუშა სიხშირე $f=5\text{Hz}$. გამოსავალი იმპულსების სიმებხრე $Q=2$.

ამონსნა

პირველ რიგში შეგადგინოთ ავტორევითი მულტივიბრატორის სქემა. ვიყენებთ K155ЛА3 ტიპის მიკროსქემას, რომელიც შეიცავს ოთხ 2-შესასვლელიან და-არა ლოგიკურ ელემენტს.



განვსაზღროთ გამოსავალი ძაბვის იმპულსის ხანგრძლივობა. ამისათვის გამოვიყენოთ გამოსავალი ძაბვის იმპულსების სიმებრის ფორმულა $Q = T/t_{\text{off}}$. აქედან $t_{\text{off}} = T/Q$, სადაც T იმპულსთა განმეორებადობის პერიოდია.

$$T = 1/f = 1/5 \cdot 10^3 = 0.2 \cdot 10^{-3} \text{ წ} = 0.2 \text{ მწ}$$

$$\text{მაშასადამე}, t_{\text{off}} = 0.2/2 = 0.1 \text{ მწ}$$

იმის გამო, რომ $Q=2$, იმპულსებს შორის პაუზის ხანგრძლივობა იმპულსის ხანგრძლივობის ტოლია ($t_3 = t_{\text{off}} = 0.1 \text{ მწ}$), მულტივიბრატორის სქემაში $R_1 = R_2 = R$.

R რეზისტორის წინადობის სიდიდის შერჩევა უნდა მოვახდინოთ შემდეგი ორი პირობის გათვალისწინებით: $R >> R|_{g88}$ და $R < R_{\text{max}}$.

$R|_{g88}$ – მიკროსქემის გამოსავალის წინადობაა გამოსავალი ძაბვის მაღალი დონის დროს. $R|_{g88} = 0.2$ კომ (აიღება ცნობარიდან).

R_{max} – რეზისტორის მაქსიმალური წინადობაა, რომლის დროსაც მულტივიბრატორი კარგავს ფუნქციონირების უნარს. ამ წინადობას ვანგარიშობთ შემდეგი გამოსახულების გამოყენებით:

$$R_{\max} = \frac{U_{\text{b}} R_{\text{d}}}{E_{\text{d}} - U_{\text{d}} - U_{\text{b}}},$$

სადაც U_{b} – ზღურბული ძაბვა. $U_{\text{b}} = 1,4 \text{ ვ};$

R_{d} – მიკროქემის შესავალის წინადობა, $R_{\text{d}} = 4 \text{ გომ}$ (ცნობარიდან);

$E_{\text{d}} = 5\text{ვ}$ – მიკროსქემის კვების წყაროს ძაბვა;

$U_{\text{d}} = 0,7\text{ვ}$ – მიკროსქემის შესავალ ტრანზისტორზე ძაბვის ვარდნაა (ცნობარიდან);

$$R_{\max} = \frac{1.4 \bullet 4}{5 - 0.7 - 1.4} = \frac{1.4 \bullet 4}{2.9} \approx 2 \text{ გომ}$$

ზემოთ დასახელებული პირობების გათვალისწინების შედეგად შევირჩიოთ $R = 1,5 \text{ მომ.$

ვიპოვოთ $C1=C2=C$ კონდენსატორის საჭირო ტევადობა

$$C = \frac{t_{\text{o}}}{R \ln \frac{U_{\text{d}}^1 - U_{\text{d}}^0 + U_R}{U_{\text{b}}}},$$

სადაც U_R - R წინადობაზე ძაბვის ვარდნაა. $U_R = I \bullet R$.

$$I_{\text{d}} = \frac{E_{\text{d}} - U_{\text{d}}}{R_{\text{d}} + R} = \frac{5 - 0.7}{4 + 1.5} = \frac{4.3}{5.5} \approx 0.8 \text{ ამ.}$$

$$U_R = 0.8 \bullet 1.5 = 1.2 \text{ ვ},$$

მაშინ

$$C = \frac{0.1 \bullet 10^{-3}}{1.5 \bullet 10^3 \ln \frac{2.4 - 0.4 + 1.2}{1.4}} \approx 0.1 \text{ მაზ.}$$

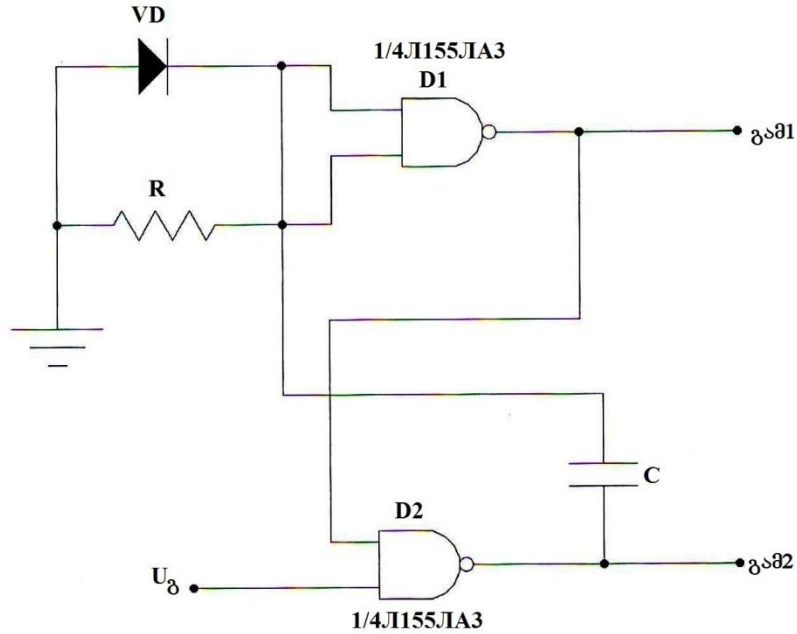
გაბალითი 2

დავაპროექტოთ მონოვიბრატორი 155 სერიის ციფრულ ინტეგრალურ მიკროსქემაზე. მონოვიბრატორმა უნდა გამოიმუშაოს 70 მეგაჰერცის გამოსავალი იმპულსების თანამიმდევრობა.

ამონენა

შევადგინოთ მონოვიბრატორის სქემა 155ЛА3 მიკროსქემის ბაზაზე. მონოვიბრატორის სქემაში ვიყენებთ მიკროსქემის ორ 2-შესასვლელიან და-არა ლოგიკურ ელემენტს.

დავადგინოთ სქემის კიდული ელემენტების პარამეტრები.



კონდენსატორის ტენადობას გსაზღვრავთ გამოსახულებიდან

$$t_o = RC \ln \frac{U_{d_d1}^1 - U_{d_d1}^0 + U_R}{U_{b_R}}.$$

აქვთ

$$C = \frac{t_o}{R \ln \frac{U_{d_d1}^1 - U_{d_d1}^0 + U_R}{U_{b_R}}}.$$

R წინადობას შევირჩევთ ორი პირობის გათვალისწინებით: $R > R_{d_d1}$ და $R < R_{max}$

$$R_{max} = \frac{U_{b_R} \bullet R_{d_d1}}{E_{d_d1} - U_{d_d1} - U_{b_R}} = \frac{1.3 \bullet 4}{5 - 7 - 1.3} = \frac{5.2}{3} = 1.7 \text{ გონიმ}.$$

შევირჩიოთ $R = 1.5 \text{ გონიმ}$.

$$U_R = I_{d_d1} \bullet R.$$

$$I_{d_d1} = \frac{E_{d_d1} - U_{d_d1}}{R_{d_d1} + R} = \frac{5 - 0.7}{4 + 1.5} \approx 0.78 \text{ ამპ.}$$

მაშინ, $U_R = 0.78 \bullet 1.5 = 1.17$.

$$C = \frac{70 \bullet 10^{-6}}{1.5 \bullet 10^3 \ln \frac{2.3 - 0.45 + 1.17}{1.3}} = \frac{70 \bullet 10^{-6}}{1264} = 0.055 \text{ ფაროვ.}$$

დანართები

დანართი 1

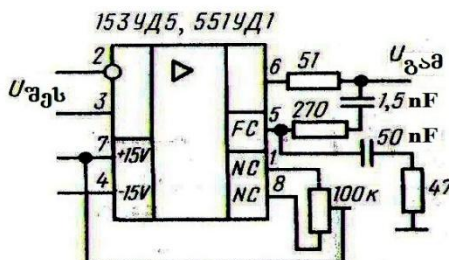
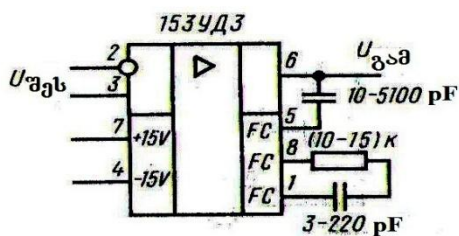
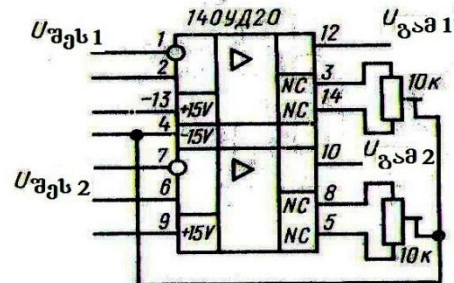
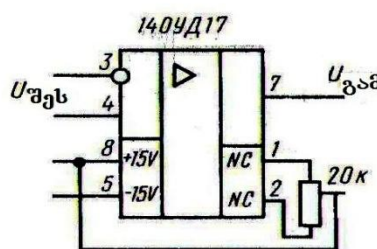
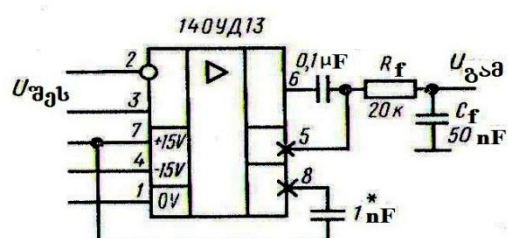
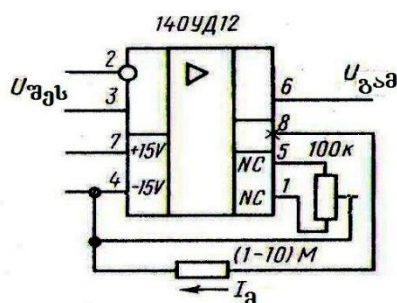
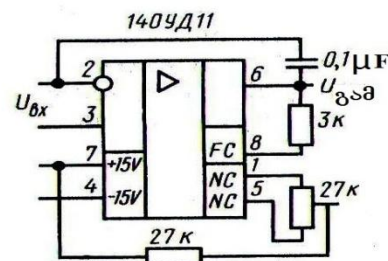
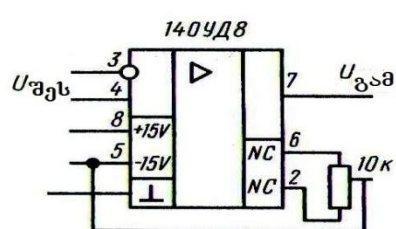
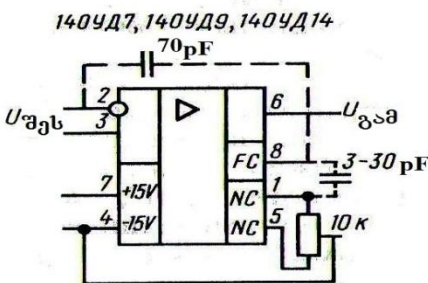
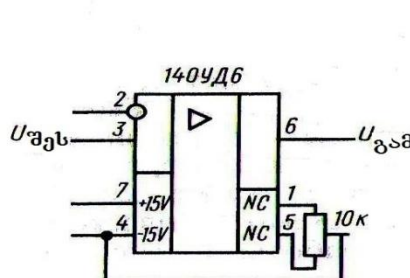
ცხრილი 1

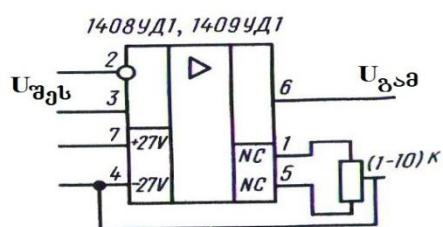
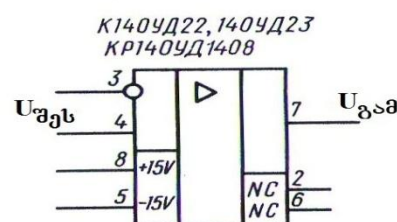
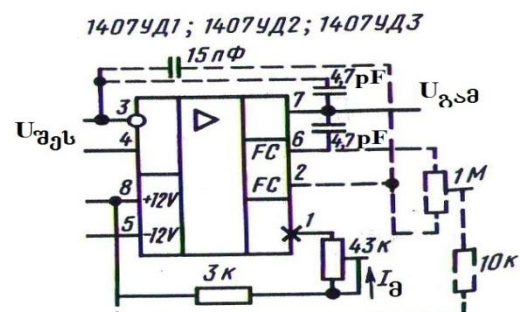
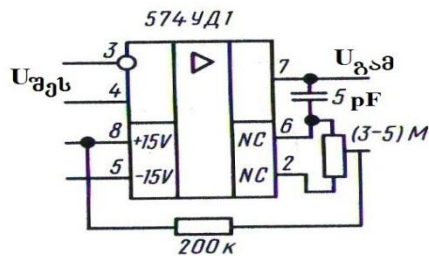
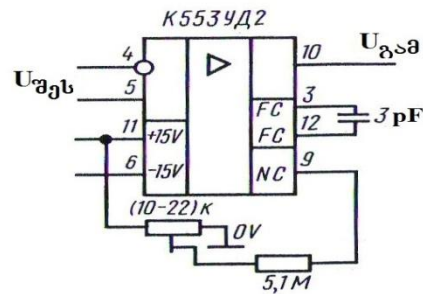
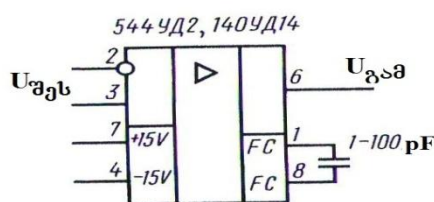
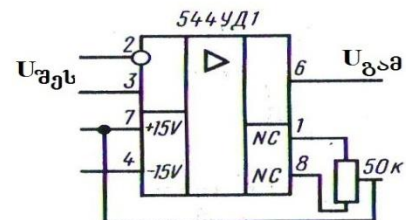
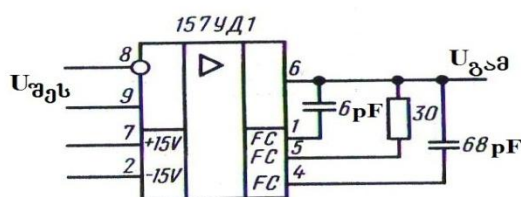
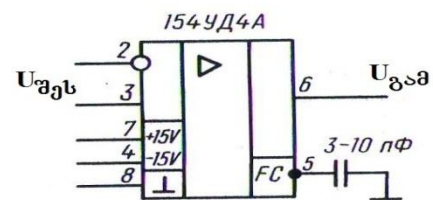
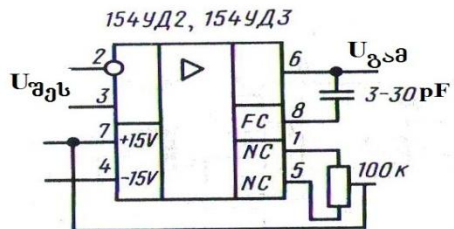
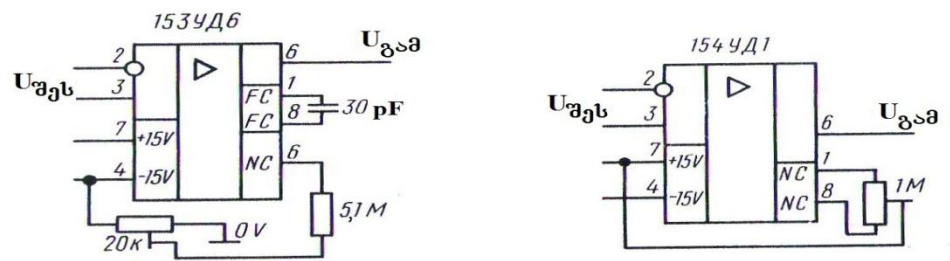
მიზანმიერი ფორმა	ვალიური ანალოგი
ოპერაციული მაძლიერებლები	
КР140УД1	µA702
КР140УД5	-
КР140УД6	MC1456
КР140УД7	µA741
КР140УД8	µA740
К140УД11	LM318
КР140УД1208	µA776
КР140УД9	-
К140УД13	-
КР140УД14	LM308
К140УД17	OP 07E
КР140УД18	-
КР140УД20	µA747
140УД21	-
К140УД22	-
140УД23	LF157
140УД24	ICL7650
140УД26	OP37
140УД27	OP27v
154УД1	HA2700
154УД2	AD507. HA2530
154УД3	AD509
К157УД3	-
К1401УД1	LM2900
К1401УД2	-
К1401УД3	-
К1401УД4	-
КР1407УД1	-
КР1407УД2	-

КР1407УД3	-
К1408УД1	LM343
К1409УД1	CA3140
К157 УД1	-
КР544УД1	μ A740
КР544УД2	CA3130
КМ551УД1	μ A725
КМ551УД1	TBA931
К553УД1	μ A709
К553УД2	LM101
КР574УД1	AD513
КР574УД2	-
КФ1032УД1	TAB1042
	TAB1042
1422УД1	μ A791
К1423УД1	ICL7612
К1423УД2	-
КР1426УД1	NIM2043

დანართი 2

ოპერაციული მაძლიერებლების ჩართვის
სქემები





დანართი 3

ზოგადი დანიშნულების ომ-ის პარამეტრები

ცხრილი 2

პარამეტრი	K140УД1	K140УД5	K140УД6	K140УД7	K140УД8	K140УД9	K544УД1	K553УД1	K553УД2	K140УД14	K1409УД1
გაძლიერების კოეფიციენტი $K_u \times 10^3$	2	1	70	50	50	35	50	25	20	50	20
ნულის წანაცვლების ძაბვა $U_{\text{წან}} \cdot \text{მლ}^3$	7	5	5	4	20	5	15	5	7,5	2	15
წანაცვლების ძაბვის დრეიფი $\Delta U_{\text{წან}} / \Delta T, \partial \delta \text{3} / {}^\circ C$	20	-	20	6	50	35	20	0	1,5	-	-
შესავალი დენები $I_{\text{შე}}, \text{ნა}$	$8 \cdot 10^3$	10^4	30	200	0,2	100	0,15	200	1500	2	2
შესავალი დენების სხვაობა $\Delta I_{\text{შე}}, \text{ნა}$	$1,5 \cdot 10^3$	$5 \cdot 10^3$	10	50	0,15	-	0,05	50	500	0,2	1,2
შესავალი დენების სხვაობის დრეიფი $\Delta \Delta I_{\text{შე}} / \Delta T, \text{ნა} / {}^\circ C$	30	-	0,1	0,4	-	1,5	-	-	-	-	0,02
ერთეულოვანი გაძლიერების სიხშირე $f_1, \text{მგვ}^3$	5	14	1	0,8	1	-	1	-	1	0,3	-
გამოსავალი ძაბვის ზრდის სიჩქარე $V_{\text{უგამ}}, \text{ვ/მგვ}^3$	0,5	6	2,5	10	5	5	2	-	0,5	-	4
სინფაზური სიგნალის შესუსტების კოეფიციენტი $K_{\text{უგამ}}, \text{დბ}$	60	60	80	70	64	80	70	80	70	85	-
მაქსიმალური გამოსავალი დენი $I_{\text{გამ} \max}, \text{მა}$	3	3	25	20	20	22	20	$2K^{**}$	$2K^{**}$	20	$1,8K^{**}$
მაქსიმალური გამოსავალი ძაბვა $U_{\text{გამ} \max}, \text{ვ}$	6	6,5	11	11,5	10	10	10	10	10	13	18
მაქსიმალური შესავალი ძაბვა $U_{\text{შე} \max}, \text{ვ}$	1,5	3	15	12	10	7	10	5	10	10	10
შესავალის წინაღობა, მგომ	-	-	2	0,4	10	0,3	10	0,2	0,3	30	-
გამოსავალის წინაღობა, ომ	700	700	700	700	700	100	100	200	100	200	300

ცხრილი 2-ის დამთავრება

პარამეტრები	KP140УД1	K140УД5	K140УД6	K140УД7	K140УД8	K140УД9	K544УД1	K553УД1	K553УД2	K140УД14	K1409УД1
მაქსიმალური შესავალი სინფაზური ძაბვა $U_{\text{შესავალი}} \text{, 3}$	3	6	11	11	12	6	10	8	10	13,5	10
კვების წყაროს ძაბვა $U_{\text{კვების წყარო}} \text{, 3}$	$\pm 12,6$	$\pm 12,6$	$\pm 15,0$	$\pm 15,0$	$\pm 15,0$	$\pm 12,6$	$\pm 15,0$				
მოხმარებული დენი $I_{\text{მოხმარებული}}$, მა	8	12	2,8	2,8	5	-	3,5	6	8,5	0,6	6
დატვირთვის მინიმალური წინაღობა, კომ	1	2	2	2	1	1	2	2	2	10	1,8
შინაგანი კორექციის არსებობა	არა	არა	არის	არის	არის	არის	არის	არა	არა	არა	არის
გამოსავალის დაცვის არსებობა მოკლედ შერთვის რეჟიმში	>>	>>	>>	>>	>>	>>	>>	არის	არის	არის	>>

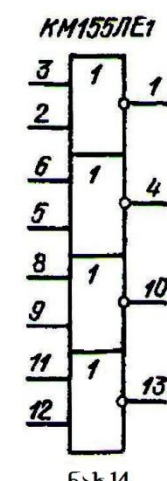
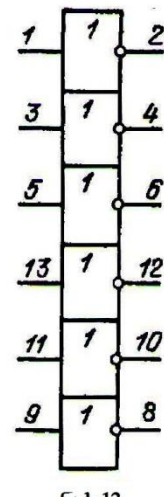
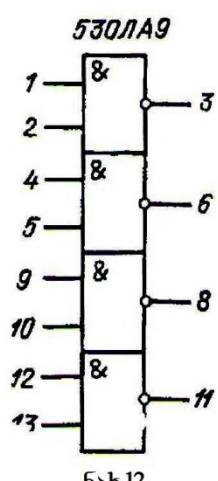
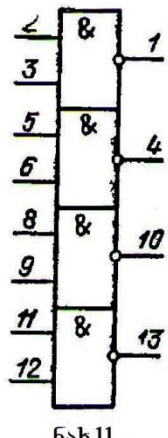
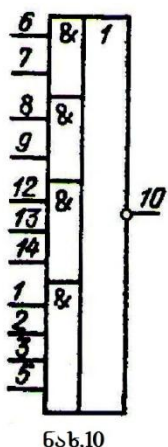
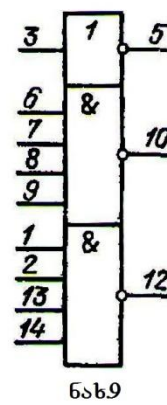
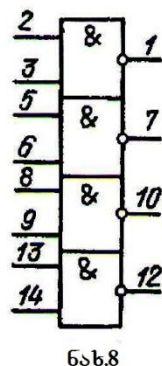
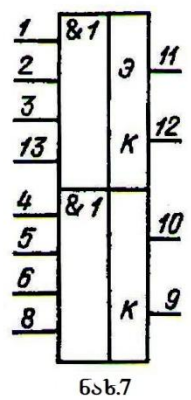
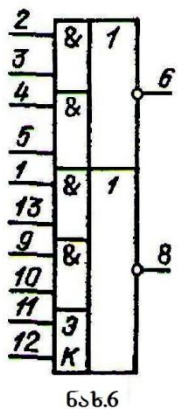
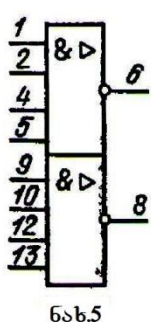
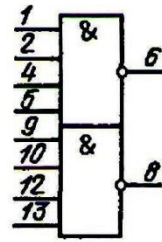
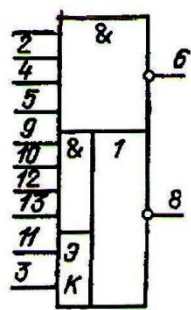
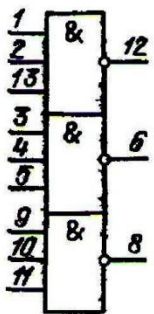
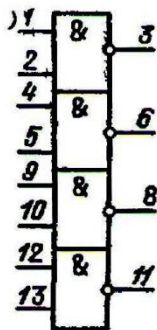
დანართი 4

სხვადასხვა სერიის ტტლ ინტეგრალური მიკროსქემები და მათი ფუნქციური ანალოგები
სერიიდან SN54/SN74

ცხრილი 3

ფუნქციური დანიშნულება	ქვეჯუფი და დამუშავების რიგითი ნომერი	ფუნქციური ანალოგის აღნიშვნა
ოთხი ლოგიკური ელემენტი 2 და-არა (130, 133, K155, KM155, 530, K531, KM555) ნახ.1	ЛА3	00
სამი ლოგიკური ელემენტი 3 და-არა (130, 133, K155, KM155, 530, K531, KM555) ნახ.2	ЛА4	10
ორი ლოგიკური ელემენტი 4 და-არა (130, 133, K155, KM155, K530, K531, K55) ნახ.3	ЛА1	20
ლოგიკური ელემენტი 8 და-არა (130, 133, 134, K155, KM155, KP134, 530, K555, KM555) ნახ.4	ЛА2	30
ორი ლოგიკური ელემენტი 4 და-არა დიდი K _{აბ} კოეფიციენტით (130, 133, K155, KM155, K555) ნახ.5	ЛА6	40
ორი ელემენტი 2 და-2 ან-არა, ერთი გაფართოებადი ელემენტი ან (130, 133, 134, K155, KM155) ნახ.6	ЛР1	50
ორი 4-შესასვლელიანი ლოგიკური გამაფართოებელი ან-ის მიხედვით (130, 133, K155, KM155) ნახ.7	ЛД1	60
ოთხი ელემენტი 2 და-არა /2 ან-არა (134) ნახ.8	ЛБ1	-
ორი ლოგიკური ელემენტი 4 და-არა/4 ან-არა და ლოგიკური ელემენტი არა (134) ნახ.9	ЛБ2	-
ლოგიკური ელემენტი 2-2-3-4 და- -4 ან -არა (134) ნახ.10	ЛР2	-
ოთხი 2-შესასვლელიანი და-არა სქემები ღია კოლექტორული გამოსასვლელით (133, 134, KP134, K155, KM155) ნახ.11	ЛА8	01
ოთხი ელემენტი 2 და-არა ღია კოლექტორული გამოსასვლელით (530, K531, K555, KM555) ნახ.12	ЛА9	03
ექსი ლიგიკური ელემენტი არა (133, K155, KM155, 530, K531, K555, KM555) ნახ.13	ЛН1	04
ოთხი ლიგიკური ელემენტი 2 ან-არა (133, K155, K14155, 530, K531, K555, KM555) ნახ.14	ЛЕ1	02

დანართი 5



დანართი 6

ციფრული ინტეგრალური მიკროსქემების პარამეტრები

ცხრილი 4

პარამეტრები	მიკროსქემების სერია			
	სტანდარტული (უნივერსალური) (133, K155)	მაღალი სწრაფქმედების (130, 131)	მცირე სიმძლავრის (134)	შოტკის დიოდებით (530, K555)
$I_{\text{შე}}^0$, მა, არა უმეტეს	-1,6	2,3	-0,18	-2
$I_{\text{შე}}^1$, მა, არა უმეტეს	0,04	0,07	0,012	0,05
$U_{\text{გა}}^0$, ვ, არა უმეტეს	0,4	0,35	0,3	0,5
$U_{\text{გა}}^1$, ვ, არა უმეტეს	2,4	2,4	2,3	2,7
გადართვის (ზღურბლური) ძაბვა, ვ	1,3	1,3	-	-
$K_{\text{გა}}$	10	10	10	10
$K_{\text{გა}}$	8	8	2	
$t_{\text{ღ}}^{1,0}$, ნწმ, არა უმეტეს	15 (C=15PF)	10 (C=30PF)	100 (C=40PF)	5 (C=15PF)
$t_{\text{ღ}}^{0,1}$, ნწმ, არა უმეტეს	22 (C=15PF)	10 (C=30PF)	100 (C=40PF)	4,5 (C=15PF)
P_0 , მლვტ, არა უმეტეს	22	44	2	19
U_b , ვ, არა უმეტეს	0,4	0,4	0,35	0,5
f , მგპ, არა უმეტეს	10	30	3	50
კვების მაქსიმალური ძაბვა, ვ	6	6	6	5,5 (6)
მაქსიმალური ძაბვა შესავალზე, ვ	5,5	5,5	5,5	5,5 (5,25)
მაქსიმალური ძაბვა ჩაკეტილი სქემის გამოსავალზე, ვ	5,5 (5,25)	5,5	5,5	5,5 (5,25)
მინიმალური ძაბვა შესავალზე, ვ	-0,4	-0,4	-1,56	0,4
მაქსიმალური ტევადობითი დატვირთვა, PF	200	200	200	150 (200)
შესავალის წინაღობა, კომ	4	-	-	-
გამოსავალის წინაღობა სიგნალის მაღალი დონის დროს, ომ	200	-	-	-

დანართი 7

გამმართველი დიოდების ძირითადი პარამეტრები

ცხრილი 5

დიოდის ტიპი	პირდაპირი დენის საშ.მნიშვნელი I_a (ა)	უკუძაბვის დასაშვები სიდიდე $u_b max$ (ვ)	პირდაპირი ძაბვის ვარდნა Δu_a (ვ)	მაქს. უკუდენი $I_b max$ (მვა)
1	2	3	4	5
Д206	0,1	100	0,55	2,5
Д207	0,1	200	0,55	2,5
Д208	0,1	300	0,55	2,5
Д209	0,1	400	0,55	2,5
Д210	0,1	500	0,55	2,5
Д211	0,1	600	0,55	2,5
Д226 А	0,3	400	1,0	100
Д226 Б	0,3	400	1,0	100
Д226 В	0,3	300	1,0	100
Д226 Г	0,3	200	1,0	100
Д229 В	0,4	100	0,7	12
Д229 Г	0,4	200	0,7	12
Д229 Д	0,4	300	0,7	12
Д229 Е	0,4	400	0,7	12
Д242	10	100	1,25	$3 \cdot 10^3$
Д243	10	200	1,25	$3 \cdot 10^3$
Д245	10	300	1,25	$3 \cdot 10^3$
Д246	10	400	1,25	$3 \cdot 10^3$
Д247	10	500	1,25	$3 \cdot 10^3$
КД202 А	5	35	0,78	150
КД202 В	5	70	0,78	150
КД202 Д	5	140	0,78	150
КД202 Ж	5	210	0,78	150
КД202 К	5	280	0,78	150
КД202 М	5	350	0,78	150

КД202 Р	3,5	420	0,65	150
КД203 А	2	420	0,8	300
КД203 Б	2	560	0,8	300
КД203 Г	2	700	0,8	300
КД204 А	0,3	400	1,2	20
КД204 Б	0,35	200	1,2	15
КД204 В	0,6	50	1,2	15
КД205 А	0,5	500	0,7	12
КД205 Б	0,5	400	0,7	12
КД205 В	0,5	300	0,7	12
КД205 Г	0,5	200	0,7	12
КД205 Д	0,5	100	0,7	12
КД205 Е	0,3	500	0,7	12
КД205 Ж	0,5	600	0,7	12
КД205 И	0,3	700	0,7	12
КД209 А	0,7	400	0,9	7
КД209 Б	0,7	600	0,9	10
КД209 В	0,5	800	0,9	20
КД210 А	10	800	0,8	450
КД210 В	10	1000	0,8	450

დანართი 8

სტაბილიტრონების ძირითადი პარამეტრები

ცხრილი 6

სტაბილიტრონის ტიპი	სტაბილიზაციის ძაბვა $u_{\text{ც}} \text{ (გ)}$	სტაბილიტრონის მინიმალური მაქსიმალური დენი $u_{\text{ც}} \text{ min (მა)}$	სტაბილიტრონის მაქსიმალური დენი $I_{\text{ც}} \text{ max}$ (მა)	დიფერენციალური წინაღობა $r_{\text{დიფ}}$ (ომ)
1	2	3	4	5
KC133A	3,3	3	81	65
KC139A	3,9	3	70	60
KC147A	4,7	3	58	56
KC156A	5,6	3	55	46
KC162A	6,2	3	22	35
KC168B	6,8	3	20	28
KC170A	7,0	3	20	20
KC175A	7,5	3	18	16
KC182A	8,2	3	17	14
KC191A	9,1	3	15	18
KC191M	9,1	5	15	18
KC191C	9,1	3	18	20
KC210Б	10	3	14	22
KC211Б	11	5	33	15
KC213Б	13	3	10	25
KC433A	3,3	3	190	25
KC439A	3,9	3	175	5
KC447A	4,7	3	160	18
KC468A	6,8	3	120	5
KC510A	10	1	79	25
KC512A	12	1	67	25
KC515A	15	1	53	25
KC515Г	15	1	31	25
KC518A	18	1	45	25

KC520B	20	1	22	120
KC522A	22	1	37	25
KC524Г	24	1	19	40
KC527A	27	1	30	40
KC531B	31	1	15	50
KC533A	33	3	20	40
KC539Г	30	3	17	65
KC547B	47	1	10	280
KC568B	68	3	10	400
KC582Г	82	3	8	480
KC596B	96	3	7	560
KC620A	120	5	42	1000
KC630A	130	5	38	1000
KC650A	150	5	33	2400
KC680A	180	5	28	3000
Д808	7	3	33	6
Д209	8	3	29	10
Д810	9	3	26	12
Д811	10	3	23	15
Д814А	8	3	40	6
Д814Б	9	3	36	10
Д814В	10	3	32	12
Д814Г	11	3	29	15
Д814Д	13	3	24	18
Д815А	5,6	50	1400	40
Д815Б	6,8	50	1150	30
Д815В	8,2	50	950	16
Д815Г	10	25	800	30
Д815Д	12	25	650	40
Д815Ж	18	25	450	60
Д815Е	15	25	550	50
Д815И	4,7	50	1400	40
Д816А	22	10	230	240

Д816Б	27	10	180	300
Д816В	33	10	150	300
Д816Г	39	10	130	300
Д816Д	47	10	110	300
Д817А	56	5	90	400
Д817Б	68	5	75	400
Д817В	82	5	60	600
Д817Г	100	5	50	800
Д818	9	3	33	100

დამატებითი ლიტერატურა

1. Справочник по полупроводниковым диодам, транзисторам и интегральным схемам. Под общей редакцией Н.Н.Горюнова.- М.: Энергия, 1976.